

საქართველოს მეცნიერებათა აკადემიის მაცნე
ИЗВЕСТИЯ АКАДЕМИИ НАУК ГРУЗИИ
PROCEEDINGS OF THE ACADEMY OF SCIENCES
OF GEORGIA

784-3 /
1992 19

643
784-3.

ЭПОХА
СЕРИЯ
ХИМИЧЕСКАЯ

1992 N1

თბილისი სამართლებულო
- ТБИЛИСИ - ТОМ
TBILISI VOL.

18

ავტორთა საყურადღებობა

1. ურნალში „საქართველოს მეცნიერებათა აკადემიის მაცნე, ქიმიის სერია“ იძეჭ-დება წერილები ძირითადად ქართულ და რუსულ ენებზე, რომელშიც ასახულია თეორიულ და ექსპერიმენტულ კვლევათა შედეგები თანამედროვე ქიმიისა და ტექნოლოგიის მიმართულებათა მიხედვით და მიმოხილვითი სამეცნიერო წერილები.

პერიოდული თავსდება ქრონიკა რესპუბლიკაში ჩატარებული კონფერენციების, თათბირების, სემინარებისა და სხვა სამეცნიერო-საორგანიზაციო ლონისძიებათა შესახებ.

2. წერილის მოცულობა ცხრილებით, ნახატებით (სამი ნახატი უროლდება ერთგვერდს), ნახატების ქვემ წარწერებით, დამოწმებული ლიტერატურის ნუსხით, რეზიუმებით (ქართულ, რუსულ და ინგლისურ ენებზე) არ უნდა აღმატებოდეს მანქანაზე ნაბეჭდ 12 გვერდს, 3 სმ სიგანის მინდვრით გარცხენა კიდევზე.

რეზიუმები, ლიტერატურის ნუსხა, დასათაურებული ცხრილები და ნახატების ქვეწარწერები სრულდება ცალ-ცალკე ფურცელზე.

3. მოკლე წერილის მოცულობა არ უნდა აღმატებოდეს მანქანაზე ნაბეჭდ 4 გვერდს. წერილი შეიძლება ილუსტრირებული იყოს 1—2 ნახატით. მას თან უნდა ერთოვნეს რეზიუმები.

4. სამუშაო უნდა წარმოდგინდეს ორ ცალად, მას უნდა ახლდეს დაწესებულების ნებართვა, სამეცნიერო საბჭოს (კათედრის, განყოფილების, ლაბორატორიის) გადაწყვეტილება მის გამოქვეყნებაზე, საექსარტო კომისიის დასკვნა.

პირველ გვერდზე ზემო მარცხენა კუთხეში თავსდება უნივერსალური ათობითი კლასიფიკაციის ინდექსი, ხოლო ზემო მარჯვენა კუთხეში კი მიეთითოს ურნალის განყოფილება, ტექსტის უნდა უძლოდეს ავტორთა ინიციალები, გვარები და წერილის დასახელება. სტარტის ბოლოს, მარცხნივ—დაწესებულება, სადაც შესრულდა შრომა. წერილს ხელს აწერს ყველა ავტორი. წერილის ბოლოს სრულად უნდა იყოს აღნიშნული ავტორთა სახელი, გამისახლი და გვარი, ბინისა და სამსახურის მისამართი და ტელეფონის ნომერი.

5. ექსპერიმენტულ ნაწილს წინ ერთვის მოკლე შესავალი, რომელშიც ასახულია სამუშაოს მიზანი, მხოლოდ შას შემდეგ მიღებული შეღების განხილვა და დასკვნა. ცხრილები უნდა დასათაურდეს.

6. ფორმულები და ასოთი აღნიშვნები ჩატარების გარკვევით, შავი მელნით ან ტუშით. კურადღება მოეცეს ინდექსებისა და ხარისხის მაჩვენებლების გამოსახვა. მეტიოდ უნდა განსხვავდებოდეს ლათინური და ბერძნული ანგარის მთავრული და ნუსხური ასოები.

7. ნახატები უნდა შესრულდეს თეთრ ქაღალზე ან კალკაზე ტუშით. ყველა ნახატს უკანა მხარეს ფანჯრით უნდა ეწეროს ავტორთა გვარები და სტარტის სათაური. ნახატები და ცხრილები წარმოდგება ორ ეგზემპლარად.

8. დამოწმებული ლიტერატურა იძეჭდება ცალკე ფურცელზე. ავტორთა გვარები წერილის ტექსტში მოცემული უნდა იყოს ძირითად ტექსტის, ხოლო ლიტერატურის ნუსხაში კი ორიგინალის დაწერილობით. დაცული ქვენები ასეთი თანმიმდევრობა: ავტორის გვარი, ინიციალები, თუ დამოწმებულია საუზრუნველო შრომა, კუსტურობის უზრალის სახელწოდება, გამოცემის წელი, ტომი, ნომერი და გვერდები; თუ დამოწმებულია წიგნი, აუცილებელია ვუჩვენოთ მისი სახელწოდება, ქაღალი, გამომცემლობა, წელი და გვერდები. დამოწმებული ლიტერატურა უნდა დალაგდეს დამოწმების შესაბამისი თანმიმდევრობით. გამოუქვეყნებელი მასალების ციტირება (გარდა დასტრუაციებისა) დაუშევებულია.

9. ფიზიკური ერთეულების აღნიშვნა უნდა შეესაბამებოდეს საერთაშორისო ერთეულების სისტემას.

10. ხელნაწერები, რომლებიც არ პასუხობენ აღნიშნულ პირობებს, რედკოლეგის მიერ არ მიიღება.

11. ურნალში წერილები იძეჭდება რედაქტირაში შემოსვლის რიგის მიხედვით. თუ წერილი მოთხოვს გადამუშავებას, მისი რიგი იყრგება და წერილი შესწორების შემდეგ ახალი რიგით იძეჭდება. ურნალის ერთ ნომერში შეიძლება დაბეჭდოს ავტორის ერთი სტარტი და ერთი მოქალ წერილი.

12. რედაქტორს ავტორს უთანხმებს კორექტურას. ავტორს უფლება აქვს შეასწოროს მხოლოდ სტამბის შეცდომები.

ავტორს უფასოდ ეძლევა წერილის 12 ამონაბეჭდი.

საქართველოს მეცნიერებათა აკადემიის მაცნე
(Сакартвелос мецниеребата академииис мацне)
ИЗВЕСТИЯ АКАДЕМИИ НАУК ГРУЗИИ



ე ბ ი ი ს ს ე რ ი ა

СЕРИЯ ХИМИЧЕСКАЯ

ტომ 18, № 1
Том

ქურნალი დაარსდა 1975 წლის იანვარში
Журнал основан в январе 1975 года

გამოდის წელიწადში 4-ჯერ
Выходит 4 раза в год

თბილისი
ТБИЛИСИ

„მეცნიერება“
«МЕЦНИЕРЕБА»

1992

Известия АН Грузии, серия химическая
(на грузинском, русском и английском языках)

© Известия АН Грузии
Серия химическая, 1992

თ. ანდრონიკაშვილი (რედაქტორი), თ. აგლაძე, ა. ავალიანი, ი. ბარათათაშვილი, ფ. ბროუჩეკი (სწავლული მდივანი), გ. გველესიანი, ვ. ერისთავი, შ. ხიდამონიძე, გ. ქემერტელიძე, გ. ცაგარეიშვილი, გ. ცინცაძე (რედაქტორის მოადგილე), გ. ცოტვილი, ლ. ხანანაშვილი, კ. ჯაფარიძე (რედაქტორის მოადგილე), ლ. ჯაფარიძე

პასუხისმგებელი მდივანი ვ. შუბლაძე

РЕДАКЦИОННАЯ КОЛЛЕГИЯ

Т. Г. АНДРОНИКАШВИЛИ (редактор), Т. Р. АГЛАДЗЕ, А. Ш. АВАЛИАНИ,
И. Б. БАРАТАШВИЛИ, Ф. И. БРЮЧЕК (ученый секретарь), Г. Г. ГВЕЛЕСИАНИ,
К. Г. ДЖАПАРИДЗЕ (зам. редактора), Л. Н. ДЖАПАРИДЗЕ, Э. П. КЕ-
МЕРТЕЛИДЗЕ, Ш. И. СИДАМОНИДЗЕ, Л. М. ХАНАНАШВИЛИ, Г. В. ЦИЦИШВИЛИ,
Г. В. ЦИНЦАДЗЕ (зам. редактора), Г. В. ЦАГАРЕИШВИЛИ, В. Д. ЭРИСТАВИ.

Ответственный секретарь В. В. Шубладзе

EDITORIAL BOARD

T. G. Andronikashvili (Editor), T. G. Agladze, A. Sh. Avaliani, I. B.
Baratashvili, F. I. Brouchek (Scientific Secretary), G. G. Gvelesiani, K. G.
Japaridze (Associate Editor), L. N. Japaridze, E. P. Kemertelidze, Sh. I.
Sidamonidze, L. M. Khananashvili, G. V. Tsitsishvili, G. V. Tsintsadze,
(Associate Editor), G. V. Tsagareishvili, V. D. Eristavi

Executive Secretary V. V. Shubladze

არაორგანული და ანალიზური შიმის

ბროუნის ფ., კარიაული მ., ბიბილაშვილი მ., გოზალივა ა., გაგ-
ნიძე ნ., კასრაძე ლ. ანთონიშვილის EDTA-ფორმებიდან კობალტის (II)
დესორბციის შროცესის შესწავლა
ცხიტიშვილი მ., შველაშვილი ა., მიქაელი ი. გარდამავალ ლითონთა კომ-
პლექსნაერთები ასპირინთან
გურგია ჭ., სუპატაშვილი გ., ვარშალი გ., მახარაძე გ., ჩიტია-
შვილი ჭ. ტყვიის (II) იონების მონოკლინულიზი განსავებულ სნარებში .
გვახარია ვ., გიგაური რ., ჩახავა გ., ვაჩნაძე ე., გურგენიძე ნ.
რეალგარისა და აურიბიგმენტის რაოდენობრივი განსაზღვრა მათი ურთიერთ-
თანაბრივია

ორგანიზაცია ვიმის

ქადაგები მ. ნაკაიძე ლ., ჩოგოვაძე თ., ხანანაშვილი ლ. ბის(დი-
ეთილამინო) მეთილტრიციალდეცენილსილანის პოლიკონდენსაცია არომატულ
და სილიციუმორგანულ ღიოლებთან
ჭირაქაძე გ. აფხაზებავა ფ., ჭარჩული შვილი თ. ტრიმეთილსილილქის-
ფენილშეცველი აზოსალებრების სინთეზი და ოვისებები
თარგამაძე ი., ბელენკი შ., მუავანაძე ვ., შალაშვილი ა., მალევ-
ევი ვ., სულარევა ნ. პოლიმიდის ფიროვან ფირფიტებზე მაღალეფებზე
რი თხელუნოვანი ქრიმატოგრაფია და მისი გამოყენება ფლავონიკიდების ან-
ლიზში
ჩეკიძე გ. ჩივაძე გ. იზობუთანის ალკილირება პროპენით ცელლითურ კატალი-
ზატორებზე და მათი რეაქციის მექანიზმი

ଓଡ଼ିଆ ଲେଖକ ଶର୍ମିଳା

ტექნოლოგია

ვაჩნაძე გ., ანდრონიკაშვილი თ. საქართველოს სამთო-სატყეო მეურნეობაში ბუნებრივი ცეოლითების გამოყენების შესაძლებლობების შესახებ . . . მენაბღე ქ., მოდებაძე ა., ჭიჭინაძე ი., თალაკვაძე გ. ვანალიურიანი და მოლიბდენიანი ოქსიდური მინისებური ნახევარგამტარების სინთეზი და გამოკვლევა

ଓର୍କଲ୍ପନ ଶବ୍ଦବିଜ୍ଞାନ

ტ ო ო ი ა ნ ი კ ო ვ ა რ , ჭ ი ა ნ ბ ა ე ვ ა რ , შ ო ბ ა კ ი ვ . კ ო ტ ო რ ა ნ ის რ ა ლ დ ე ნ ბ რ ი ვ ი
გ ა ნ ს ა ზ ღ უ რ ა ბ ა ზ გ რ ა ნ ი ს ა დ ა ი ა ლ ა ნ ი ს თ ა ნ ა მ ბ ი ს ა ს მ ა ღ ა ლ ე ფ ე ქ ტ უ რ ი თ ხ ე ვ ა დ ი
ქ რ მ ა მ ა ტ რ გ რ ა ფ ი ს მ ე თ ღ ლ ი თ
ს ა რ ა რ ე ი შ ვ ი ლ ი თ , ა ლ ა ნ ი ა მ . *Galega orientalis*-ის ქ მ ბ ი ნ ტ ე ბ ი . .

СОДЕРЖАНИЕ

НЕОРГАНИЧЕСКАЯ И АНАЛИТИЧЕСКАЯ ХИМИЯ

Броучек Ф. И., Каираули М. М., Бибилашвили М. Ш., Гозалов А. Л., Гагнайдзе Н. В., Касрадзе Л. Г. Изучение процесса десорбции кобальта (II) из ЭДТА-форм анионитов	11
Цкитишвили М. Г., Швелашивили А. Е., Микадзе И. И. Комплексные соединения переходных металлов с аспирином	20
Гурдзия Ж. Г., Супаташвили Г. Д., Варшал Г. М., Махарадзе Г. А., Читиашвили З. Д. Моногидролиз ионов свинца (II) в разбавленных растворах	22
Гвахария В. Г., Гигаури Р. Д., Чачава Г. Н., Вачнадзе Э. С., Гургенидзе Н. И. Количественное определение реальгара и аурипигмента при их совместном присутствии	27

ОРГАНИЧЕСКАЯ ХИМИЯ

Кацитадзе М. Г., Накаидзе Л. И., Чоговадзе Т. В., Хананашвили Л. М. Поликонденсация бис(диэтиламино)метилтрициклогодеценилсилина с ароматическими и кремнийорганическими диолами	32
Чиракадзе Г. Г., Апхазава П. Н., Каркусашвили Т. Г. Синтез и свойства trimethylsilylوكсифенилсодержащих азокрасителей	42
Таргамадзе И. Л., Беленький Б. Г., Мжаванадзе В. В., Шалашвили А. Г., Мальцев В. Г., Сударева Н. Н. Высокоэффективная тонкослойная хроматография на полиамидных пористых слоях и ее применение в анализе флавоноидов	44
Чхеидзе Г. С., Чивадзе Г. О. Алкилирование изобутана пропеном на цеолитных катализаторах и механизм их реакции	48

ФИЗИЧЕСКАЯ ХИМИЯ

Цицишвили Г. В., Схиртладзе Н. И., Барнабишивили Д. Н., Окропиридзе Ц. М., Гогодзе Н. И. Адсорбционные свойства некоторых цеолитсодержащих пород Грузии	58
Кацитадзе В. А., Нацвлишвили С. Е. Низкотемпературный радиолиз щавелевой кислоты и ее диэфиров	63
Цицишвили В. Г., Данг Туэт Фыонг, Крупенникова А. Ю., Долаберидзе Н. М., Алелишивили М. В. Цеолитный адсорбент для очистки промышленных сточных вод от тяжелых металлов	67

ТЕХНОЛОГИЯ

Вачнадзе Г. С., Андроникашвили Т. Г. К возможности применения природных цеолитов в горно-лесном хозяйстве Грузии	68
Менабде К. Р., Модебадзе О. Е., Чичинадзе И. Б., Талаквадзе М. В. Синтез и исследование стеклообразных полупроводников на основе оксидов ванадия и молибдена	71

КРАТКИЕ СООБЩЕНИЯ

Торянникова Р. В., Джиянбаева Р. Х., Шобак В. П. Количественное определение кортрана в присутствии базаграна и ялана методом высокоеффективной жидкостной хроматографии	75
Сагареишвили Т. Г., Алания М. Д. Компоненты <i>Galega orientalis</i>	78

CONTENTS

INORGANIC AND ANALYTICAL CHEMISTRY

Brouchek F. I., Kariauli M. M., Bibilashvili M. Sh., Gagnidze N. V., Kasradze L. G., The study of cobalt (II) desorption process from EDTA-forms of anionites	11
Tskitishvili M. G., Shvelashvili A. E., Mikadze I. I. Complex compounds of transitive metals with aspirin.	21
Gurjia Zh. G., Supatashvili G. D., Varshal G. M., Makharadze G. A., Chitiashvili Z. D. Monohydrolysis of lead (II) in diluted solutions	25
Gvakharia V. G., Gigauri R. D., Chachava G. N., Vachnadze E. S., Gurgenidze N. I. The quantitative determination of red and yellow arsenic in their joint presence	31

ORGANIC CHEMISTRY

Katsitadze M. G., Nakaidze L. I., Chogovadze T. V., Khananashvili L. M. The polycondensation of bis (diethylamino)-methyltricyclodecenilsilanes with aromatic and siliconorganic diols	37
Chirakadze G. G., Apkhazava P. N., Karkusashvili T. G. Trimethylsilyloxyphenyl containing azo dyes synthesis and properties	38
Targamadze I. L., Belen'kiy B. G., Mzhavanadze V. V., Shalashvili A. G., Mal'tsev V. G., Sudareva N. N. Highly efficient thin layer chromatography on the polyamide porous layers and its use in the flavonoid study	46
Chkheidze G. S., Chivadze G. O. Alkylation of isobutane by propene on zeoliitic catalysts and their mechanism of reaction	52

PHYSICAL CHEMISTRY

Tsitsishvili G. V., Skhirtladze N. I. Barnabishvili D. N., Okropiridze Ts. M., Gogodze N. I. Adsorption properties of some zeolite-containing rocks of Georgia	59
Katsitadze V. A., Natsvlishvili S. E., The low temperature radiolysis of the oxalic acid and its derivatives	63
Tsitsishvili V. G., Dang Tuet Fuong, Krupennikova A. Yu., Dolaberidze N. M., Alelishvili M. V. Zeolite adsorbent for purging industrial sewage waters from heavy metals	64

TECHNOLOGY

Vachnadze G. V., Andronikashvili T. G. On the possibility of application of natural zeolites in the highlands forestry of Georgia	70
Menabde K. P., Modebadze O. E., Chichinadze I. B., Talaquivadze M. V. The synthesis and investigation of glass-like semiconductors on the basis of vanadium and molybden oxides	73

SHORT COMMUNICATIONS

Toryanikova R. V., Jiyambaeva R. H., Shobak V. P. Quantitative assessment of cotoran in the presence of basagrane and yalan using HELCH method	74
Sagareishvili T. G., Alania M. D. Compounds from <i>Galega Orientalis</i>	79

ეგეოგენერი და ანალიზები ქიმია

სტატ 543.544

ფ. ბროუჩიძი, მ. კარიაული, მ. გიგილაშვილი, ა. გოჭალოვი,
ნ. გაგიძე, ლ. კასრაძე

ანიონიტაზის EDTA-ცორვაზიდან კობალტის (II) და სორბიტის პროცესის შედევლა

სამუშაოში მოცემულია AB-16 და AB-17 ანიონიტებიდან კობალტის (II) და სორბიტის პროცესის კვლევის შედეგები ქრომატოგრაფიული სისტემისათვის „კობალტი (II) — H_2O_2 — ანიონიტის EDTA-ფორმა“.

მას შემდეგ, რაც დადგენილ იქნა კობალტის (II) სორბიტის პროცესის კვლევის შედეგად მიღებული ოპტიმალური პირობები ($U=2,5$ სმ/წთ; $C=0,2$ მგ/მლ, $pH\ 2$; $h=9$ სმ) [1] ამ შედეგების გამოყენებით ზემოთ აღნიშნულ სისტემაში შესწავლილ იქნა კობალტის (II) და სორბიტის პროცესი.

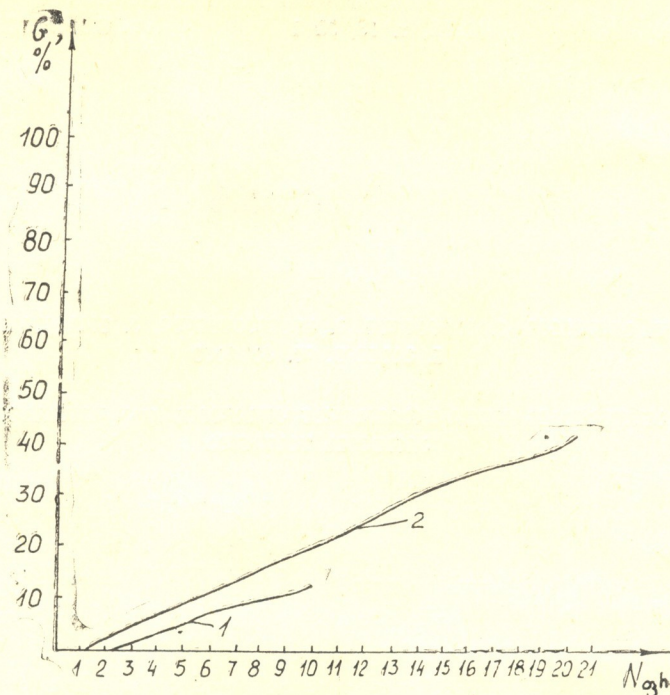
ზემოთ აღნიშნული სისტემისათვის კობალტის (II) და სორბიტის პროცესის შესწავლის მიზნით ჩვენს მიერ გამოყენებული იქნა სხვადასხვა ქიმიური ბუნების და კონცენტრაციის მქონე ელუენტები: გამოხდილი წყალი, ტუტე, ამიაკი, ნარევი ($5\% NaCl + 0,5N HCl$), კომპლექსონ III (EDTA).

ექსპერიმენტები ტარდებოდა დინამიკურ პირობებში 1,6 სმ და მეტრის და 9 სმ სორბენტის სიმაღლის მქონე ქრომატოგრაფიულ სვეტებში; რომლებიც დატვირთული იყვნენ AB-16 ან AB-17 ანიონიტებით. აღნიშნული ანიონიტები წინასწარ გადავყავდა ეთილენდიამიტეტრამარმეავა (EDTA) ფორმაში.

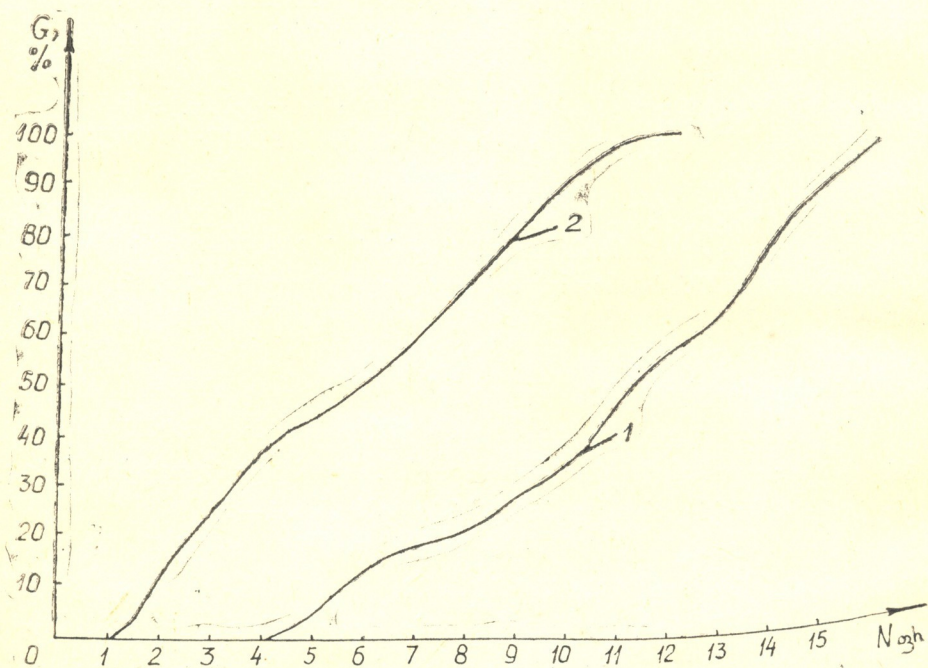
10 მლ კობალტის (II) სულფატის ხსნარი, რომლის ტიტრია $T=0,2$ მგ/მლ, წყალბადის ზეჟანვის თანაობისას $pH\ 2$ -ის პირობებში $U=2,5$ სმ/წთ სიჩქარით ვატარებდით EDTA-ს ანიონებით მოდიფიცირებულ AB-16 ან AB-17 ანიონიტების შემცველ ქრომატოგრაფიულ სვეტებში. სტანდარტული ხსნარის გატარების შემდეგ პროცესის შეუწყვეტლივ ვატარებდით ზემოთ ჩამოთვლილ ელუენტებს. მიღებული ელუატების ფრაქციებს ვაგროვებდით 10 მლ-ს მოცულობით. თითოეულ ფრაქციაში ესაზღვრავდით კობალტის (II) შემცველობას ფოტოკოლორიმეტრული მეთოდით [2]. მიღებული შედეგების მიხედვით ვაგებდით და სორბიტის ინტეგრალურ მრუდებს (ნახ. 1—5).

როგორც 1—5 ნახაზებიდან ჩანს, კობალტის (II) კომპლექსონატი რაოდენობრივად და სორბიტის 0,3 N კომპლექსონ III-ით, როგორც AB-16 ასევე AB-17 ანიონიტებიდან. დანარჩენი ელუენტებით კობალტის (II) და სორბიტის მიღინარეობს არასრულად, გამოხდილი წყალი არ ახდენს კობალტის (II) ელუირებას შესწავლილ ანიონიტებიდან.

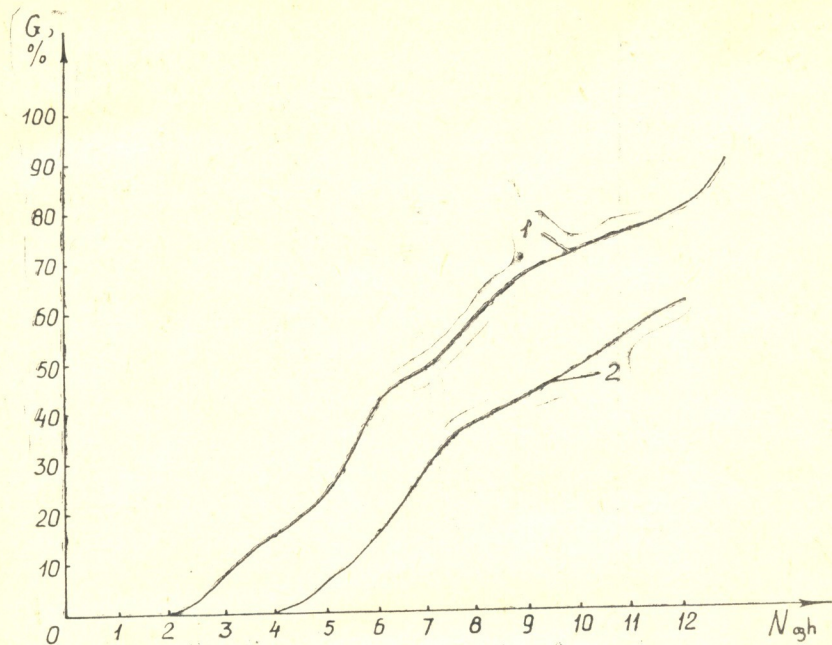
ალიგანდებით მოდიფიცირებულ ანიონიტებშე კომპლექსწარმომქმნელ-სორბიტის ქრომატოგრაფიის თეორიული საფუძვლების გათვალისწინებით



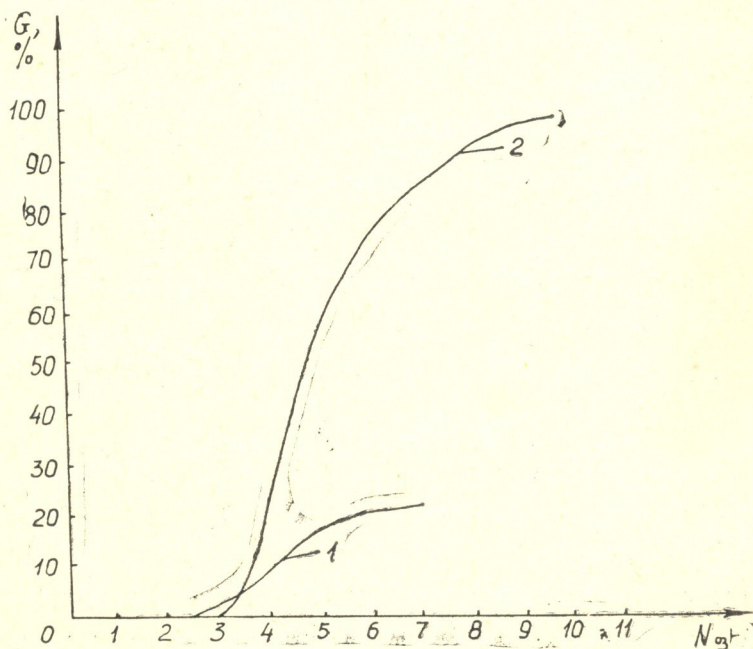
ნახ. 1. $\text{Co}^{(II)}$ -ის კომპლექსონატის $0,1\text{N}$ EDTA-თი ელუირების ინტეგრალური მრუდები. 1 — ანონიტი AB-16; 2 — ანონიტი AB-17; G — ელუირების ხარისხი, %; N — ელუატის ფრაქციათა ნომერი (10მლ)



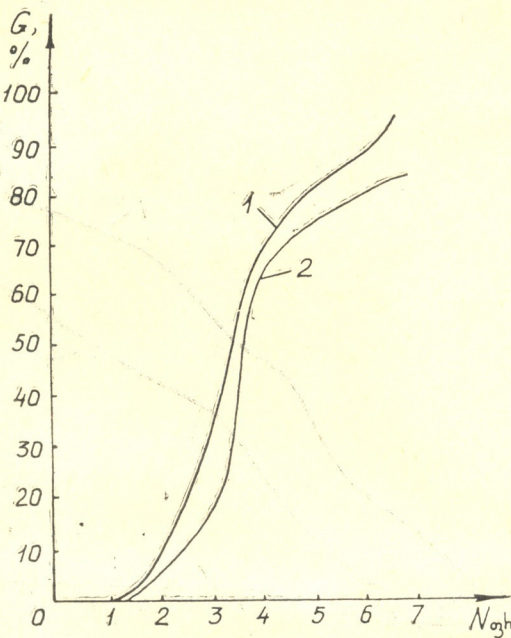
ნახ. 2. $\text{Co}^{(II)}$ -ის კომპლექსონატის $0,3\text{N}$ EDTA-თი ელუირების ინტეგრალური მრუდები. 1 — ანონიტი AB-16; 2 — ანონიტი AB-17



Фиг. 3. Co (II)-от кроматографски сорбенти 0,1N NaOH-от еднофазовите с интегралният и
многофазови. 1 — анионен AB-16; 2 — анионен AB-17



Фиг. 4. Co (II)-от кроматографски сорбенти (5% NaCl + 0.5N HCl) на редица еднофазови с ин-
тегралният и многофазови. 1 — анионен AB-16; 2 — анионен AB-17



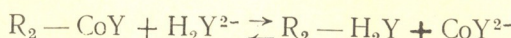
ნახ. 5. Co (II)-ის კომპლექსონატის 5% NH₄OH-ით ელუირების ინტეგ-
რალური მრუდები. 1 — ანიონიტი AB-16; 2 — ანიონიტი AB-17

[3, 4] კობალტის (II) კომპლექსონატის (CoY²⁻) დესორბციის პროცესის მე-
ქანიზმი შეიძლება წარმოვადგინოთ შემდეგი სქემების მიხედვით:

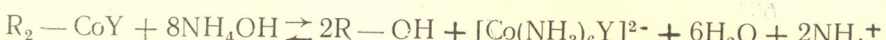
1. კობალტის (II) კომპლექსონატის დესორბცია NaOH-ით:



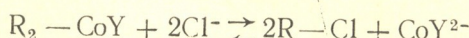
2. კობალტის (II) კომპლექსონატის დესორბცია კომპლექსონ III-ით:



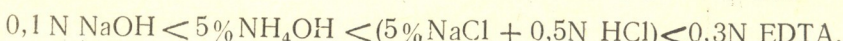
3. კობალტის (II) კომპლექსონატის დესორბცია NH₄OH-ით:



4. კობალტის (II) კომპლექსონატის დესორბცია (5% NaCl + 0,5N HCl) ნარე-
ვით:



როგორც მიღებული შედეგები გვიჩვენებენ, ჩვენს მიერ შესწავლილი
ელუირები ეფექტურობის მიხედვით შეიძლება განვალაგოთ შემდეგ რიგად:



ადრე ჩატარებული კვლევის შედეგების [5—7] შედარება საშუალებას
გვაძლევს, რომ სისტემაში „M^{z+} — H₂O₂ — ანიონიტის EDTA-ფორმა“ კობალტი (II) დაცილებულ იქნას Ti (IV)-, V (IV, V)- და Cr (III)- იონებისაგან.

მიღებული შედეგების საფუძველზე შემუშავებულ იქნა ადრე შესწავ-
ლილ მეტალთა და კობალტის (II) იონების ახალი ეფექტური ქრომატოგრა-
ფიულ დაცილებათა ვარიანტები (იხ. ცხრილი 1).

ანიონიტ AB-17-ის EDTA-ფორმაზე კობალტის (II) ქრომატოგრაფიული
დაცილების გარანტები

დასაცილებელ მეტალთა იონები	ე ლ უ ე ნ ტ ე ბ ი
Cr (II) — Co (II)	გამოხდილი H_2O —0,3N EDTA
Co (II) — Ti (IV)	, 3N EDTA—(5% NaCl + 0,5N HCl)
Co (II) — V (IV, V)	0,3N EDTA—(5% NaCl + 0,5N HCl)
Co (II) — Ti (IV), V (IV, V)	0,3N EDTA—(5% NaCl + 0,5N HCl)
Cr (III)— Co (II) — Ti (IV), V (IV, V)	გამოხდილი H_2O —0,3N EDTA — — (5% NaCl + 0,5N HCl)
Cr (III)— Co (II), Fe (III)	გამოხდილი H_2O — 0,5N EDTA
Cr (III)— Co (II), Cu (II), Fe (III)	გამოხდილი H_2O — 0,5N EDTA
Cr (III)— Co(II), Cu(II), Fe(III)—Ti(IV), V(IV, V)	გამოხდილი H_2O — 0,3N EDTA — — (5% NaCl + 0,5N HCl)
Co (II), Cu(II), Fe(III)—Ti(IV), V(IV, V)	0,5 N EDTA—(5% NaCl + 0,5N HCl)
Co (II), Fe(III)—Ti(IV), V(IV, V)	0,5 N EDTA—(5% NaCl + 0,5N HCl)
Co (II), Cu(II)—Ti(IV), V(IV, V)	0,3 N EDTA—(5% NaCl + 0,5N HCl)

საქართველოს ტექნიკური უნივერსიტეტი

შემოსულია 12.10.1990

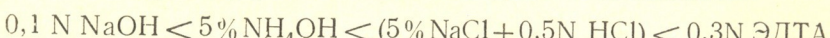
Ф. И. БРОУЧЕК, М. М. КАРИАУЛИ, М. Ш. БИБИЛАШВИЛИ, А. Л. ГОЗАЛОВ,
Н. В. ГАГНИДЗЕ, Л. Г. КАСРАДЗЕ

ИЗУЧЕНИЕ ПРОЦЕССА ДЕСОРБЦИИ КОБАЛЬТА (II) ИЗ ЭДТА-ФОРМ АНИОНИТОВ

Р е з и у м е

В динамических условиях изучен процесс десорбции ионов кобальта (II) из анионитов АВ-16 и АВ-17 в хроматографических системах «Co(II) — H_2O_2 — анионит в ЭДТА-форме» элюентами различной химической природы и концентрации.

Установлен ряд эффективности исследованных элюентов:



Приведены схемы механизмов десорбции Co(II) изученными элюентами.

С использованием ранее полученных экспериментальных данных разработаны новые варианты хроматографического отделения Co(II), Cu (II) и Fe (III), от Cr (III), Ti (IV) и V (IV, V) на ЭДТА-форме анионита АВ-17.

F. I. BROUCHEK, M. M. KARIAULI, M. Sh. BIBILASHVILI, A. L. GOZALOV
N. V. GAGNIDZE, L. G. KASRADZE

THE STUDY OF COBALT (II) DESORBTION PROCESS FROM EDTA-FORMS OF ANIONITES

С у м м а г ү

The process of cobalt ions desorption from AB-16 and AB-17 anionites, by eluents of different chemical nature and concentration, has been studied in dynamic conditions in chromatographic systems "Co(II)— H_2O_2 —anionite in EDTA-form".



The series of effectiveness of the investigated eluents has been fixed.

The schemes of (desorption) mechanisms of Co(II) desorption by studied eluents are given.

The new variance of chromatographic separation of Co(II), Cu(II) and Fe(III) from Cr(III), Ti(IV) and V(IV, V) on EDTA — form of AB-17 anionite, have been worked out with the application of the earlier obtained experimental data.

ଓଡ଼ିଆରୀତିଶୀଳା — ЛИТЕРАТУРА — REFERENCES

1. Әртүр Һікеғін, қаримов а.з., әбділлашев а., әбділлашев а., ғарыш а.л. 2000 жылда, 80-жылдың бірінші жартысында, Қазақстан Республикасының мемлекеттік мұрасынан 1991 жылдың 17 наурызында, 179 нөмірде.
 2. Пршибиль Р. Комплексоны в химическом анализе. М.: ИЛ, 1960.
 3. Броучек Ф. И. Изв. АН ГССР, серия химич., 1976, 2, 4, 295.
 4. Броучек Ф. И. Изв. АН ГССР, серия химич. 1984, 10, 1, 20.
 5. Броучек Ф. И., Каираули М. М., Гозалов А. Л. Изв АН ГССР, серия химич., 1987, 13, 1, 7.
 6. Броучек Ф. И., Гудушаури Ц. Н., Каираули М. М., Гозалов А. Л. Изв. АН ГССР, серия химич., 1987, 13, 1, 67.
 7. Әртүр Һікеғін, қаримов а.з., әбділлашев а., әбділлашев а., ғарыш а.л. 2000 жылда, 80-жылдың бірінші жартысында, Қазақстан Республикасының мемлекеттік мұрасынан 1991 жылдың 17 наурызында, 236 нөмірде.

შე 1 541.49:546.7

ა. ვეიტიშვილი, ა. ჭველაშვილი, ი. მიგაძე

გარდამავალ ლითონეთა კომპლექსების ასპირინის

ასპირინი ანუ ორთო-აცეტილსალიცილის მჟავა (AspH) მედიცინაში ფარ-
თოდ გამოყენებულ პრეპარატებს განეკუთვნება. ლითონებთან ასპირინის ნა-
ერთებიც იხმარება მედიცინასა [1—4] და ტექნიკაში [5].

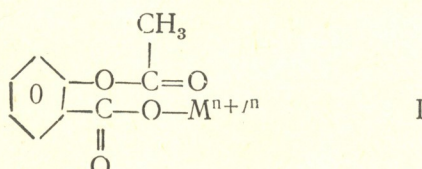
ლიტერატურაში ცნობილია ასპირინის ნაერთები შემდეგ ლითონებთან: Na, Ca [6], Mg [7, 8], Ag [9], Fe (111), Zn [1], Cu [10], მაგრამ არ არის მითითე-
ბული მათი შედგენილობა, გარდა მაგნიუმისა — $Mg(C_9H_7O_4)_2 \cdot 2H_2O$ და თუთიისა
 $Zn(C_9H_7O_4)_2$.

გარდამავალ ლითონებთან ასპირინის ნაერთები მიღებული არ არის, კერ-
ძოდ Ni, Co, Mn და Cd-თან. ამიტომ ჩვენი შრომის მიზანს მათი მიღების
შედგენილობის დამუშავება, შედგენილობის დადგენა და ზოგიერთი ფიზი-
კურ-ქიმიური თვისებების შესწავლა წარმოადგენდა.

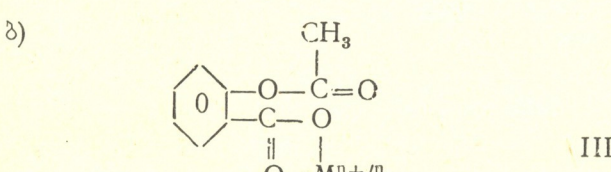
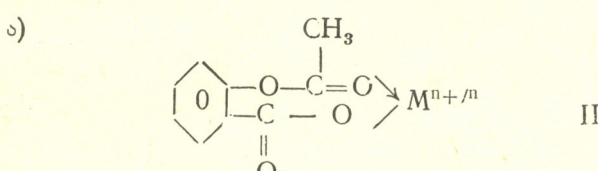
ასპირინი მჟავე რეაქციით ხასიათდება, რაც გაპირობებულია მის მოლე-
კულაში — COOH ჯგუფის არსებობით, სადაც წყალბადის ატომს უნარი აქვს
ჩაინაცვლოს ლითონი ტუტის მოქმედებისას.

შეიძლება მოვიყვანოთ ლითონებთან ასპირინის ნაერთებისათვის რამდე-
ნიმე 'შესაძლო სტრუქტურა:

1. თუ ასპირინი იკავებს ერთ საკონტაქტო ადგილს:



2. თუ ასპირინი იკავებს ორ საკონტაქტო ადგილს:



ეს სტრუქტურები მეტნაკლებად საალბათოა.

$M(Asp)_2 \cdot nH_2O$ ($M = Co, Ni, Mn, Cd, Zn, Cu; n = 2-5$)-ის სინთეზი: 3,4—5,63
 $MX_2 \cdot nH_2O$ ($X = Cl^-, SO_4^{2-}, CH_3COO^-$, NO_3^-) გავხსენით 30 მლ წყალში და 20 მლ წყალში გავხსენით 7,2 გ ასპირინი (მოლარული ფარდობა 1 : 2) და ლოებით 5 მლ კონც. ამიაკის დამატებით. $pH = 8-9$. ხსნარების შემდეგ გამოიყო წვრილქრისტალური ნალექი, რომელიც გავფილტრეთ, ჩავრეცხეთ წყლით და გავაშრეთ ჰაერზე. მიღებული ნაერთების ქიმიური ანალიზის შედეგები მოტანილია 1 ცხრილში.

ცხრილი 1

ქიმიური ანალიზის შედეგები

ნაერთი	ნაპოვნია, %			გამოთვლილია, %		
	M	C	H	M	C	H
$Cu(Asp)_2 \cdot 5H_2O$	11,27	42,39	4,26	11,52	42,25	4,72
$Ni(Asp)_2 \cdot 3H_2O$	12,12	45,80	4,55	12,45	45,90	4,28
$Co(Asp)_2 \cdot 2,5H_2O$	12,55	46,43	4,30	12,75	46,76	4,14
$Mn(Asp)_2 \cdot 4H_2O$	11,20	44,26	4,17	11,32	44,55	4,57
$Cd(Asp)_2 \cdot 3H_2O$	21,82	40,88	3,43	21,42	41,20	3,84
$Zn(Asp)_2 \cdot 2H_2O$	14,07	47,21	3,46	14,22	47,02	3,94

$M(Asp)_2 \cdot nH_2O$ ტიპის ნაერთები წყალში არ იხსნებიან, არაელექტროლიტებს წარმოადგენენ და ჰაერზე მდგრადებია. შათი ზოგიერთი ფიზიკურ-ქიმიური თვისება მოტანილია მე-2 ცხრილში.

ცხრილი 2

$M(Asp)_2 \cdot nH_2O$ -ის ზოგიერთი ფიზიკურ-ქიმიური თვისება

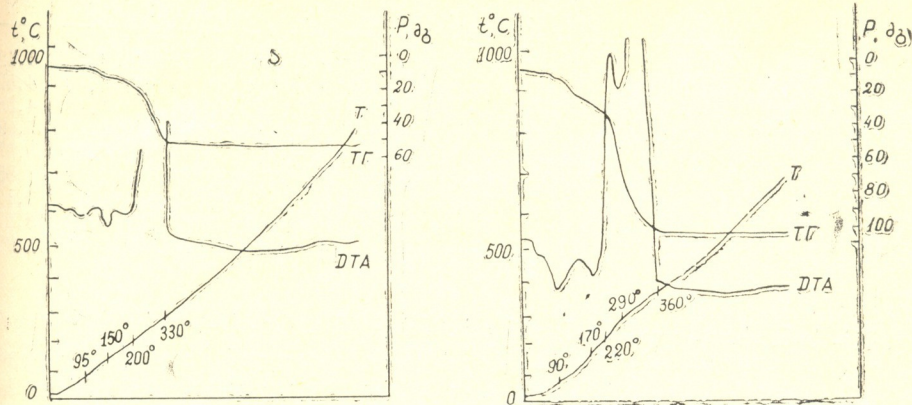
ნაერთი	t დღ., °C	t დაშ., °C	μ , $\text{მმ}^{-1} \text{ს}^2 \cdot \text{მლი}^{-1}$	pH	ხელდ. წონა	ხელდ. წონა*
$Cu(Asp)_2 \cdot 5H_2O$	105	215	45,2	6,65	1,78	$3,31 \cdot 10^{-11}$
$Ni(Asp)_2 \cdot 3H_2O$	—	220	50,7	8,45	1,62	$5,38 \cdot 10^{-12}$
$Co(Asp)_2 \cdot 2,5H_2O$	—	200	48,3	8,55	1,80	$9,86 \cdot 10^{-12}$
$Mn(Asp)_2 \cdot 4H_2O$	—	225	60,2	8,70	1,75	$6,79 \cdot 10^{-11}$
$Cd(Asp)_2 \cdot 3H_2O$	110	230	51,6	—	1,67	$2,24 \cdot 10^{-11}$
$Zn(Asp)_2 \cdot 2H_2O$	115	210	47,7	—	1,81	$2,38 \cdot 10^{-11}$

ხსნადობის ნამრავლი განსაზღვრული იყო ხსნადობის მეთოდით [11]. ხნ-ის მნიშვნელობის ზრდის მიხედვით შეიძლება დაიწეროს ლითონთა შემდეგი რიგი: $Ni < Co < Cd < Zn < Cu < Mn$. ე. ი. ცველაზე უხსნადი ნიკელის ნაერთია.

შესწავლილია ნიკელისა და კობალტის აქვთ-მარილების თერმული მდგრადობა ჰაულიკ, ჰაულიკ, ერდეის სისტემის უნგრულ დერივატოგრაფზე $20-900^\circ$ -ის ინტერვალში. გახურების სიჩქარე 5 გრად/წთ, წონაკი 37—145 მგ. ნაჩვენებია, რომ $Ni(Asp)_2 \cdot 3H_2O$ (ცხრ. 3, ნახ. 1a) და $Co(Asp)_2 \cdot 2,5H_2O$ -ის (ცხრ. 3, ნახ. 1b) დეპიდრატაცია მიმდინარეობს ენდოთერმულ ეფექტზე ($90-95^\circ$ და $150-170^\circ$). შემდეგი გაცხელებით ეგზოთერმულ ეფექტზე იშევება თერმოლიზი. ნიკელის ნაერთი ერთ ეგზოთერმულ ეფექტზე ($200-300^\circ$) კარგავს ასპირინის ორივე მოლეკულას, ხოლო კობალტის ნაერთი ორ ეგზოთერმულ ეფექტზე შესაბამისად — ასპირინის ჯერ პირველ, შემდეგ მეორე მოლეკულას. ორივე შემთხვევა-

* ხნ — ხსნადობის ნამრავლია.

შე დაშლის საბოლოო პროდუქტია ლითონის ოქსიდი. ნაერთთა დეპიდრატაცია და დაშლა ლითონთა ოქსიდებამდე დამტკიცებულია უწყლო ნაერთებისა და დაშლის საბოლოო პროდუქტების ანალიზით ლითონზე (ცხრ. 3).



ნახ. 1. თერმოგრამა: а) $\text{Ni}(\text{Asp})_2 \cdot 3\text{H}_2\text{O}$, б) $\text{Co}(\text{Asp})_2 \cdot 2,5\text{H}_2\text{O}$.

თუ მხედველობაში მივიღებთ იმას, რომ ასპირინის მოლეკულაში გვაქვს $-\text{COOH}$ ჯგუფი, რომლის წყალბადს უნარი აქვს ჩაინაცვლოს ლითონი და მას კოორდინაციული ბმით დაუკავშირდეს, შეიძლება ჩავთვალოთ, რომ $\text{pH} > 7$ -ის ღრუს ასპირინთან ლითონები, ალბათ, შიგაყომბლექსნაერთებს წარმოქმნიან, რასაც მათი წყალში უხსნადობაც ადასტურებს.

ცხრილი 3

თერმული დაშლის შედეგები*

ნაერთი	დეპიდრატაცია						დაშლა					
	t ენ., °C		მასის დანაკარგი, %		M, %		t ეგზ., °C		მასის დანაკარგი, %		M, %	
	I	II	I	II	II		III	IV	III	IV	IV	
$\text{Ni}(\text{Asp})_2 \cdot 3\text{H}_2\text{O}$	95	150	3,80	11,54	13,82		—	200—300	—	69,23	78,41	
			3,82	11,47	14,09					84,14	78,64	
$\text{Co}(\text{Asp})_2 \cdot 2,5\text{H}_2\text{O}$	90	170	2,01	9,66	14,08	220—290	290—360	48,96	66,80	73,20		
			1,94	9,73	14,13			48,50	79,90	73,42		

ლიტერატურული და ჩვენს მიერ მიღებული მონაცემების საფუძველზე ლითონთან ლიგანდის ბმა IIII სტრუქტურული ფორმულის მიხედვით უნდა ხორციელდებოდეს. ამრიგად, ასპირინი როგორც ბიდენტატური ლიგანდი ნაერთში 4 საკოორდინაციო ადგილს იკავებს. მე-5 და მე-6 საკოორდინაციო ადგილს წყლის მოლეკულები უნდა ავსებდნენ. ამის დასადასტურებლად ჩავატარეთ გაცვლითი რეაქციები $M(\text{Asp})_2$ -სა (Co , Ni , Cu) და ამინებს (ამიაკი, ჰირიდინი, ეთილენდიამინი) შორის. ვვარაუდობდით, რომ NH_3 და Py იკავებენ რა თითო საკოორდინაციო ადგილს, წყლის მოლეკულების ჩანაცვლებით ნაერთში შევიდოდნენ 2, ხოლო en — ერთი მოლეკულის ოდენობით.

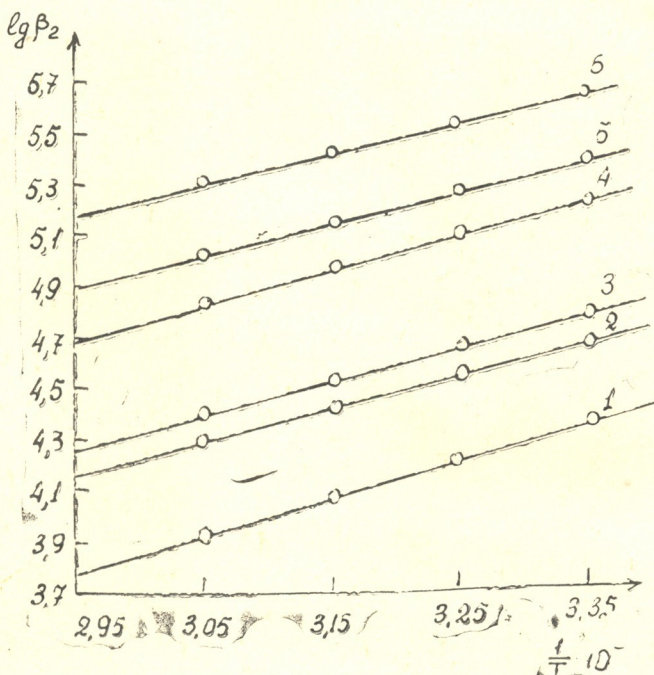
$M(\text{Asp})_2(\text{NH}_3)_2 \cdot n\text{H}_2\text{O}$ -ის სინთეზი: $M(\text{Asp})_2 \cdot n\text{H}_2\text{O}$ -ის 1გ-ს დაგამატეთ 5 მლ კონც. NH_4OH . ნაერთი გაუხსნელად გარდაიქმნა სხვა ფერის ნაერთად, კერ-

* მრიცველში — ნაპოვნია; მნიშვნელში — გამოთვლილია.

ნაერთი	ნაპოვნია, %				გამოთვლილია, %			
	M	C	H	N	M	C	H	N
Cu(Asp) ₂ Py ₂ ·3H ₂ O	9,20	52,94	4,66	4,30	10,02	53,04	4,77	4,42
Ni(Asp) ₂ Py ₂ ·2,5H ₂ O	9,17	54,26	4,83	4,69	9,46	54,22	4,79	4,52
Co(Asp) ₂ Py ₂ ·2H ₂ O	9,08	55,16	4,70	4,75	9,40	55,00	4,78	4,58
Cu(Asp) ₂ (NH ₃) ₂ ·2H ₂ O	12,75	44,09	4,97	5,42	12,94	43,92	4,92	5,69
Ni(Asp) ₂ (NH ₃) ₂ ·H ₂ O	12,60	46,36	5,18	6,10	12,51	46,09	4,94	5,97
Co(Asp) ₂ (NH ₃) ₂ ·1,5H ₂ O	12,22	45,87	4,58	5,82	12,32	45,20	4,63	5,85
Cuen ₂ (Asp) ₂ ·4H ₂ O	10,51	43,42	6,70	9,25	10,35	43,03	6,24	9,12
Nien ₃ (Asp) ₂ ·2H ₂ O	9,10	46,51	6,51	13,44	9,27	45,52	6,68	13,27
Coen ₃ (Asp) ₂ ·3H ₂ O	9,25	44,30	6,94	13,15	9,05	44,24	6,81	12,90

ძრდ, Ni-ის ნაერთით — ღია მწვანედან იასამნისფერში, Co-ის — ვარდისფერიდან ღია ყავისფერში, ხოლო Cu-ის — მოცისფერო მწვანედან ბალახისფერ მწვანეში გადავიდა. ნალექი გავფილტრეთ, ჩავრეცხეთ სპირტით და გავაშრეთ ჰაერზე.

თუ $M(Asp)_2 \cdot nH_2O$ -ს დავამატებთ ჭარბ NH_4OH -ის ხსნარს (20 მლ-ს), მაშინ ნაერთი მოტლიანად გაიხსნება და ხსნარი მიიღებს ცისფერ (Ni) ან ლურჯ (Cu) შეფერილობას. ხსნარის ჰაერზე დგომით გამოიყოფა იასამნისფერი (Ni) და მწვანე (Cu) ნაერთი. უფიქრობთ, ცისფერი და იისფერი ხსნარები შეესაბამებიან ნიკელისა და სპილენძის ამიაკატებს, რომლებიც ჰაერზე უმდგრადებიარიან.



ნახ. 2. $M(Asp)_2 \cdot nH_2O$ -თვის $1g\beta$ -ს დამკიცებულება $1/T$ -გან. 1—Mn;
2—Zn; 3—Cd; 4—Ni; 5—Co; 6—Cu

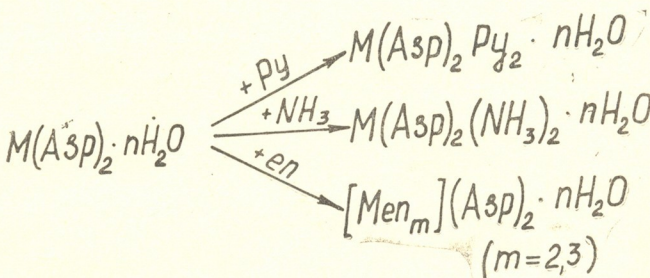
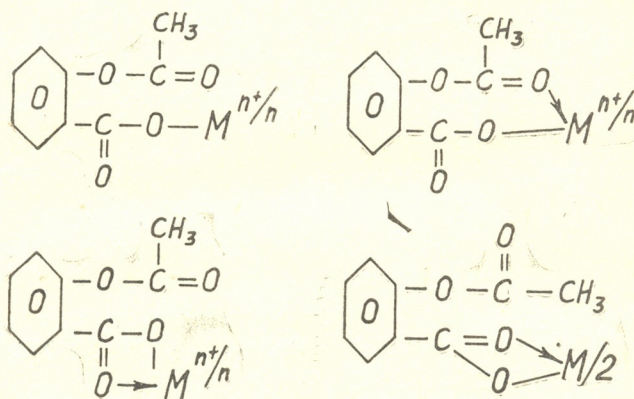
Co-ის შემთხვევაში ჭარბი ამიაკის დამატებით აღგილი აქვს ნაერთის მთლიანად დაშლას.

მიღებული ნაერთების ქიმიური ანალიზი მოტანილია მე-4 ცხრილში.

$M(\text{Asp})_2 \cdot n\text{H}_2\text{O}$ -ის სინთეზი: $M(\text{Asp})_2 \cdot n\text{H}_2\text{O}$ -ის 0,5გ-ს დავამატეთ პირი-დინის 5 მლ და გავაცხელეთ წყლის აბაზანაზე. ნაერთი გაიხსნა პირიდინში. გაცივებისას გამოიყო ნალექი ($\text{Cu}-\text{მწვანე}, \text{Ni}-\text{ცისფერი}, \text{Co}-\text{ვარდისფერი}$), რომელიც გავფილტრეთ, ჩავრეცხეთ სპირტით და გავაშრეთ ჰაერზე. ქიმიური ანალიზის შედეგები მოტანილია მე-4 ცხრილში.

$\text{Men}_3(\text{Asp})_2 \cdot n\text{H}_2\text{O}$ და $\text{Cuen}_2(\text{Asp})_2 \cdot n\text{H}_2\text{O}$ -ის სინთეზი: $M(\text{Asp})_2 \cdot n\text{H}_2\text{O}$ -ის 0,5 გ-ს დავამატეთ 30 მლ წყალი და 20% en -ის 3 მლ. წყლის აბაზანაზე გაცხელებით ნაერთი გაიხსნა. აორთქლების შედეგად გამოყოფილი ნალექი ($\text{Cu} - \text{იასამნისფერი}, \text{Ni} - \text{ვარდისფერი}, \text{Co} - \text{ყვითელი}$) გავფილტრეთ, ჩავრეცხეთ სპირტით და გავაშრეთ ჰაერზე. ქიმიური ანალიზის შედეგები მოტანილია მე-4 ცხრილში.

როგორც მე-4 ცხრილი გვიჩვენებს, რეაქცია $M(\text{Asp})_2 \cdot n\text{H}_2\text{O}$ -სა და ამინებს შორის შემდეგი რეაქციების მიხედვით მიმდინარეობს:

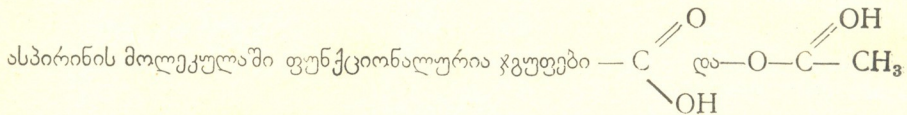


აქედან ჩანს, რომ Py და NH_3 -ის მოქმედებისას ადგილი აქვს ორი მოლეკულა წყლის ორი მოლეკულა ამინით ჩანაცვლებას. ეთილენდიამინის შემთხვევაში კომპლექსის შიგა სფეროს მთლიანად ეთილენდიამინი იკავებს, ხოლო ასპირინი ანიონის როლში გამოდის.

მიღებული შედეგების საფუძველზე შეგვიძლია დავასკვნათ, რომ ასპირინი ამ შემთხვევაში ბიდენტანტური ლიგანდია. ამის დასადასტურებლად და აგრეთვე იმის გასარკვევად, თუ რომელი ფუნქციონალური ჯგუფებით უკავშირდება AspH ლითონს, გადაღებული და შესწავლილ იქნა ასპირინისა და 2. Серия химическая, т. 18, № 1

ლითონებთან მისი ნაერთების შთანთქმის ი. წ. სპექტრები 400—4000 სმ⁻¹ ფარგლებში, რომელიც მიღებულია სპექტროგორიმეტრ „Specord IR-Zn“-ის ნიმუშები დამზადებულია KBr-თან ტაბლეტების სახით.

ამ ნაერთთა შთანთქმის ი. წ. სპექტრში ნაპოვნი მნიშვნელოვანი რხევითი სიხშირეების მიკუთხნება მოცემულია მე-5 ცხრილში. მიკუთხნება გაკეთებულია ჯგუფური დამახასიათებელი სიხშირეების ცნობილი ინტერვალების გათვალისწინებით [12].



ორივე ჯგუფში არსებული უანგბადის ატომები შეიძლება კოორდინაციულად დაუკავშირდეს ლითონს.

როგორც მე-5 ცხრილიდან ჩანს კარბოქსილის ჯგუფის C—O-ს დამახასიათებელი სიხშირე, რომელსაც ასპირინის სპექტრში შეესაბამება 1410 და 1595 სმ⁻¹, კომპლექსნაერთში გადანაცვლებულია მათი მცირე მნიშვნელობისაკენ 20—25 სმ⁻¹-ით ($\Delta\gamma_s$) და 70—95 სმ⁻¹-ით ($\Delta\gamma_{as}$), ასევე $\Delta\nu$ (Ar—COOH) 100—125 სმ⁻¹-ით, რაც იმის მაჩვენებელია, რომ ასპირინში — COOH ჯგუფი დეპროტონირებული არ არის, ხოლო კომპლექსნაერთებში დეპროტონირებულია და წყალბადი ჩანაცვლებულია ლითონით. ამასვე ადასტურებს — COOH ჯგუფის ν (OH)-ის გადანაცვლება 735—825 სმ⁻¹-ით.

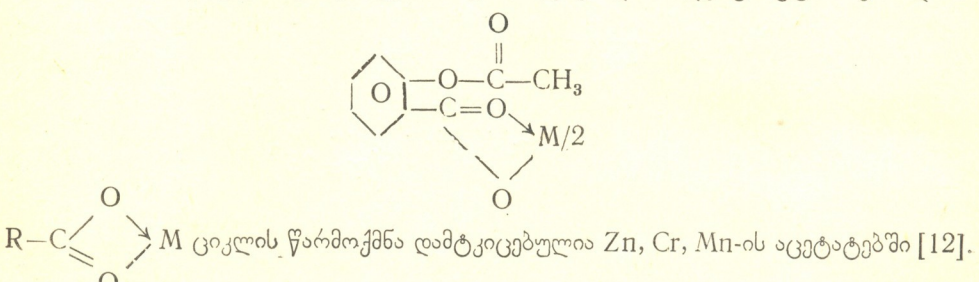
$\nu(-\text{O}-\text{CO}-\text{CH}_3)$ და $\nu(-\text{CO}-\text{CH}_3)$ სიხშირეების ანალიზი გვიჩვენებს,

რომ $\text{O}-\text{C}(=\text{O})-\text{CH}_3$ ჯგუფის C=O მონაწილეობას არ იღებს ბმაში, რადგან მისი სიხშირე მცირდებულება (10—25 სმ⁻¹).

რაც შეეხება წყალს, იგი კრისტალიზაციურიცაა და კოორდინაციულად, რადგან მათი დამახასიათებელი სიხშირეები კომპლექსში 3440—3590 სმ⁻¹-ის (კრისტალიზაციური) და 832—860⁻¹-ის (კოორდინაციული) ფარგლებში ჩნდებიან.

ლითონთან ბმა რომ ნამდვილად უანგბადის ატომით ხორციელდება, კომპლექსში 420—485 სმ⁻¹-ის ფარგლებში $\nu(\text{M}-\text{O})$ -ს სიხშირეების გაჩენით დასტურდება.

ამრიგად, შეიძლება ვივარაუდოთ, რომ ბმა ლითონთან უნდა განხორციელდეს — COO⁻ ჯგუფის უანგბადებით, ე. ი. ლიგანდი ბიდენტური გამოდის;



შესწავლით იყო ასპირინის კომპლექსწარმოქმნა დამტკიცებულია Zn, Cr, Mn-ის აცეტატებში [12].

წინასწარ განსაზღვრული იყო ასპირინის დისოციაციის მუდმივა. ამისათვის ასპირინის 0,02 და 0,005 მოლი/ლ-ის 50%-იანი აცეტონ-წყალსნარი გაიტიტრა 0,1 N KOH-ის ხსნარით [13]. დადგენილია, რომ ასპირინისათვის $K=3,516 \cdot 10^{-4}$ ($pK_{\text{AspH}}=3,454$), რაც კარგად ეთანხმება ლიტერატურულ მონაცემებს — $pKa=3,48$ [13].

ასპირინისა და ლითონებთან მისი ნაერთების შთანთქმის ი. წ. სპეციალური
ნაპოვნი რჩევითი სიტმის რეაგირები (სპ-1)

მიკროსტანგება	AspH	Co(Asp) ₂ [*] · 2,5H ₂ O	Ni(Asp) ₂ · 3H ₂ O	Cu(Asp) ₂ · 5H ₂ O
ν(OH) COOH	3450	2670	2665	2755
δ(OH) „	1250	1140	1190	1186
ν(C=O) „	1745	1550	1510	1560
ν _{as} (—C=O) O ⁻	1595	1525	1501	1500
ν _s (—C//O) O ⁻	1410	1385	1390	1390
ν(Ar — COOH)	960	860	855	832
ν(C=O)—O—C=O CH ₃	1670	1650	1665	1660
δ(C=O) „	1360	1220	1200	1220
ν(-CO-CH ₃) „	1445	1440	1435	1435
ν _s (OH) H ₂ O (ჰიდროს.)	—	3590	3520	3440
(M—O)	—	480	420	485
ν(M—O) H ₂ O (ჰიდრორდ.)	—	860	855	832

პოტენციომეტრული მეთოდით 50%-იან აცეტონ-წყალხსნარში შესწავლა-ლია ორგალენტიანი ლითონების (Cu, Co, Ni, Mn, Zn, Cd) კომპლექტარმოქმნა $\text{MX}_2 - \text{AspH} - \text{HNO}_3$ სისტემაში. კვლევის პირობები შემდგვარა: $C_{\text{MX}_2} = 3 \cdot 10^{-3}$ მოლი/ლ, $C_{\text{AspH}} = 3 \cdot 10^{-2}$ მოლი/ლ, $C_{\text{HNO}_3} = 2 \cdot 10^{-2}$ მოლი/ლ, $\mu = 1$ მოლი/ლ- (NaNO_3), $t = 25^\circ$. გასატიტრავი ხსნარის მოცულობაა 25 მლ, ტიტრანტი იყო $\sim 0,1\text{N KOH}$ -ის ხსნარი. მიღებულობითი მდგრადობის მუდმივები განისაზღვრებოდა [13–15] შრომებში მოტანილი ფორმულებით. მიღებული შედეგები მოტანილია მე-6 კვერილში.

$M(\text{Asp})_2$ -ის მდგრადობის მუდმივები

β	M					
	Cu	Co	Ni	Cd	Zn	Mn
β_1	$9,52 \cdot 10^3$	$6,25 \cdot 10^3$	$5,88 \cdot 10^3$	$5,56 \cdot 10^3$	$1,82 \cdot 10^3$	$1,67 \cdot 10^3$
β_2	$4,86 \cdot 10^6$	$2,50 \cdot 10^6$	$1,81 \cdot 10^6$	$6,37 \cdot 10^5$	$5,00 \cdot 10^5$	$2,35 \cdot 10^5$

Мე-6 ცხრილიდან ჩანს, რომ ცენტრალურ ატომთან ასპირინის 2 მოლეკულაა განლაგებული და რომ მდგრადობის მუდმივათა მნიშვნელობები ლითონთა მიხედვით იზრდება $Cu > Co > Ni > Cd > Zn > Mn$ რიგში.

ასპირინის ნაერთებისათვის თერმოდინამიკური ფუნქციების (ΔG , ΔH და ΔS) გამოთვლის მიზნით განსაზღვრულ იქნა მათი მდგრადობის მუდმივები სხვადასხვა ტემპერატურაზე (25° -დან 55° -მდე 10° -ის ინტერვალით). აღმოჩნდა,

ეროვნული
ცისამიზური

რომ დღგრადობის მუდმივები ტემპერატურის ცვლილებით მცირედ იცვლება
lgβ-ს დამოკიდებულება 1/T-თან სწორხაზოვანია (ნახ. 2).

თერმოდინამიკური ფუნქციები გამოთვლილია [7] შრომაში მითითებული ფორმულებით. მე-7 ცხრილში მოტანილია ΔG, ΔH და ΔS-ის მნიშვნელობები lgβ₂-თვის სხვადასხვა ტემპერატურაზე.

ც ხ რ ი ლ ი 7

M(Asp)₂-ის კომპლექსშარმოქმნის თერმოდინამიკური ფუნქციები. ΔG და ΔH მოცემულია კJ/მოლ-ში, ΔS-კ/მოლი. გრად.

M	25°			35°			45°			55°		
	—ΔG	—ΔH	ΔS									
Cu	32,46	16,29	53,95	32,78	16,29	53,53	33,05	16,29	52,71	33,28	16,29	51,78
Co	30,80	16,35	48,50	30,78	16,35	46,84	31,29	16,35	46,48	31,46	16,35	46,06
Ni	30,01	16,41	45,63	30,13	16,41	44,55	30,25	16,41	43,54	30,33	16,41	42,44
Cd	27,38	16,46	36,63	27,53	16,46	35,94	27,61	16,46	35,06	27,94	16,46	34,99
Zn	26,81	16,52	34,52	26,83	16,52	33,45	26,91	16,52	32,65	26,99	16,52	31,94
Mn	24,93	16,58	28,01	24,99	16,58	27,33	25,26	16,58	27,30	25,43	16,58	26,97

M(Asp)₂-ის კომპლექსშარმოქმნის თერმოდინამიკური ფუნქციების მნიშვნელობები გვიჩვენებენ, რომ ამ ნაერთების შარმოქმნის სითბო ეგზოთერმულია. მისი აბსოლუტური მნიშვნელობა მცირდება Cu>Co>Ni< Cd < Zn > Mn რიგში. ენტალპიის მნიშვნელობა გვიჩვენებს, რომ ასპირინი ნაერთებში დეპროტონირებული მოლექულის სახით შედის. ΔS-ის დადებითი მნიშვნელობა კომპლექსშარმოქმნის შიგასფერულ ხასიათს მოწმობს.

საქართველოს მეცნიერებათა აკადემიის

პ. მელიქიშვილის სახ. ფიზიკური და
ორგანული ქიმიის ინსტიტუტი

შემოსულია 21.03.90

М. Г. ЦКИТИШВИЛИ, А. Е. ШВЕЛАШВИЛИ, И. И. МИКАДЗЕ

КОМПЛЕКСНЫЕ СОЕДИНЕНИЯ ПЕРЕХОДНЫХ МЕТАЛЛОВ С АСПИРИНОМ

Р е з у м е

Синтезированы комплексные соединения переходных металлов с аспирином с общей формулой M(Asp)₂·_nH₂O (M—Cu, Co, Ni, Mn, Zn, Cd; Asp—депротонированная молекула аспирина, n=2÷5), а также смешанные соединения с аспирином и аминами (аммиак, пиридин и этилендиамин) состава: M(Asp)₂P_{yz}·_nH₂O; M(Asp)₂(NH₃)₂·_nH₂O и {Me_m}(Asp)₂·_nH₂O (m = 2,3). Изучены их некоторые физико-химические свойства.

M(Asp)₂·_nH₂O и его смешанные соединения с пиридином и аммиаком являются неэлектролитами, а с этилендиамином — трехионными электролитами. Свыше 200° разлагаются.

На основе изучения ИК-спектров M(Asp)₂·_nH₂O высказано соображение о бидентатности аспирина.

Потенциометрическим методом изучено комплексообразование аспирина с переходными металлами в водных растворах. Определены константы устойчивости и термодинамические функции соединений аспирина.

M. G. TSKITISHVILI, A. E. SHVELASHVILI, I. I. MIKADZE

COMPLEX COMPOUNDS OF TRANSITIVE METALS WITH ASPIRIN

S u m m a r y

Complex compounds of transitive metals with aspirin and general formula $M(\text{Asp})_2 \cdot n\text{H}_2\text{O}$ (M -Cu, Co, Ni, Mn, Zn, Cd; Asp—deprotonised molecule of aspirin; $n = 2 \div 5$), and also mixed compounds with aspirin and amines (ammonia, pyridine and ethylendiamine) of the following structure: $M(\text{Asp})_2 \cdot \text{Py}_2 \cdot n\text{H}_2\text{O}$; $M(\text{Asp})_2(\text{NH}_3)_2 \cdot n\text{H}_2\text{O}$ and $[\text{Men}_m](\text{Asp})_2 \cdot n\text{H}_2\text{O}$ ($m=2,3$) have been synthesised.

Some of their physico-chemical properties have been studied.

$M(\text{Asp})_2 \cdot n\text{H}_2\text{O}$ and its mixed compounds with pyridine and ammonia are non-electrolytes while with ethylendiamine — three-ions electrolytes. These compounds are destructed at a temperature higher than 200° . On the base of IR-spectra study of $M(\text{Asp})_2 \cdot n\text{H}_2\text{O}$ a supposition about bidentality of aspirin is made.

Complexing of aspirin with transitive metals in water solutions has been studied by potentiometric method. Stability constants and thermodynamic functions of aspirin compounds have been determined.

ლიტერატურა — REFERENCES

1. Lafarguim S. A., РЖХ, 1981, 2, 2063П.
2. Сорлансыуг. РЖХ, 1956, 14, 44722II.
3. Bruno Reichert. Chem. Zentralblat, 1937, 2, 1232.
4. Dultz G., Chem. Zentral., 1937, 2, 3714.
5. Грибайло А. П., Симаков Ю. С., Мартошенко В. Я., Замятин В. О., Налегач В. М. РЖХ, 1981, 6, 6П312П.
6. William H., Lawrence J., Chem. Zentralblat., 1936, 1, 811.
7. Каравинова В. И., Трендафелов Д., Иванов Д. С. РЖХ, 1980, 16, 16Б986.
8. Howards Sons, John William Blagden. J. Chem. Zentralblat, 1922, B. IV, p. 377.
9. Kagle Hoth. Chem. Zentralblat, 1936, 1, 1264.
10. Элих А. А., Уитмерс А. Е., РЖХ, 1981, 1, IB244.
11. Гогоришили П. В., Цкитишвили М. Г., Чрелашвили М. В., Изв. АН ГССР, серия химическая, 1979, 5, 3, 199.
12. Накамото К. Инфракрасные спектры неорганических и координационных соединений. М.: Мир, 1966, 268.
13. Альберт А., Сержент Е. Константы ионизации кислот и оснований. М.-Л.: Химия, 1964, 122, 136.
14. Болятинская Л. Н., Миляев Ю. Ф. Труды Московского химико-технологического ин-та им. Д. Менделеева, 1974, 81, 103.
15. Россотти Ф., Россотти Х. Определение констант устойчивости и других констант равновесия в растворах. М.: Мир, 1965, 115.

УДК 543.544

Ж. Г. ГУРДЖИЯ, Г. Д. СУПАТАШВИЛИ, Г. М. ВАРШАЛ, Г. А. МАХАРАДЗЕ,
З. Д. ЧИТИАШВИЛИ

МОНОГИДРОЛИЗ ИОНОВ СВИНЦА (II) В РАЗБАВЛЕННЫХ РАСТВОРАХ

Одним из главных факторов, определяющих соотношение различных форм металлов в природных водах, является гидролиз. Изучение этого процесса для свинца (II), как легко гидролизующегося элемента, имеет особо важное значение. Несмотря на многочисленные данные о гидролизе ионов свинца, выбор достоверной информации затруднен из-за произвольного подбора экспериментальных условий. В ряде работ константы моногидролиза свинца рассчитаны в сравнительно концентрированных растворах ($C > 10^{-4} M$) и при этом не учитывалось существование полиядерных комплексов. Подобные упоминания можно избежать с использованием метода растворимости, обеспечивающего условия изучения гидролиза ионов свинца (II) в области низких концентраций свинца с доминированием моноядерных форм в растворе. Этот метод был использован только в отдельных работах, и получены близкие величины констант первой ступени гидролиза свинца. Для второй ступени гидролиза такие данные вообще отсутствуют. Константы гидролиза свинца, полученные разными методами, включая и метод растворимости, равны $pK_{1r}=7,5$ и $pK_{2r}=10,0$ [1—3].

Целью настоящей работы было получение количественной информации о гидролизе ионов свинца (II) в концентрационном диапазоне, характерном для природных вод. Для изучения процесса гидролиза выбран метод растворимости. В качестве донной фазы в работах обычно используется PbO [4]. Однако PbO сравнительно растворим (17 мкг/г [5]). Кроме того, в концентрационных условиях природных вод в отсутствии комплексообразующих веществ более реально существование свинца (II) в форме гидроксокомплексов. Поэтому мы предпочли применять гидроксид свинца. Согласно [3] при длительном контакте с водой PbO гидратируется с образованием малорастворимого гидроксида свинца. Донную фазу готовили из PbO (чда), который в течение 3 месяцев контактировался с бидистиллированной водой.

Метод растворимости применяли в варианте установления равновесия «снизу» в интервале pH от 6,80 до 8,82, при ионной силе раствора $\mu=0,1$ и $25^\circ C$. В фторопластовые цилиндры вместимостью 15 мл вносили 0,3 мл суспензии гидроксида свинца и добавляли по 9,7 мл 0,1 М раствора перхлората натрия со значениями pH в интервале от 6,80 до 8,82. Суспензию встряхивали на механической мешалке в течение 14 суток. Было установлено, что концентрация свинца в фазе раствора становится постоянной через 14 суток. Растворы центрифугировали при 4500 об/мин, фильтровали через фильтр «Синпор» № 6, с диаметром пор 400 нм. Равновесную концентрацию свинца в фазе раствора определяли либо атомно-абсорбционным методом на приборе «Перкин-Элмер» (модель 603), либо экстракционно-фотометрическим методом [6]. Равновесное значение pH определяли с помощью потенциометра $pH-340$.

Данные о зависимости растворимости донной фазы от рН приведены в табл. 1 и на рис. 1. На кривой четко выделяются три участка. Это прежде всего изоэлектрическая область минимальной растворимости гидроксида свинца (II), включающая интервал рН от 7,60 до 9,0. В этой области в растворе над осадком существует лишь нейтральный

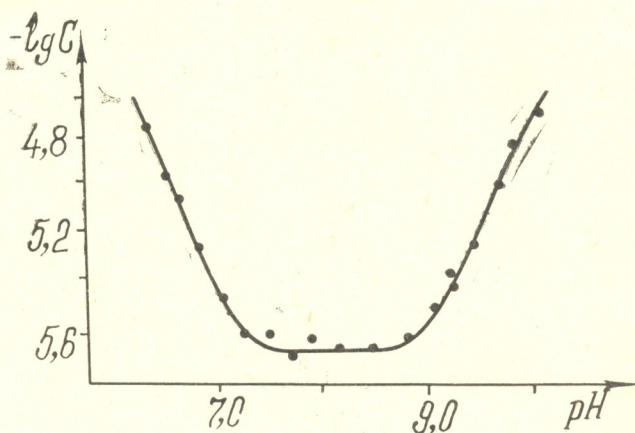


Рис. 1. Зависимость растворимости гидроксида свинца от рН

дигидрокомплекс, и концентрация свинца в растворе равна $C_{\text{Pb}} = 1,4 \cdot 10^{-6}$ М. Судя по тангенсу угла наклона кривой растворимости в логарифмических координатах, гидролиз свинца протекает с образованием преимущественно мономерных гидроксоформ ($\text{tg} \alpha = 1,25$). Участок на кривой при рН выше 9,0 связан с образованием анионных гидрокомплексов свинца (II).

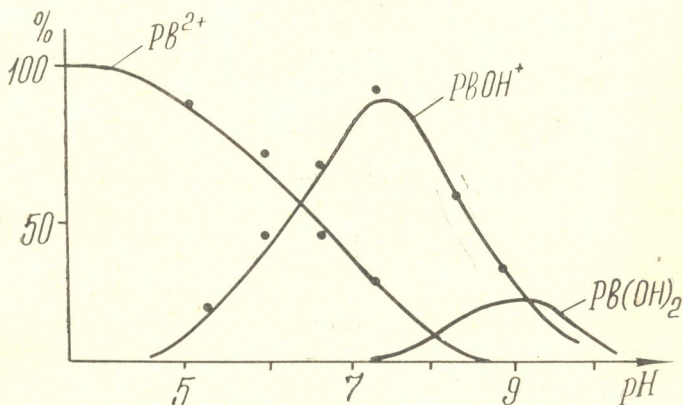


Рис. 2. Соотношение гидроксоформ свинца в интервале рН от 4,0 до 9,0

В области концентраций свинца, характерных для природных вод ($n \cdot 10^{-7}$ — $n \cdot 10^{-6}$ М), образование полимерных гидроксоформ исключено. Поэтому рассмотрим процессы мономерного гидролиза ионов свинца (II). Общую концентрацию свинца в растворе над осадком гидроксида свинца можно представить, как сумму отдельных комплексных форм:

$$C_{\text{Pb}} = [\text{Pb}^{2+}] + [\text{PbOH}^+] + [\text{Pb}(\text{OH})_2^{\circ}] \quad (1)$$

Зависимость растворимости гидроксида свинца (II) от pH,
 $\mu=0,1$, $t=25^\circ\text{C}$

pH	Конц. свинца в растворе		pH	Конц. свинца в растворе	
	мкг/мл	моль/л		мкг/мл	моль/л
6,80	1,30	$6,2 \cdot 10^{-6}$	8,12	0,60	$2,8 \cdot 10^{-6}$
7,00	0,90	$4,3 \cdot 10^{-6}$	8,26	0,50	$2,4 \cdot 10^{-6}$
7,35	0,85	$4,1 \cdot 10^{-6}$	8,55	0,30	$1,4 \cdot 10^{-6}$
7,75	0,80	$3,8 \cdot 10^{-6}$	8,70	0,30	$1,4 \cdot 10^{-6}$
8,00	5,70	$3,3 \cdot 10^{-6}$	8,82	0,30	$1,4 \cdot 10^{-6}$

Константы устойчивости гидроксокомплексов выражаются уравнениями:

$$\beta_{1,1} = \frac{[\text{PbOH}^+]}{[\text{Pb}^{2+}] [\text{OH}^-]} \quad (2) \quad \beta_{1,2} = \frac{[\text{Pb}(\text{OH})_2^0]}{[\text{Pb}^{2+}] [\text{OH}^-]^2} \quad (3)$$

откуда:

$$\text{PbOH}^+ = \beta_{1,1} [\text{Pb}^{2+}] [\text{OH}^-] \quad (4)$$

$$\text{Pb}(\text{OH})_2^0 = \beta_{1,2} [\text{Pb}^{2+}] [\text{OH}^-]^2 \quad (5)$$

тогда:

$$C_{\text{Pb}} = [\text{Pb}^{2+}] (1 + \beta_{1,1} [\text{OH}^-] + \beta_{1,2} [\text{OH}^-]^2) \quad (6)$$

Умножим полученное уравнение на $[\text{OH}^-]^2$; обозначим $\varphi = [\text{Pb}]_0 [\text{OH}^-]^2$. Уравнение примет следующий вид:

$$\varphi = \text{ПР} (1 + \beta_{1,1} \cdot [\text{OH}^-] + \beta_{1,2} \cdot [\text{OH}^-]^2), \quad (7)$$

где $\text{ПР} = [\text{Pb}^{2+}] [\text{OH}^-]^2$ — произведение растворимости $\text{Pb}(\text{OH})_2$.

Последнее уравнение имеет вид уравнения параболы:

$$y = a + bx + cx^2 \quad (8)$$

Принимая последнее уравнение в качестве уравнения регрессии ($y = \varphi$, $x = [\text{OH}^-]$), мы определили a , b , c методом наименьших квадратов. После их вычисления нетрудно определить константы комплексообразования и произведение растворимости:

$$\text{ПР} = a, \quad \beta_{1,1} = b/a, \quad \beta_{1,2} = c/a$$

Экспериментальные данные (табл. 1) обрабатывали по программе SVI—NEC, которая написана на языке BASIC для ЭВМ IBM PC/AT—286 [7]. Были получены следующие значения:

$$\beta_{1,1} = 1,84 \cdot 10^6 \quad \beta_{1,2} = 3,17 \cdot 10^{12} \quad \text{ПР}_{\text{Pb}(\text{OH})_2} = 4,88 \cdot 10^{-19}$$

Полученные данные по константам равновесия следующих реакций гидролиза:

$$\lg K_0 (\text{Pb}(\text{OH})_2 \rightleftharpoons \text{Pb}(\text{OH})_{20-p}) = -5,77 \pm 0,16$$

$$\lg K_1 (\text{Pb}(\text{OH})_2 \downarrow + \text{H}^+ \rightleftharpoons \text{Pb}(\text{OH})^+ + \text{H}_2\text{O}) = 1,52 \pm 0,3$$

$$\lg K_2 (\text{Pb}(\text{OH})^+ + \text{OH}^- \rightleftharpoons \text{Pb}(\text{OH})_{20-p}) = \lg K_0 - \lg K_1 - \lg K_w = 6,71,$$

где K_w ионное произведение воды.

$$K_2 = \frac{[\text{Pb}(\text{OH})_2^0]}{[\text{PbOH}^+] \cdot [\text{OH}^-]} \quad (9)$$

Из (2), (3) и (9) нетрудно получить

$$K_2 = \frac{\beta_{1,2}}{\beta_{1,1}}$$

По полученным данным $K_2 = 1,72 \cdot 10^6$ и $\lg K_2 = 6,23$.

Таким образом, величины $\lg K_2$, рассчитанные двумя методами, хорошо согласуются между собой.

Ступенчатые константы гидролиза свинца вычисляли по формулам:

$$K_{1r} = \beta_{1,1} \cdot K_w = 1,84 \cdot 10^{-8} \quad pK_{1r} = 7,73$$

$$K_{2r} = \frac{\beta_{1,2}}{\beta_{1,1}} K_w = 1,17 \cdot 10^{-8} \quad pK_{2r} = 7,76$$

По этим же данным константы гидролиза свинца (II) были рассчитаны Бугаевским А. А. и Холиным Ю. В. на кафедре химической метрологии Харьковского госуниверситета по нашей просьбе.

На основе вычисленных констант устойчивости с применением уравнений (4) — (6) можно вывести формулы для расчета соотношения существующих форм свинца в системе Pb^{2+} — OH^- в %-ах:

$$Pb^{2+} = \frac{100}{1 + \beta_{1,1}[OH^-] + \beta_{1,2}[OH^-]^2} \quad (10)$$

$$PbOH^+ = \frac{\beta_{1,1}[OH^-] \cdot 100}{1 + \beta_{1,1}[OH^-] + \beta_{1,2}[OH^-]^2} \quad (11)$$

$$Pb(OH)_2^o = \frac{\beta_{1,2}[OH^-]^2 \cdot 100}{1 + \beta_{1,1}[OH^-] + \beta_{1,2}[OH^-]^2} \quad (12)$$

Из полученные данных (рис. 2) видно, что в условиях pH, характерных для природных вод Грузии, доминирующей гидроксоформой является $Pb(OH)_2^o$.

Тбилисский государственный университет
им. И. Джавахишвили

Поступило 20.12.1989

ქ. თურქია, გ. სუპათაშვილი, გ. ვარშალი, გ. მახარაძე,
ჭ. ჩიტიაშვილი

ტეზის (II) იონების აონოზიდობის განხავებულ სინარჩუნი

რ ე ზ ი უ მ ე

შესწავლილია ტყვის (II) ჰიდროლიზი ხსნადობის მეთოდით განხავებულ ხსნარებში, ბუნებრივი წყლებისათვის დამახსიათებელ pH-ზე. ლედენის მეთოდით დადგენილია ჰიდროლიზის მდგრადობის მუდმივები და საფეხურებრივი კონსტანტები. მიღებული შედეგების საფუძველზე გამოთვლილია ტყვის არსებობის ფორმები Pb^{2+} — OH^- სისტემისათვის.

ZH. G. GURJIA, G. D. SUPATASHVILI, G. M. VARSHAL
G. A. MAKHARADZE, Z. D. CHITIASHVILI

MONOHYDROLYSIS OF LEAD (II) IN DILUTED SOLUTIONS

S u m m a r y

The monohydrolysis of lead (II) in diluted solutions over pH range-specific for natural waters, has been studied by solubility method. The stability constants of hydrolysis have been obtained by Ledens method forms of lead hydroxocomplexes in Pb^{2+} — OH^- system have been established

1. Silien L. G., Martell A. E. Chem. Soc. Spec. Publ., 1971, № 25, London, 865.
 2. Назаренко В. А., Антонович В. П., Невская Е. М. Гидролиз ионов металлов в разбавленных растворах. М.: Атомиздат, 1979, 192.
 3. Вепес Н., Kristofirova Z., Obdrzabek., Journ. Radioanal. Chem., 1979, 54, № 1—2, 15—26.
 4. Тугаринов И. А., Ганеев И. Г., Ходаковский И. Л. Геохимия, 1975, 9, 1345—1354.
 5. Калякин Ю. Ю., Ангелов И. И. Чистые химические вещества. М.: Химия, 1974, 408.
 6. Супаташили Г. Д., Шармиашвили Л. Д., Гурджия Ж. Г., Асамбадзе Г. Д., Тр. ТГУ, 1984, 248, 9—17.
 7. Теннант-Смит Дж. Бейсик для статистиков. М.: Мир, 1988, 208.
-

УДК 546.19

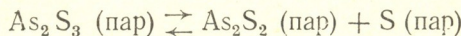
В. Г. ГВАХАРИЯ, Р. Д. ГИГАУРИ, Г. Н. ЧАЧАВА, Э. С. ВАЧНАДЗЕ,
Н. И. ГУРГЕНИДЗЕ

КОЛИЧЕСТВЕННОЕ ОПРЕДЕЛЕНИЕ РЕАЛЬГАРА И АУРИПИГМЕНТА ПРИ ИХ СОВМЕСТНОМ ПРИСУТСТВИИ

Мышьяк относится к числу сравнительно мало распространенных элементов. Среднее его содержание в земной коре оценивается в 2.10⁻⁴% [1]. Сравнительно большим содержанием мышьяка отличается Закавказье, и, особенно, территория Грузии [2—5]. В горнорачинском рудном районе наиболее значительным является Лухумское месторождение, расположеннное в ущелье р. Маднис-Геле [6, 7]. В пределах Главной рудной зоны выделяются пять рудных тел, из которых четыре являются реальгаром (As_2S_2) — аурипигментными (As_2S_3), а пятое — антимонит-реальгарным. Следовательно, мышьях, как типичный халькофильный элемент, в природе в основном встречается в виде аурипигмента и реальгара, т. е. в виде сульфидов и сульфосолей [6].

С другой стороны, за последнее время сульфид мышьяка (III) (техническое название — аурипигмент) широко применяется в качестве оптических сред в инфракрасной технике [8]; благодаря своим полупроводниковым свойствам — в радиоэлектронике для изготовления пороговых переключателей и ячеек памяти [9]; в телевизионной технике [10], в электрографии и ксерографии, а также для изготовления модуляторов лазерного излучения. Исходя из этого, разработано несколько способов его получения [11—13], в том числе особо чистого. Однако, к сожалению, выпускаемый отечественной промышленностью трехсернистый мышьяк не всегда позволяет получить стекла удовлетворительного качества. Так что, любая партия аурипигмента, полученная любым методом синтеза или непосредственно из природных месторождений, в конечном счете сводится к необходимости тщательной очистки конечного продукта — трехсернистого мышьяка от ряда примесей, образующихся в процессе производства. Из всех известных методов очистки дистилляционный (перегонка, дистилляция, ректификация) метод очистки обеспечивает более всего необходимую степень чистоты аурипигмента [14, 15]. Дело в том, что при высокотемпературной ректификации может быть совмещена перегонка сульфида мышьяка (III) с ректификационной очисткой последнего и одновременным отбором аурипигмента и реальгара высокой чистоты.

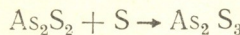
Однако, как выясняется [14, 15], и дистилляционный метод очистки имеет свой недостаток: часть аурипигмента при температуре перегонки (несмотря на пониженное давление) подвергается разложению с образованием аурипигмента и серы:



В результате на заводах (например, на Рачинском ГХЗ) постепенно накапливаются тоннами отходы, содержащие в основном реальгар и аурипигмент (сера, как сравнительно легкокипящая, почти полностью удаляется). До настоящего времени упомянутые отходы производства трехсернистого мышьяка высокой чистоты непосредствен-



но ни в чем не применяются из-за многих причин. Во-первых, они не имеют постоянного состава: процентное соотношение доминирующих составных частей — аурипигмента и реальгара — меняется в широких пределах, о чем свидетельствует разное содержание (общее) мышьяка; во-вторых по сей день не разработана удовлетворительная методика количественного анализа реальгара (или аурипигмента) в указанных отходах, чтобы можно было рассчитать количество серы, необходимое для получения трехсернистого мышьяка по реакции:



В основном, именно поэтому эти отходы обычно сжигают, в результате чего получают «белый мышьяк» более высокой чистоты, чем при сжигании собственно мышьяковых руд.

В настоящей работе нами теоретически обоснована и на практике проверена возможность количественного анализа реальгара (или аурипигмента) в природных объектах и отходах производства трехсернистого мышьяка высокой чистоты при условии, что анализируемая проба должна быть только двухкомпонентной. Здесь же заметим, что с таким же подходом можно установить химический состав любых мышьяксодержащих двухкомпонентных систем, если химическая формула каждого соединения заранее известна.

Ниже приводятся подход к теоретическому расчету количественного содержания реальгара в исследуемых смесях, вывод соответствующей формулы и результаты практического анализа.

Допустим, что г г навески, состоящие из реальгара и аурипигмента, содержат x г As_2S_2 , тогда, очевидно, As_2S_3 будет $(g-x)$ г. Следовательно, процентное содержание (y), например, реальгара в исследуемой смеси будет

$$g = \frac{100 \cdot x}{g} \% \quad (1)$$

Не трудно вычислить содержание мышьяка ($y_1, \text{г}$) в $x \text{ г } \text{As}_2\text{S}_2$:

$$y_1 = \frac{149,94}{213,97} x, \quad \text{T. e.}$$

$$y_1 = 0,7003 \cdot x \quad (2)$$

Аналогично, $(g-x)g$ As_2S_3 содержит

$$y_2 = \frac{149,84}{246,04} (g-x), \text{ t. e.}$$

$$y_2 = 0,6090 (g - x) \text{ g As} \quad (3)$$

Чтобы вычислить общее процентное содержание мышьяка [Z] в пробе, составляем пропорцию:

$$\text{отсюда } z = 100 \frac{y_1 + y_2}{g},$$

Если примем во внимание значения y_1 и y_2 из уравнений (2) и (3) соответственно, получим:

$$z = \frac{100 [0,7003 x + 0,6090 (g - x)]}{g}$$

$$z = \frac{9,13x + 60,90g}{g} ,$$

$$x = \frac{(z - 60,90)g}{9,13} \quad (5)$$

Поставив (5) в (1), находим числовое значение содержания реальгара в исходной смеси:

$$y = \frac{100}{g} \cdot \frac{(z - 60,90)g}{9,13} ; \quad y = 10,95 (z - 60,90)\% \text{ As}_2\text{S}_2 \quad (6)$$

Таким образом, если мы знаем общее процентное содержание мышьяка в смеси реальгара и аурипигмента, по формуле (6) легко можно рассчитать долю реальгара в ней. Очевидно, процентное содержание аурипигмента будет:

$$E = (100 - y)\% , \text{ As}_2\text{S}_3 \quad (7)$$

Выведенные формулы (6) и (7) показывают, что определение процентных содержаний As_2S_2 и As_2S_3 в их природных смесях и в отходах производства аурипигмента высокой чистоты не является сложным, если соблюдены два условия:

1. исходная смесь должна быть только двухкомпонентной;
2. должно быть известно общее процентное содержание мышьяка в ней.

Анализ смеси реальгара и аурипигмента на мышьяк

Нужды различных отраслей промышленности, охрана окружающей среды и прикладные использования мышьяксодержащих соединений предъявляют аналитической химии мышьяка большие требования. С целью количественного определения мышьяка в объектах после их предварительной обработки чаще всего используются окислительно-восстановительные процессы, где мышьяк выступает в своих основных степенях окисления: As^{3+} и As^{5+} [16]. Причем, все методы титриметрического анализа мышьяка (III) основаны на взаимодействии исследуемой пробы с различными окислителями, а пятивалентный мышьяк определяют или весовым методом, например, в виде пироарсената магния, или титрованием иода, выделенного из иодистого калия мышьяковой кислотой в сильно солянокислой среде.

В исследуемых пробах общее содержание мышьяка нами было определено по методу Эвинса [17]. Следует отметить, что по этой методике мышьяк обычно определяют в органических соединениях. Поскольку метод Эвинса нами впервые был использован с целью количественного анализа мышьяка в неорганических соединениях, не будет лишним более подробно остановиться на нем.

Анализируемое вещество в колбе Кьелдаля разлагают концентрированной серной кислотой в присутствии крахмала и сульфата или гидросульфата калия. Колбу нагревают на бунзеновской горелке; если смесь вспенивается, горелку отставляют. Когда бурная стадия реакции закончится (на что уходит 10–15 минут), продолжают энергичное нагревание до тех пор, пока жидкость не станет бесцветной. Образующуюся в результате реакции мышьяковистую кислоту титруют 0,05 N раствором иода в слабощелочной среде:



Процентное содержание мышьяка вычисляют по формуле:

$$\% \text{ As} = \frac{0,1873 \gamma}{g} , \quad (8)$$

где γ — объем 0,05 N раствора иода, мл; g — навеска анализируемого вещества, г.

Загрузка исходных проб и результаты количественного анализа мышьяка в смеси приведены в табл. 1, которые были заранее приготовлены в широких пределах. По формуле (8) экспериментально находили общее содержание мышьяка в пробах, а процентное содержание реальгара — по (6).

Из данных табл. 1 выясняется, что экспериментально найденные значения содержания мышьяка в смесях хорошо ($\pm 0,20\%$) согласуются с теоретическими, что объясняется универсальностью метода Эвинса. Из этих данных видно и то, что точность определения не зависит от соотношения составных компонентов. Отклонение найденных процентных содержаний реальгара (или аурипигмента) колеблется в пределах $\pm 2,50\%$, что, очевидно, можно считать удовлетворительными для способа иодометрического титрования.

Таблица 1

Загрузка исходных соединений и результаты количественного анализа реальгара

Состав смеси		A+B	Результаты анализа As в смесях, %		Процентное содержание As ₂ S ₂	
As ₂ S ₂ (A)	As ₂ S ₃ (B)		Найдено	Вычислено	Найдено	Вычислено
0,0813	0,0137	0,0950	68,83	68,63	85,58	86,83
0,0615	0,0231	0,0846	67,74	67,61	72,69	74,90
0,0529	0,0262	0,0791	67,18	67,00	66,88	68,76
0,0475	0,0417	0,0892	65,60	65,81	53,25	51,57
0,0388	0,0531	0,0919	64,64	64,74	42,22	40,95
0,0246	0,0583	0,0829	63,37	63,57	29,67	27,05
0,0192	0,0635	0,0827	63,22	63,00	23,22	25,40
0,0120	0,0792	0,0912	62,16	62,06	13,16	13,80

Тбилисский государственный университет
им. И. Джавахишвили

Поступило 26.02.90

З. 83262602, Р. 8082402, З. 818282, Г. 828282, Б. 8782602

რეალგარისა და აურიბიგმენტის რაოდენობრივი განსაზღვრა
გათი ურთიერთანაბრძობისას

რეალგარი

რეალგარი (As₂S₂) და აურიბიგმენტი (As₂S₃) ბუნებაში თანმდევ მინერალებს წარმოადგენენ. უფრო მეტიც, დარიშხანის (III) სულფიდის წარმოებისას ხევებული ნაერთები გამოდიან ტექნიკური პროცესიდან და ქნიან წარმოების ნაჩენებს. ცხადია, მათი რაოდენობრივი განსაზღვრის ახალი მეთოდების დამუშავება ერთ-ერთი აქტუალური საკითხია დარიშხანის ანალიზურ ქიმიაში.

შემუშავებულია რეალგარის და აურიბიგმენტის რაოდენობრივი განსაზღვრის ახალი მეთოდი მათი ურთიერთანაბრძობისას. ნაჩენებია, რომ As₂S₂ და As₂S₃ რაოდენობრივად შეიძლება განისაზღვროს იოდომეტრული ტიტორით, თუ სისტემა მხოლოდ ორკომპონენტიანია. გამოყვანილია მათი განსაზღვრის ფორმულა. ექსპერიმენტულად ნაპოვნი პროცენტული შემცველობა თეორიულთან შედარებით მერყეობს $\pm 2,50\%$ საზღვრებში.



THE QUANTITATIVE DETERMINATION OF RED AND YELLOW ARSENIC IN THEIR JOINT PRESENCE

Summary

The red arsenic (As_2S_2) and the yellow arsenic (auripigment, As_2S_3) are attendant minerals. Moreover, these compounds form production waste during the production of arsenic (III) sulfide. It is obvious, that the elaboration of new technique for quantitative determination of these materials has a great importance for arsenic analytical chemistry.

The unique method of quantitative determination of red arsenic and auripigment in their joint presence is worked out. It's shown, that at bicomponent system As_2S_2 and As_2S_3 can be quantitatively determined by iodometric titration. The equation for their determination has been drown out. The difference between experimentally obtained percentage and the theoretic one fluctuates in the range of $\pm 2.5\%$.

ЛІТЕРАТУРА — REFERENCES

1. Виноградов А. П. Геохимия, 1956, 1, 5—52.
2. Мосешвили Я. П., Джохадзе Г. М. Исследование мышьяка в природных объектах Хашурского района. Труды ТГУ. 1964, т. 104, 11—15.
3. Мосешвили Я. П., Джохадзе Г. М. Исследование мышьяка в природных объектах окрестностей Тбилиси. Труды ТГУ, 1964, т. 104, 17—21.
4. Мосешвили Я. П., Джохадзе Г. М. Мышьяк в горных породах некоторых районов Грузии. Труды ТГУ, 1968, т. 126, 19—23.
5. Мосешвили Я. П., Джохадзе Г. М. Исследование мышьяка в некоторых рачинских минералах и пресных водах. Труды ТГУ, 1961, т. 80, 49—57.
6. Геология СССР. Грузинская ССР. Полезные ископаемые. М.: Недра, 1974, т. X, 169—175.
7. Алибегашвили Б. А. Дисс. канд. геолого-минерал. наук. Тбилиси, ТГУ, 1969, 177.
8. Patent of the USA 3370964. Cl : 106 — 47 Glasses and Method of Making Same.
9. Мюллер Р. Д. В кн.: Химия твердого тела. Л., 1965, с. 9, 63.
10. Айо Л. Г., Кокорина В. Ф. Оптико-механ. пром., 1963, 2, 36—43.
11. Лукьянин П. М. Курс химической технологии минеральных веществ. М.: Госхимиздат, 1933, 193.
12. Калякин Ю. В. Чистые химические реактивы. М.: Госхимиздат, 1947, 347.
13. Борисова З. У. Химия стеклообразных полупроводников. Изд. Ленинградского университета, 1972, 50.
14. Куадже Б. М., Кудрявцев А. А. Химическая промышленность, 1974, 7, 54—57.
15. Безобразов Е. Г. Химическая промышленность, 1974, 4, 61—62.
16. Немодрук А. А. Аналитическая химия мышьяка. М., 1976.
17. Фрейдлина Р. Х. Синтетические методы в области металлоорганических соединений мышьяка. Изд. АН СССР, М.—Л.: 1945, 164.

ОРГАНИЧЕСКАЯ ХИМИЯ

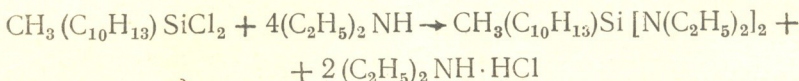
УДК 542.91:547.1.128

М. Г. КАЦИТАДЗЕ, Л. И. НАКАИДЗЕ, Т. В. ЧОГОВАДЗЕ,
Л. М. ХАНАНАШВИЛИ

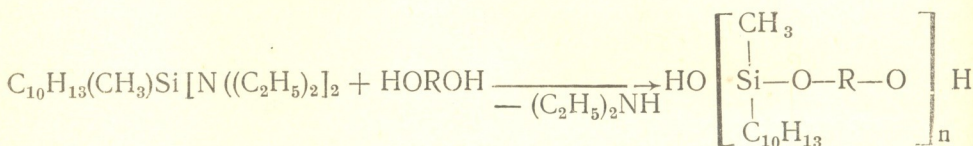
ПОЛИКОНДЕНСАЦИЯ БИС(ДИЭТИЛАМИНО) МЕТИЛТРИЦИКЛОДЕЦЕНИЛСИЛАНА С АРОМАТИЧЕСКИМИ И КРЕМНИЙОРГАНИЧЕСКИМИ ДИОЛАМИ

Равновесная поликонденсация α,ω -диаминодиорганосиланов с ароматическими и кремнийорганическими диолами, в отличие от реакции полимеризационной конденсации, дает возможность в широких пределах варьировать соотношения силоксановых и ариленовых фрагментов в составе полимера. Проведенная работа посвящена синтезу и исследованию свойств кремнийорганических олигомеров, полученных высокотемпературной поликонденсацией бис(диэтиламино)метилтрициклоценилсилана с 4,4¹-диоксидифенилпропаном, олигокарбонатдиолом и α,ω -дигидроксидиметилсилоксантами.

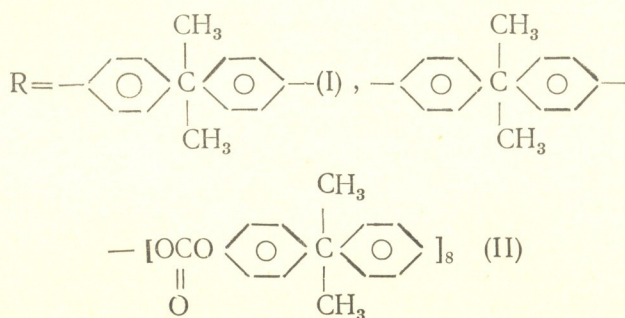
Бис(диэтиламино)метилтрициклоценилсилан получен по методике [1].

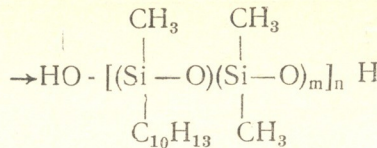
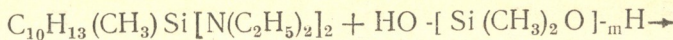


Поликонденсацию вышеуказанного диамина с диолами проводили в блоке до полного прекращения выделения диэтиламина при мольном соотношении исходных компонентов 1:1. Было установлено, что при нагревании (160—180°) исходных компонентов протекает реакция гетерофункциональной поликонденсации с выделением диэтиламина и образованием олигомеров по следующим схемам:



где





$$m=12(III), 35(IV), 72(V)$$

Исследование реакции гетерофункциональной поликонденсации показало, что имеется определенная зависимость между нарастанием вязкости продукта поликонденсации и количеством выделяющегося в ходе реакции диэтиламина (рис. 1). Так, наблюдение за ходом реак-

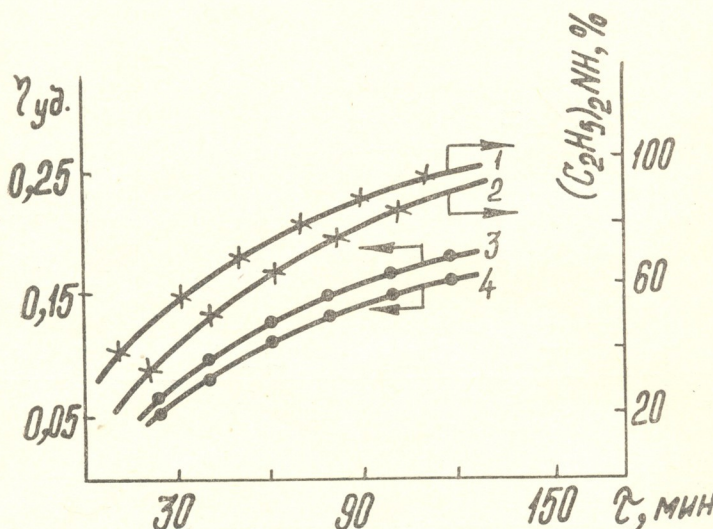


Рис. 1. Изменение удельной вязкости 1%-го раствора олигомеров (в бензоле) и количество выделившегося диэтиламина в процессе поликонденсации бис(диэтиламино)метилтрициклогексенилсилина с ароматическими диолами. 1,3 — с 4,4¹ — диоксидифенилпропаном, 2,4—с олигокарбонатдиолом($n=8$)

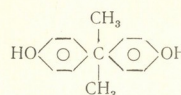
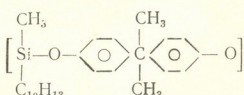
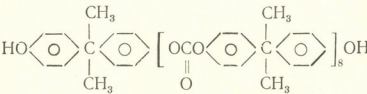
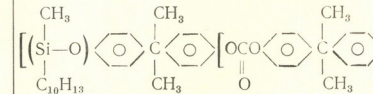
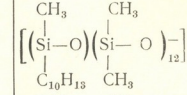
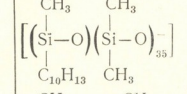
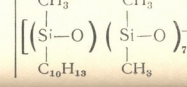
ции поликонденсации по изменению удельной вязкости 1%-го раствора образующегося олигомера в бензоле и за выделением диэтиламина во времени показало, что вязкость продукта поликонденсации возрастает по мере увеличения количества выделяющегося диэтиламина.

Синтезированные олигомеры на основе органических диолов представляют собой порошкообразные, а олигомеры на основе кремнийорганических диолов — каучукоподобные продукты янтарного цвета, причем олигомеры I, II, V хорошо растворимы в аprotонных растворителях, тогда как, олигомеры III, IV — трудно растворимые, набухающие вещества.

В таблице приведены условия реакции бис(диэтиламино)метилтрициклогексенилсилина с ароматическими и кремнийорганическими диолами и некоторые свойства полученных олигомеров.

В ИК-спектрах олигомеров I—V, наряду с полосами поглощения, характерными для групп Si—CH₃ (790, 1260, 840 cm⁻¹), обнаружены интенсивные полосы поглощения в области 998 и 1250 cm⁻¹, соответствующие группами Si—O—C (олигомеры I, II) и в области 1030—1080 cm⁻¹, соответствующие связям Si—O—Si (олигомеры III, IV, V).

Условия реакций бис(диэтиламино), метилтрициклогексенилсилана с ароматическими и кремнийорганическими диолами и некоторые свойства полученных олигомеров

№	Исходный диол	Т-р реакц, °C	Время реак- ции, ч	Кол. выде- лыв. (C ₂ H ₅) ₂ NH, %	Элементарное звено олигомеров			T _c , °C
						Выход,%	η _{уд} 1% р-ра толуола	
I		160—170	2	96		98	0,17	+ 70
II		160—170	2	92		89	0,15	+ 64
III	HO[Si(CH ₃) ₂ O] ₁₂ H	160—170	2	94		85	—	— 8
IV	HO[Si(CH ₃) ₂ O] ₃₅ H	170—180	3	95		96	—	-112
V	HO[Si(CH ₃) ₂ O] ₇₂ H	170—180	3	95		97	0,23	-114

Характер термомеханических кривых олигомеров зависит от строения диола. Как видно из рис. 2, олигомеры III, IV и V имеют низкие температуры стеклования в области отрицательных температур ($T_c = -112 - 114^\circ$).

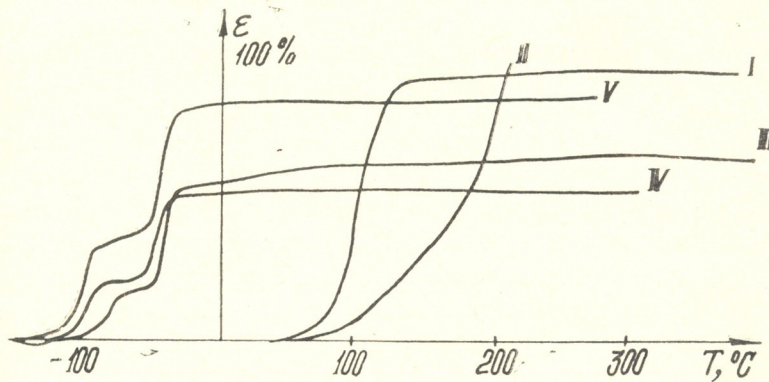


Рис. 2. Термомеханические кривые олигомеров

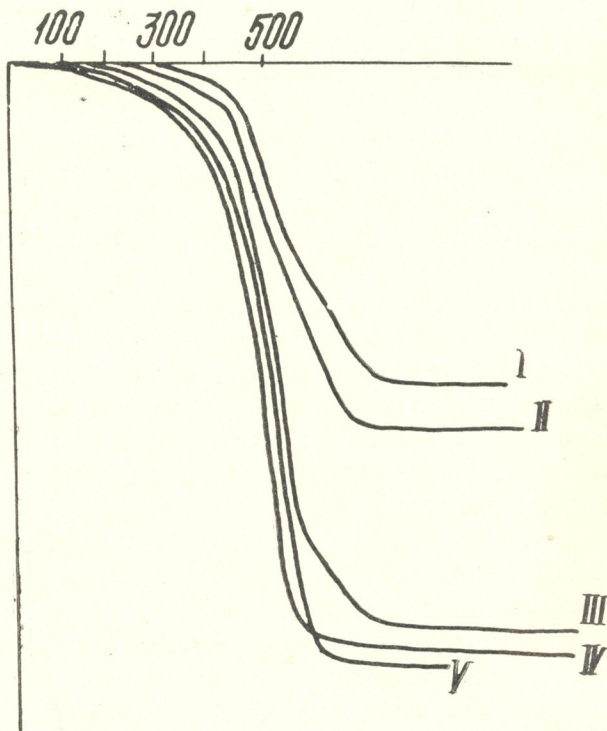


Рис. 3. Термогравиметрические кривые олигомеров

Данные ТГА (рис. 3) показывают, что потеря массы олигомера I на основе 4,4'-диоксидифенилпропана при 350° составляет не более 5%, в то время, как олигомеры на основе кремнийорганических диолов (III—V) уже при 300°C теряют массу в пределах 8—10%.

Поликонденсация бис(диэтиламино)метилтрициклогексенилсилана с 4,4¹-диоксидифенилпропаном. В трехгорлую колбу, снабженную мешалкой, термометром и прямым холодильником с приемником для выделившегося диэтиламина, помещали 2,64 г (0,008 М) бис(диэтиламино)метилтрициклогексенилсилана и 1,9 г (0,008 М) 4,4¹-диоксидифенилпропана. Реакционную смесь нагревали при постоянном перемешивании при 160—170°С в течение 2 ч. После прекращения выделения диэтиламина, количество которого к концу реакции составляло 1,2 г, реакционную массу выдерживали при температуре 170—180° (1 мм). Было получено 3,15 г (98%) олигомера I. Найдено, %: С 75,47; Н 7,70; Si 6,84·C₂₆H₃₀Si₁O₂. Вычислено, %: С 76,1; Н 7,70; Si 7,67.

Поликонденсация бис(диэтиламино)метилтрициклогексенилсилана с олигокарбонатдиолом (n=8). Реакцию проводили по вышеописанному методу. В колбу помещали 3,4 г (0,01 М) бис(диэтиламино)метилтрициклогексенилсилана и 42,4 г (0,01 М) олигокарбонатдиола. Смесь нагревали при 160—170° в течение 2 ч. После прекращения выделения диэтиламина, количество которого к концу реакции составляло 1,5 г, реакционную массу выдерживали при 170—180° (1 мм). Было получено 21,9 г (85%) олигомера II. Найдено, %: С 40,1; Н 8,2; Si 31,5·C₁₅₄H₁₄₂Si₁O₂₆. Вычислено, %: С 39,30; Н 8,3; Si 32,92.

Поликонденсация бис(диэтиламино)метилтрициклогексенилсилана с α,ω-дигидроксидиметилсилоксаном (n=12). Реакцию проводили по вышеописанному методу. В колбу помещали 3,9 г (0,01 М) бис(диэтиламино)метилтрициклогексенилсилана и 5,52 г (0,01 М) α,ω-дигидроксидиметилсилоксана (n=12). Смесь нагревали при постоянном перемешивании при 160—170° в течение 2 ч. После прекращения выделения диэтиламина, количество которого к концу реакции составляло 1,6 г, реакционную массу выдерживали при температуре 170—180° (1 мм). Было получено 11 г (85%) олигомера III. Найдено, %: С 38,7; Н 8,1; Si 31,56. C₃₅H₈₈Si₁₃O₁₃. Вычислено, %: С 39,30; Н 8,3; Si 32,92.

Поликонденсация бис(диэтиламино)метилтрициклогексенилсилана с α,ω-дигидроксидиметилсилоксаном (n=35). Смесь 3,6 г (0,01 М) бис(диэтиламино)метилтрициклогексенилсилана и 29,2 г (0,01 М) α,ω-дигидроксидиметилсилоксана (n=35) нагревали при постоянном перемешивании при 170—180° в течение 3 ч. После прекращения выделения диэтиламина, количество которого к концу реакции составляло 1,6 г, реакционную массу выдерживали при 170—180° (1 мм). Было получено 26,5 г (95%) олигомера IV. Найдено, % С 33,97; Н 8,0; Si 35,76. C₈₁H₂₂₆Si₃₆O₃₆. Вычислено, %: С 34,88; Н 8,18; Si 36,26.

Поликонденсация бис(диэтиламино)метилтрициклогексенилсилана с α,ω-дигидроксидиметилсилоксаном (n=72). Смесь 3,4 г (0,01 М) бис(диэтиламино)метилтрициклогексенилсилана и 55,5 г (0,01 М) α,ω-дигидроксидиметилсилоксана (n=72) нагревали при постоянном перемешивании при 170—180° в течение 3 ч. После прекращения выделения диэтиламина, количество которого к концу реакции составляло 1,4 г, реакционную массу выдерживали при 180° (1 мм). Было получено 55,9 г (97%) олигомера V. Найдено, %: С 35,5; Н 8,0; Si 35,7. C₁₅₅H₄₄₈Si₇₃O₇₃. Вычислено, %: С 34,09; Н 8,28; Si 36,22.

გის(დიათილამინი) გეთილტრიციკლოდეცილის პოლიკონდენსაცია
არომატულ და ცილიციუმორგანულ დიოლებთან

რეზიუმე

განხორციელებულია ბის(დიეთილამინი) მეთილტრიციკლოდეცინილსილანის პოლიკონდენსაცია 4,4'-დიօქსიდიფენილბრონანთან, ოლიგოკარბონატდიოლთან ($n=8$) და ოლიგოდიმეთილსილოქსანურ დიოლებთან. გამოყოფილია და შესწავლილია სილიციუმორგანული ოლიგომერები ტრიციკლოდეცინილის რადიკალებით სილიციუმის ატომთან.

M. G. KATSITADZE, L. I. NAKAIDZE, T. V. CHOGOVADZE,
L. M. KHANANASHVILI

THE POLYCONDENSATION OF BIS (DIETHYLAMINO)- METHILTRICYCLOCODECENILSILANES WITH AROMATIC AND SILICONORGANIC DIOLS

Summary

Polycondensation of bis (diethylamino) methyltricyclodecenilsilanes was carried out with 4,4'-dioxydiphenylpropanes, oligocarbonatdiols ($n=8$) and olygodimethylsiloxanediols. The oligomers with tricyclodecenil radicals of silicon atoms were synthesised and studied.

ლიტერატურა — REFERENCES

1. Ногайдели Г. А. Автореф. канд. дисс. Тбилиси, 1976, 22 с.

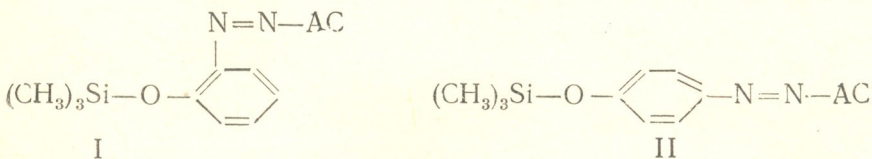
UDC 668.811:547.245

G. G. CHIRAKADZE, P. N. APKHAZAVA, T. G. KARKUSASHVILI

TRIMETHYLSILYLOXYPHENYL CONTAINING AZO DYES.
SYNTHESIS AND PROPERTIES

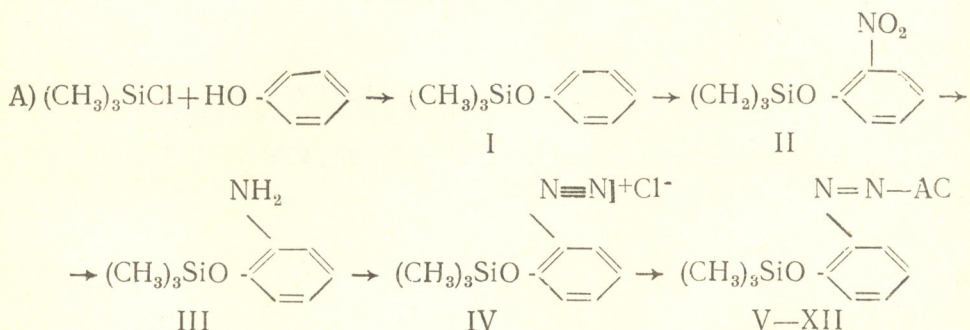
There is a growing interest in the synthesis of some silica containing synthetic dyes, which combine the properties of silica organic substances and dyes [1]. These dyes have a very perspective application [2].

Continuing our investigations on the synthesis of silica containing azo dyes for synthetic fibres and natural hydrosilicates [3,4] we have obtained a series of new monoazodyes of general structures I and II:



where AC=azo components

The sequence of reactions used in the synthesis is shown in schemes A and B



B) $(\text{CH}_3)_3\text{SiCl} + \text{NaO}-\text{C}_6\text{H}_4-\text{NO}_2 \rightarrow (\text{CH}_3)_3\text{SiO}-\text{C}_6\text{H}_4-\text{NO}_2$ the remainder compounds (III', IV', V', XII') were described for A.

Where AC=1/2—hydroxynaphthalene H acid, 1,2/1,3--dihydroxybenzenes, 2—hydroxybenzoic acid, 3—aminohydroxybenzene, sodium naphtionate, indole.

EXPERIMENTAL

o—Trimethylsilyloxybenzene (I) was prepared as described in refs [3,4] in yield 80—85% and purified by repeat distillation.

Synthesis of Trimethylsilyloxy (o-nitro)benzene (II). A 100 mL flask fitted with a mechanical stirrer, dropping funnel and cooled in ice—water bath was charged with (II)—0.2 m and at the temperature 7—10°C was

added dropwise over a period of 1 h. nitration mixture: fuming HNO_3 (98%) and AcOH (98—100%) in ratio 1:1.25 v/v. The mixture was stirred vigorously at the temperature up 5°C for 3 h. After being stirred the mixture was steam distilled till the forming of yellow crystals ended. The distillate was neutralized with 10% solution of sodium hydroxide. The yellow crystals were filtered out on the Buchner funnel and thoroughly washed with little amount of cold water, air-dried between filter papers, yielded in 90% (constants are given in Table 1).

*Synthesis of Trimethylsilyloxy (*p*-nitro)benzene (II').* A 3-necked flask fitted with mechanical stirrer, reflux condensor and dropping funnel was charged with 0.2 m of dried sodium nitrophenolate in 200 ml of n-hexane. The mixture was cooled (cold water) and stirred. 0.2 m of fresh—distilled trimethylchlorsilane was added dropwise. The mixture was stirred 2 h during on the boiled-water bath. After being heated the mixture was hot-filtered, 100 ml of n-hexane was distilled cut and poured into evaporating basin. The yellowish crystals were formed. After crystallisation the (II') was obtained in 85% yield (constants are shown in Table 1).

Table 1
Composition of Half products

No ^a Compounds	bp, $^\circ\text{C}$	mp, $^\circ\text{C}$	ν , cm^{-1}	C, % calc. found	H, % calc. found	N, % calc. found	Si, % alc. found
I Trimethylsilyloxy-benzene	172— 175	—	756, 841, 920, 1160, 1480, 1580	65,01 65,43	8,49 8,36	— —	16,89 17,01
II Trimethylsilyloxy-(<i>o</i> —nitro)benzene	—	49— 52	750, 870, 960, 1160 1245, 1470, 1525, 1330	51,16 51,40	6,20 6,03	6,63 6,83	13,29 13,11
II' Trimethylsilyloxy-(<i>p</i> —nitro)benzene	—	103— 105	756, 860, 955, 1160, 1480, 1520, 1330	51,16 51,67	6,20 6,10	6,63 6,42	13,29 13,26
III Trimethylsilyloxy-(<i>o</i> —amino)benzene	—	144— 147	756, 840, 960, 1160, 1020, 1470 3320	59,62 60,03	8,34 8,16	7,73 7,83	15,49 14,96
III' Trimethylsilyloxy-(<i>p</i> —amino)benzene	—	118— 120	750, 870 960, 1156, 1480, 1570, 3320	59,62 59,98	8,34 8,43	7,73 7,64	15,49 15,43

a) corresponds to Schemes A and B

Synthesis of aminocompounds. General procedure. *Trimethylsilyloxy (*o*-amino) benzene.* 100 ml 3-necked flask fitted with mechanical stirrer, reflux condensor and dropping funnel was charged with 0.02 m of (II), 0.02 m of needles Nickel and 15 ml of ethanol. Stirring was commenced and at temperature $60—70^\circ\text{C}$ (water bath), the mixture of 0,02 m hydrazine hydrate and 5 ml of ethanol was added dropwise. After being added the mixture was heated on the boiled water-bath for a period of 2 h. The reaction was

controlled by TLC analysis. The mixture was filtered. After being cooled the yellowish solid was formed. Crystals were filtered, washed with cold ethanol and dried in the desiccator over CaCl_2 . After crystallization from cold ethanol (III) was obtained in yield 80—85% as a pale yellow solid (constants are given in Table 1).

Compound (III') was prepared according to general procedure in 84% yield. The 70% of pure material was obtained after crystallization (Constants are given in Table 1).

Diazotization and coupling. General Procedure (IV, IV', V-XII, V'-XII'). These reactions were carried out by established procedure used for similar diazo and coupling components to those employed in this present investigation. 0,003 m of (III/III'), 8 ml of water and 0,5 ml of 36% HCl were charged in a beaker. After cooling this solution down to 0°C, 0,003 m of sodium nitrite in 2 ml of water was added dropwise for a further 10—15 min. The diazotization process was controlled with potassium iodide—starch paper. The resulting diazonium salt was added dropwise at 0—5°C into the preliminary cooled solutions of the coupling agents. The coupling reaction was carried out for further 4—5 h. The precipitated dyes were filtered off, washed with water or organic solvents and air-dried. Dyes were purified by column chromatography on silica gel L 100/250. Dyes were eluted with different solvents hexane, benzene, hexane/acetone (10/1), benzene/acetone (10/1), ethyl acetate/ethanol (8/1).

Diazotization in nonaqueous area. The dyes IX and IX' were prepared in glacial acetic acid [5]. The diazotization reaction for the dyes VIII and VIII' was carried out using glycolnitrite at the temperature 20—30°C [6]. In this case the dyes were obtained in 90—95% yield. The main constants of the synthesized dyes are given in the Table 2.

RESULTS AND DISCUSSION

The silica containing azo dyes described above (mainly disperse) were obtained at high yields(75—90%) by coupling of diazotized trimethyloxy-(o/p-amino)benzene with different azo compounds. The method of diazotization had a considerable influence on the yield of the coupling reactions and on the colour of the prepared dyes. It was found that the dyes synthesized in non aqueous solutions were purer more crystalline and have deeper colour, than those obtained by general method.

All synthesized dyes have absorption bands confirming their aromatic structure and the presence of functional groups. All the dyes have an absorption band in the range :750—756, 860—870; 920—960, 1160—1162; 1020—1245, 1470—1480; 1440—1460 cm^{-1} which are characteristic for stretching or bending vibrations of $\text{Si}(\text{CH}_3)_3$; Si-O-C; C aromatic and —N-N-groups respectively. Sometimes there are overlapping absorption bands attributed to the aromatic ring-

In the next part of the investigations we measured the visible spectra of the dyes. Most of the discussed dyes have one absorption band in the visible range. It was found that the colour of the dyes changes in different solvents. The presence of the azo group in the ortho-position to the aromatic ring connected with trimethylsilyl fragments results in a bathochromic shift, relative to the dye from para substituted half products.



Properties of Monoazo Dyes [V—XII, V'—XII"]^a Containing
Trimethylsilyloxyphenyl Fragments

N ^b	Azo component	M	max., nm (1/m cm)	ν , cm ⁻¹	Colour	N% calc. found	Si% calc. found
V	2-hydroxynaphthalene	336	320 (6000)	756, 841, 1480, 1560, 920, 1160, 1440	Purple	8.33 8.22	8.35 8.66
V'	2-hydroxynaphthalene	338	430 (3045)	750, 840, 920, 1160, 1480, 1580, 1448	Green yellow	8.33 8.13	8.35 8.35
VI	1-hydroxynaphthalene	334	450 (5000)	750, 870, 960, 1160, 1245, 1470, 1452	Yellow	8.33 8.25	8.35 8.48
VI'	1-hydroxynaphthalene	336	420 (8169)	756, 840, 960, 1160, 1245, 1470, 1460	Yellow	8.33 8.08	8.35 8.50
VII	H-acid	512	430 (1000)	—	Yellowish	8.21 8.04	5.49 5.68
VII'	H-acid	513	570 (7857)	—	Violet	8.21 8.08	5.49 5.72
VIII	1,3-dihydroxybenzene	302	430 (1810)	754, 840, 960, 1160, 1020, 1470, 1452	Orange	9.26 9.11	9.29 9.87
VIII'	1,3-dihydroxybenzene	300	390 (2810)	750, 870, 960, 1160, 1020, 1470, 1444	Orange	9.26 9.05	9.29 9.62
VIII ^c	1,3-dihydroxybenzene	300		750, 860, 950, 1162, 1020, 1470, 1446	Red	9.26 9.10	9.29 9.45
IX	Indole	312	500 (1744)	750, 841, 960, 1162, 1470, 1454, 3490	Darc red	13.58 13.03	9.08 9.32
IX'	Indole	312	480 (3488)	752, 856, 962, 1160, 1475, 1452, 3488	Red	13.58 13.12	9.08 9.26
IX ^d	Indole		450 (6500)				
X	2-hydroxybenzoic acid	332	440 (229)	752, 858, 958, 1162, 1455	Yellowish brown	8.48 8.12	8.50 8.77
X'	2-hydroxybenzoic acid	330	390 (5813)	750, 860, 952, 1162, 1458	Yellow	8.48 8.25	8.50 8.84
XI	Sodium naphtionate	415	450 (99)		Orange	9.60 9.28	6.42 6.72
XII	Sodium naphtionate	415	410 (313)		Brown	9.60 8.34	6.42 6.54
XII	1,3-aminohydroxybenzene	301	460 (13333)	756, 841, 956, 1160, 1245, 1470	Brown	13.94 13.29	9.32 9.51
XII'	1,3-aminohydroxybenzene	302	445 (8166)	750, 841, 960, 1162, 1480	Yellow	13.94 13.41	9.32 9.61

A — V-XII Diazocomponent IV; V'-XII' Diazocomponent, IV'

b — numaration as in Scheme A and B,

c — Diazo agent glycolnitrite; d—Diazotization in glacial Acon

The fastness of these dyed fabrics to the light, washing, perspiration etc are given in Table 3. In general some of the dyes havd good substantivity for the fibres, exhausting well to give bright dyeing of good



fastness to light, washing, perspiration. These dyes are used to dye polyamides and polyester fabrics and give brilliance of the colours.

The application properties of the synthesized dyes were also investigated. Although the analysis of the visible spectra showed that as a rule the

Table 3

Dyeing Properties of the Synthesized Dyes

Dye	Light fastness	Soap fast.	Acid fast.	Alkali fast.	Perspiration fastness	Organic solvents fast.
V/V'	4/4	5/5	1c/1c	1c/1c	5/5	5/4
VI/VI'	4/4	5/5	1c/1c	1c/1c	5/5	4/4
VII/VII'	4/3	5/5	/41k	5/4	5/4	5/4
VIII/VIII'	4/4	5/5	1c/1c	4/4	4/5	4/4
IX/IX'	4/4	5/5	4/1k	4/1k	5/5	5/4
X/X'	3/4	5/5	1k/4	3/4	4/4	3/4
XI/XI'	3/3	5/5	3/4	3/4	4/4	3/3
XII/XII'	4/3	5/5	1c/4	4/4	4/5	5/4

absorption of all dyes was similar, in practical dyeing tests on polyamides and polyester various results were obtained. Excellent brightness was achieved mainly with dyes displaying distinct and sharp absorption bands. In this connection it is probable, that the colour of the dye on the fibre is considerably influenced by the interaction between dye and fibre.

Georgian Technical University

Received 28.06.1991

გ. პირაკაძე, ვ. აფხაზავა, თ. ჭარჯულაშვილი

ტრიმეთილსილონდიფინილური აზოსაღებრების
სიცოცხლი და თვისებები

რეზიუმე

სინთეზირებულია ტრიმეთილსილონდიფინილური აზოსაღებრები შემდეგი სტრუქტურებით: $(\text{CH}_3)_3\text{Si} - \text{O} - \text{C}_6\text{H}_4 - \text{N}_2\text{AC}$, საღაც $\text{AC} = 1/2$ -ჰიდროქსინაფტალინი, H -მჟავა, $1,2/1,3$ -დიჰიდროქსიბენზოლი, 2 -ჰიდროქსიბენზომჟავა, 3 -ამინოჰიდროქსიბენზოლი, $\text{Na}-\text{ის}$ ნაფტიონატი და ინდოლი.

დამუშავებულია აზოსაღებრები აზოსაღებრების ნახევარბროლურებების სინთეზის მეთოდები. შესწავლილია სინთეზირებული საღებრების სპექტრული და ტექნიკური თვისებები.

მიღებული საღებრები გამოიყენებიან სინთეზური ბოჭკოების შესაღებად.

გ. გ. ЧИРАКАДЗЕ, П. Н. АПХАЗАВА, Т. Г. КАРКУСАШВИЛИ

СИНТЕЗ И СВОЙСТВА ТРИМЕТИЛСИЛИЛОКСИФЕНИЛ-СОДЕРЖАЩИХ АЗОКРАСИТЕЛЕЙ

Резюме

Синтезированы новые кремнийсодержащие азокрасители общей формулы $(\text{CH}_3)_3\text{SiO}_6\text{H}_4-\text{o/p-N}_2\text{AC}$; где $\text{AC} = 1/2$ -гидроксинафталин, H — кислота, $1,2/1,3$ -дигидроксибензол, 2-гидроксибензойная кислота, 3-аминогидроксибензол, нафтионат натрия, индол.

Разработаны новые и модифицированы известные методы синтеза полупродуктов красителей.

Изучены их спектральные и технические свойства, включающие светостойкость и устойчивость к различным видам мокрой обработки.

Красители используются для окрашивания синтетических волокон.

ლიტერატურა — REFERENCES

1. Auyangag N. R., Srinivasan K. V. Colourage, 1990, v. 37, N 2, p. 29 — 30.
2. Синтез и свойства кремнийсодержащих красителей, НИИТЭХИМ, М., 1990, 60 с.
3. Чиракадзе Г. Г., Вардосанидзе Г. О., Апхазава П. Н., Каркусашвили Т. Г. Заявка 4390652/05, положительное решение, 1989.
4. Вардосанидзе Г. О., Тамух Абу Хелал, Чачуа Н. Д., Апхазава П. Н., Каркусашвили Т. Г., Чиракадзе Г. Г. Изв. АН ГССР, сер. хим. Сб.: химия и хим. техн., 1988, с. 125—129.
5. Sharma P. K., Sharma A. K. Indian J. Chem., 1987, v. 27B, p. 454—457.
6. Kraska J., Boguszczak Z., Dyes. Pygm. 1990, v. 12, p. 173—177.

УДК 581.19

И. Л. ТАРГАМАДЗЕ, Б. Г. БЕЛЕНЬКИЙ, В. В. МЖАВАНАДЗЕ,
А. Г. ШАЛАШВИЛИ, В. Г. МАЛЬЦЕВ, Н. Н. СУДАРЕВА

ВЫСОКОЭФФЕКТИВНАЯ ТОНКОСЛОЙНАЯ ХРОМАТОГРАФИЯ НА ПОЛИАМИДНЫХ ПОРИСТЫХ СЛОЯХ И ЕЕ ПРИМЕНЕНИЕ В АНАЛИЗЕ ФЛАВОНОИДОВ

В настоящее время в тонкослойной хроматографии сформировалось новое направление — высокоеффективная тонкослойная хроматография (ВЭТСХ). Метод ВЭТСХ на полиамидных пористых слоях разработан в Институте высокомолекулярных соединений АН СССР [1]. Известно, что полиамид представляет собой исключительно эффективный адсорбент для разделения флавоноидных соединений за счет образования водородных связей между флавоноидами и амидными группами полимера [2]. Для разделения и идентификации флаваноновых



Рис. 1. Микрофотография поверхности полиамидных тонкослойных пластин с сетчатой структурой. Увеличение в 4200 раз

гликозидов цитрусовых нами применялась ВЭТСХ на полиамиде. Высокоэффективные полиамидные тонкослойные пластины изготавливали методом коагуляционного формования согласно методике, изложенной

в работе [3]. Микрофотография поверхности полученных пластин приведена на рис. 1.

Образцы листьев цитрусовых растений, собранные на Сухумской опытной станции субтропических культур Всесоюзного научно-исследовательского института растениеводства им. Н. И. Вавилова, фиксировали водяным паром и высушивали при комнатной температуре. Для выделения флаванонов измельченные листья (1 г) три раза экстрагировали 80%-ным метанолом на кипящей водяной бане. Длительность каждой экстракции 20 мин. Экстракти объединяли, фильтровали и выпаривали в вакууме при 50° до получения сухого остатка, который растворяли в 2 мл метанола. Метанольные экстракти наносили на полиамидные пористые слои капиллярами. Диаметр нанесенного пятна не более 2 мм. Расстояние между пятнами — 1 см, а от края пластинки до линии нанесения — 1,5 см. На пластинке размером 5×7 см разделяли 6—7 образцов. В качестве элюента применяли систему нитрометан—метанол—вода (5:2:0,025) [4]. Высота растворителя в камере — до 0,5 см. Время анализа 5 мин. Флаваноны обнаруживали опрыскиванием хроматограмм 2%-ным раствором боргидрида натрия в метаноле с последующим выдерживанием пластинки в паях хлористоводородной кислоты [5]. В результате на хроматограммах проявлялись пятна, окрашенные в различные оттенки красного и фиолетового цвета.

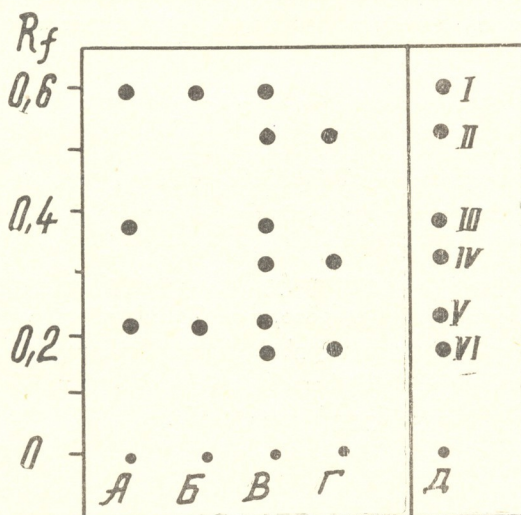


Рис. 2. Схема разделения флаваноновых гликозидов из листьев цитрусовых методом ВЭТСХ на пористом полиамидном слое. А — лимон Грузинский, Б — мандарин Уншиу, В — апельсин Вашингтон навел, Г — грейпфрут Дункан, Д — аутентичные образцы: I — гесперидин (Gee Lavson chemicals LTD, Англия), II — неогесперидин (Hoffmann-La-Roche, Швейцария), III — нарирутин (выделен из мякоти плодов мандарина Уншиу [6]), IV — нарингин (Loba-chemic, Австрия), V — эриоцитрин (выделен из кожуры плодов лимона Диоскурия), VI — неидентифицированное соединение

Как видно из приведенной схемы при хроматографическом анализе обнаружены в листьях: лимона Грузинского — гесперидин, нарирутин и эриоцитрин, мандарина Уншиу и апельсина Вашингтон навел — гесперидин и эриоцитрин, грейпфрута Дункан — гесперидин, неогеспе-

ридин и один неидентифицированный флаванон с $Rf \times 100 = 18$, по литературным данным соответствующий неоэриоцитрину [7].

Таким образом, метод ВЭТСХ можно применять для разделения таких изомерных пар флаваноновых рутинозидов и неогесперидозидов как: гесперидин и неогесперидин, нарирутин и нарингин эриоцитрин и неоэриоцитрин.

Новый метод имеет существенные преимущества по сравнению с классической ТСХ. Ими являются: эффективность, экспрессность, высокая чувствительность и экономичность. Метод может быть широко применен в массовых анализах, проводимых в лабораториях пищевой и фармацевтической промышленностей.

Институт биохимии растений АН Грузии

Институт высокомолекулярных

соединений АН СССР

Поступило 15.02.90

0. Таргамадзе, Б. Белен'кий, В. Мжаванадзе, Г. Шалашвили, Н. Сударева,
Б. Сурдзановы

ЗАПЛЮСКАНИЕ ЧИСТОСТИ ФЛАВОНОИДОВЫХ ПОЛИМЕРОВ НА ПОЛИАМИДНЫХ ПОРОЗНЫХ СЛОЯХ
ИХ ИСПОЛЬЗОВАНИЕ В АНАЛИЗЕ ЦИTRUS-ЛИССИЧЕСКИХ РАСТЕНИЙ

Р е ч и с მ ე

ციტრუსოვან მცენარეთა (მანდარინი უნშიუ, ფორთოხალი ვაშინგტონ ნაველი, ლიმონი ქართული და გრეიპფრუტი ღუნჯანი) ფოთლების ფლავანონური გლიკოზიდების თვისობრივი შედგენილობის დასადგენად გამოყენებულია პოლიამიდის ფორმოვან ფირფატებზე მაღალაფექტური თხელფენვანი ქრომატოგრაფიის მეთოდი. ნაჩვენებია, რომ შესაძლებელია ფლავანონური რუთინზიდების და ნეორეცეპტოზიდების ისეთი იზომერული წყვილების მკვეთრი დაყოფა, როგორებიცაა ჰესპერიდინი და ნეოჰესპერიდინი, ნარიტუთინი და ნარინგინი, ერიოციტრინი და ნეოერიოციტრინი.

I. L. TARGAMADZE, B. G. BELEN'KIY, V. V. MZHAVANADZE,
A. G. SHALASHVILI, V. G. MAL'TSEV, N. N. SUDAREVA

HIGHLY EFFICIENT THIN LAYER CHROMATOGRAPHY ON THE POLYAMIDE POROUS LAYERS AND ITS USE IN THE FLAVONOID STUDY

Summary

Highly efficient thin layer chromatography on the polyamide porous layers was used to determine the qualitative composition of flavanone glycosides in Citrus leaves (Unshiu mandarin, Washington Navel orange, Gruzinski lemon and Duncan grapefruit).

The possibility of efficient separation of such isomeric couples of flavanone rutinosides and neohesperidosides as hesperidin, neohesperidin, narirutin and naringin, eriocitrin and neoeriocitrin is shown.

1. Maltsev V. G., Sudareva N. N., Kharcheva E. Yu., Gankina E. S. Proc. Int. Symposium on TLC with Special Emphasis on Overpressured Layer Chromatography, Labor MIM publ, Budapest, 1984, 181.
 2. Златкис А., Кайзер Р. Высокоэффективная тонкослойная хроматография. М.: Мир, 1979.
 3. Мальцев В. Г., Харчева Е. Ю., Сударева Н. Н., Малышев Д. А., Беленский Б. Г., Каталевский Е. Е. Авт. свид. № 1229212 от. 8.01.1986. РЖХ ЗБ 3101 от 1986.
 4. Coffin D. F. J. Agr. Food Chem., 1971, 19, 3, 513.
 5. Hogowits R. M. J. Org. Chem., 1957, 22, 12, 1733.
 6. Шалашвили А. Г., Дурмишидзе С. В., Таргамадзе И. Л. Прикладная биохимия и микробиология, XXII, 1986, 3, 423.
 7. Kamiya S., Esaki S., Konishi F. Agric. Biol. Chem., 1979, 43, 7, 1529.
-



УДК 547.214 : 541.128 : 661.183.6 : 66.095.253

Г. С. ЧХЕИДЗЕ, Г. О. ЧИВАДЗЕ

АЛКИЛИРОВАНИЕ ИЗОБУТАНА ПРОПЕНОМ НА ЦЕОЛИТНЫХ КАТАЛИЗАТОРАХ И МЕХАНИЗМ ИХ РЕАКЦИИ

В связи со значительным ростом автомобильного транспорта, все более актуальной становится проблема борьбы с загрязнением атмосферы выхлопными газами автомобильных двигателей.

Вопрос о снижении токсичности выхлопных газов может быть решен путем уменьшения содержания или полного исключения присадок на основе свинца из автомобильных топлив и путем получения новых сортов бензинов с высокими антидетонационными характеристиками.

В связи с этим, большое значение приобретает процесс алкилирования изопарафинов олефинами, в частности, н-бутенами в присутствии серной и фтористоводородной кислот в качестве катализатора. В результате этого процесса получаются разветвленные парафиновые углеводороды с высокими октановыми числами.

Применение пропена в качестве алкилирующего агента в вышеуказанном процессе обеспечивает в основном образование низкооктановых изооктанов и в большом количестве — сульфоэфиров.

Главными недостатками этого процесса, наряду с экологическими проблемами, являются: осуществление процесса в несколько стадий с целью получения изооктанов, коррозия аппаратуры и высокие энергетические затраты.

С целью получения высококачественного бензина-алкилата, преимущественно содержащего изооктаны, в частности, триметилпентаны, в результате алкилирования изобутана пропеном, нами были синтезированы полифункциональные катализаторы на базе синтетического цеолита Y, обладающие одновременно диспропорционирующими, димеризующими и алкилирующими свойствами. Их применение вместо кислотных катализаторов позволит устранить все вышеперечисленные недостатки, присущие последним, осуществить процесс в одну стадию, получить алкилат высокого качества и тем самым расширить сырьевую базу для получения бензина-алкилата дешевым и недефицитным пропеном.

Целью данной работы является подбор эффективного цеолитного катализатора для алкилирования изобутана пропеном, способствующего протеканию реакции в одну стадию с преимущественным образованием изооктанов и уточнению полифункциональности исследуемого катализатора с применением метода меченых атомов (C^{14}).

Реакцию алкилирования изобутана пропеном проводили в проточном реакторе по методике [1]. Условия опытов менялись в широком интервале: температура — 333—405 К, объемная скорость подачи сырья — 0,5—4,0 ч^{-1} , соотношение изобутан:пропен = 3÷20:1. Исследовано 6 образцов катализатора, синтезированных на основе базового цеолитного катализатора СаСРЗЭY введением в его состав диспропорционирующих (MoO_3 , Re_2O_7) и димеризующих (Ni, Pd) агентов, по методике [2].

В результате проведенных исследований установлено, что в реакции алкилирования изобутана пропеном наилучшие результаты по всем показателям были получены на катализаторах CaNiPЗЭMoY и HCaLaNiMoY. В их отсутствии получен алкилат с выходом 80 и 75% масс. со степенью превращения пропена в 93 и 90% соответственно. Содержание фракции C₈ в алкилате в обоих случаях достигало около 40%, при соотношении триметилпентанов к диметилгексанам 84:16 и 83:17 соответственно.

На лучшем катализаторе CaNiPЗЭMoY в оптимальных условиях опыта получен алкилат следующего состава в % масс.: C₅—1,2; C₆—4,2; C₇—36,0; C₈—39,2; C₉ и выше—19,2. Надо отметить, что изомер 2,3—диметилпентан во фракции C₇ образуется в количестве 27,9% от всей массы алкилата. Он имеет довольно высокую октановую характеристику — 91,1 пунктов. Важной характеристикой алкилата является состав углеводородной фракции C₈. В нашем случае содержание триметилпентанов в алкилате достигает 31,4%, которые характеризуются высокими октановыми числами 100—104, что и определяет высокосортность получаемого алкилата.

После подбора оптимального катализатора и условий для проведения процесса алкилирования изобутана пропеном для уточнения полифункционального характера цеолитного катализатора было проведено исследование с применением метода меченых атомов C¹⁴, и высказаны некоторые соображения о механизме протекания реакции.

Было проведено два опыта на лучшем катализаторе CaNiPЗЭMoY в оптимальных условиях: температура — 383 К, давление — 2,5 МПа, объемная скорость подачи сырья — 1,1 ч⁻¹, соотношение изобутан: пропен = 20:1 в исходной смеси.

В первом опыте (Оп₁) использовались пропен-2-C¹⁴ и изобутан немеченный.

Пропен-2-C¹⁴ был получен дегидратацией пропанола -2-C¹⁴ на γ-Al₂O₃ при 453 К [3,4].

Во втором опыте (Оп₂) меченой молекулой служил изобутан -2-C¹⁴. Время опыта 2 часа.

Относительная удельная радиоактивность (содержание углерода C¹⁴ в % в пересчете на один атом углерода) основных продуктов, собранных в процессе двух опытов, приведена в таблице 1.

Таблица 1

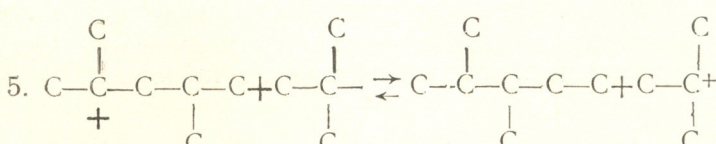
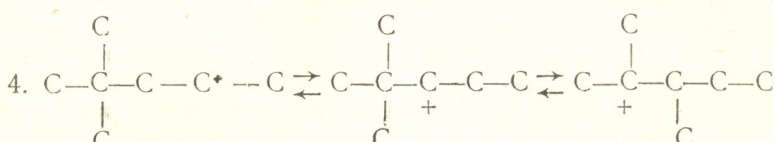
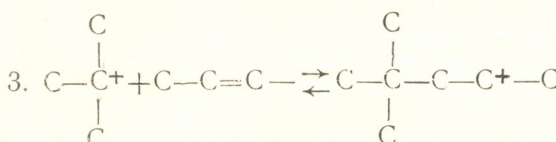
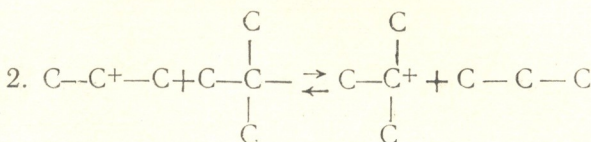
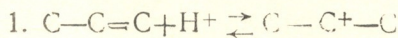
Относительная удельная радиоактивность продуктов в опытах Оп₁ и Оп₂ (содержание углерода C¹⁴ в % в пересчете на один атом углерода)

Опыт (меченный реагент)	Оп ₁ /пропен	Оп ₂ /изобутан
Изопентан	0,6	0,5
2-метилпентан	18,1	2,5
3-метилпентан	19,4	1,2
Гептаны		
2,4-диметилпентан	10,3	10,8
2,3-диметилпентан	13,7	12,6
Октаны		
2,2,4-триметилпентан	2,1	16,3
2,5-диметилгексан	14,7	3,5
2,4-диметилгексан	16,8	5,4
2,2,3-триметилпентан	4,3	12,3
2,3,4-триметилпентан	8,8	13,9
2,3,3-триметилпентан	7,6	14,8
3,4-диметилгексан	16,0	4,8

По данным таблицы можно заключить, что углерод-14 ^{входит} во все продукты, независимо от того, какая меченая молекула ^{записана} присутствует в первоначальном сырье. Тем не менее, углеводороды, полученные в результате алкилирования, можно разделить на три класса: углеводороды, получаемые из пропена (метилпентаны и диметилгексаны); из изобутана (триметилпентаны); и те, которые получаются в равном количестве в обоих опытах (изопентан и диметилпентаны).

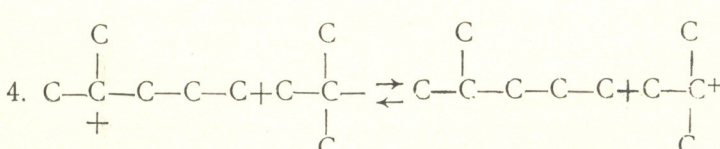
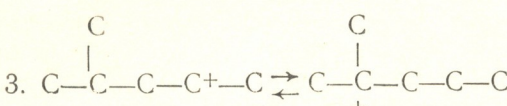
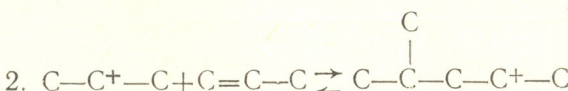
Ожидаемыми продуктами при алкилировании изобутана пропеном логически являются 2,3-диметилпентан, 2-метилпентан и изооктан.

2,3-диметилпентан является «истинным» продуктом алкилирования, т. е. углеводородом, который получается в результате прямого присоединения пропилового катиона к молекуле изобутана согласно классическому механизму по схеме 1:



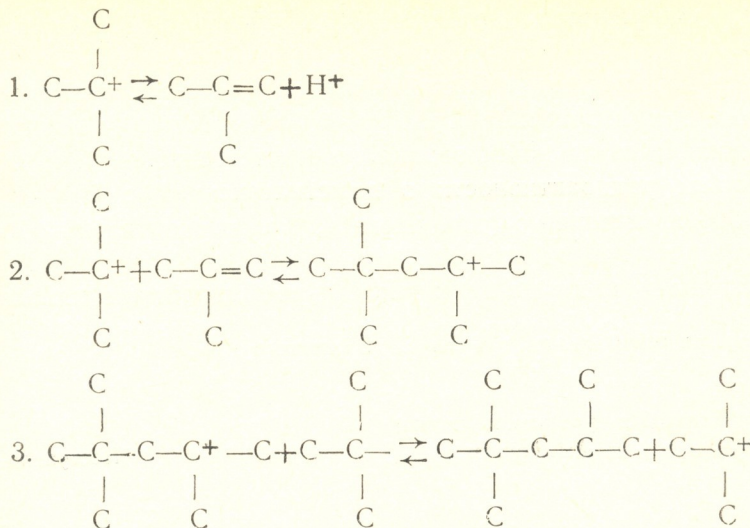
2,3-ДМП

2-метилпентан, вероятнее всего, образуется путем димеризации исходного пропена по схеме II:



2-МП

Наконец, изооктан является результатом реакции самоалкилирования изобутана по схеме III:



2,2,4—ТМП

Итак, реакции, описанные схемами I—III, могут качественно объяснить образование основных продуктов в опытах Оп₁ и Оп₂, а также образование следов пропана на первых стадиях реакции.

Помимо реакции алкилирования, очевидно, протекает реакция изомеризации.

Доказательством протекания реакции изомеризации может служить преобладание 2,3—диметилпентана во фракции C₇, тогда как непосредственный продукт алкилирования должен иметь структуру 2,2—диметилпентана. Этот факт можно объяснить большой легкостью неолентильной перегруппировки в кислой среде [5] на стадии 4 в схеме I.

Интересный факт наблюдается в случае образования триметилпентанов и диметилгексанов.

Здесь, очевидно, реакция изомеризации затруднена, и триметилпентаны и диметилгексаны получаются параллельными путями. Такой вывод не должен показаться неожиданным, поскольку установлено [6], что скелетная изомеризация углеродной цепи протекает медленнее, чем миграция алкила. Появление изотопной метки в диметилгексанах в Оп₁ (табл. I) указывает на то, что они образуются, вероятнее всего, в результате прямого алкилирования изобутана меченными n—бутенами — продуктами диспропорционирования меченого пропена, так как при диспропорционировании последнего радиоактивный углерод содержится только в бутенах и не обнаруживается в этане [7].

Образование 2,2,4-триметилпентана, как уже отмечалось, можно объяснить автоалкилированием изобутана, а остальные триметилпентаны, очевидно, являются продуктами миграции алкильной группы или гидрид-иона в образовавшемся триметилпентилкарбоний-ионе в Оп₂.

Присутствие в алкилате изопентана в небольшом количестве, получение которого прямым процессом с участием пропена и изобутана затруднено, по всей вероятности, как и углеводороды С₉ и выше является продуктом деструктивного алкилирования [8].

Косвенным доказательством протекания реакции диспропорционирования пропена в условиях реакции может также служить появление n-бутенов и этана в выходящих газах.

Институт органической химии им. Н. Д. Зелинского
Академии наук СССР

Итак, использование молекул, меченых углеродом-14, подтверждает сложный характер реакции. Какой бы ни была исходная молекула, содержащая меченный атом, углерод-14 входит во все продукты.

Можно качественно объяснить наличие 2,3-диметилпентана, 2-метилпентана и изооктана реакциями «истинного» алкилирования, димеризации и самоалкилирования, соответственно.

Наличием радиоактивности в диметилгексанах в случае применения пропена, меченого углеродом-14, можно подтвердить протекание реакций диспропорционирования, димеризации и алкилирования на используемом нами полифункциональном цеолитном катализаторе.

Институт органической химии им. Н. Д. Зелинского
АН СССР

Институт физической и органической химии
им. П. Г. Меликишвили АН Грузии

Поступило 18.10.90

З. НЕЛИДОВА, З. НОВАДЗИ

0% გაუთანის ალკილირება პროპენით ცეოლიტურ კატალიზატორებზე
და მათი რეაქციის მექანიზმი

რეზიუმე

ჩატარებულია იზობუთანის ალკილირება პროპენით ერთ სტადიად, Ca, Ni, La-ის იონების შემცველ და MoO_3 -ით დაფენილ Y ტიპის ცეოლიტურ კატალიზატორებზე. მიღებული ალკილატი ძირითადად შეიცავს მაღალოქტანურ ფრაქციას 40%-ის ოდენობით, რომელიც შედგება 85%-მდე ტრიმეთილპენტანებისაგან.

იზოტოპური მეთოდით დადგენილია გამოყენებული ცეოლიტური კატალიზატორის პოლიფუნქციონალური ბუნება და გამოთქმულია ზოგიერთი მოსახრება იზობუთანის პროპენით ალკილირების მექანიზმის შესახებ.

G. S. CHKHEIDZE, G. O. CHIVADZE

ALKYLATION OF ISOBUTANE BY PROPENE ON ZEOLITIC CATALYSTS AND THEIR MECHANISM OF REACTION

Summary

The alkylation of isobutane by propene was carried out in one stage on Ca, Ni, La-ion exchanged and MoO_3 supported, Y type zeolitic catalysts. The obtained alkylate contains mainly highoctane fraction (40%), which consists of 85 % trimethylpentanes.

A polyfunctional nature of the used zeolitic catalyst was determined by isotopic method. The new mechanism of isobutane alkylation by propene was suggested.

ლიტერატურა — ЛИТЕРАТУРА — REFERENCES

1. Арёшидзе Х. И., Чивадзе Г. О., Чхеидзе Г. С., Мортиков Е. С., Зеньковский С. М. Изв. АН ГССР, сер. хим., 1979, 5, 2, 111—117.
2. Чхеидзе Г. С., Чивадзе Г. О., Мортиков Е. С. IV Всесоюзная конф. «Применение цеолитов в катализе», М., 1989.
3. Исагулянц Г. В., Рар Л. Ф. Изв. АН СССР, сер. хим., 1969, с. 1362—1365.
4. Соролье C., Sorolleur S., Gaulf F. G., J. Catal., 1972, 24, 389—389.
5. Germain I. E. Catalytic Conversion of Hydrocarbons. Academic Press, London, 1969.
6. Vgooswege D. H., Nogelen U., Prog. Phys. Org. Chem., 1972, 9, 179—183.
7. Миначев Х. М., Ряшенцева М. А., Исагулянц Г. В., Рождественская И. И. Изв. АН СССР, сер. хим., 1972, 3, 705—709.
8. Weitkamp I. Proc. Vth Int. Conf. Zeolites, L. C. V. Pres. ed. Heyden, Londres, 1980, 358—364

ჟიზიკური ქიმია

აპ 541.183:549.67

გ. ციციაშვილი, ნ. სეირთლაძე, დ. ბარნაბიშვილი,
ც. ოქროპირიძე, ნ. გოგოძე

საქართველოს ზოგიართ ცენტრულ ფაციას აღსორდაციული თავისებაზი

საქართველოში აღრე აღმოჩენილი დანალექი წარმოშობის მაღალკაუმი-წიანი ცენტრულ ფაცია — კლინიკტილოლითშემცველი ნიმუშების (ძეგვი, ხე-კურძულას უბანი და თეძამის საბადოები) აღრევე იყო შესწავლილი ჩვენსა და სხვა მკვლევართა მიერ, რომლებიც დღეისათვის ეფექტურად გამოიყენება სახალხო მეურნეობის მრავალ დარგში [1—4]. აღნიშნული ცენტრული ფაცია აღსორდაციული კვლევის ზოგიერთი შედეგი გამოქვეყნებულია ჩვენს შრომებში [5—6].

წინამდებარე ნაშრომში მოცემულია საქართველოს ტერიტორიაზე ახლად მიკვლეული ზოგიერთი ცენტრული ფაცია ქანების, კერძოდ: კლინიკტილოლითშემცველი № 4157 და № 48 — მცხოვრის რაიონიდან (მდ. მართაზის ხევი და არმაზის ხევი), № 4414 — სოფ. ატენიდან (ატენის ხეობა), № 4334 — თეთრია წყაროდან (მდ. ალგეთი), №№ 1—3 ქევიდან; ჰერილანდიტი № 4159 ახალციხის რაიონიდან (ურაველის ხეობა), ანალციმი-შორაპნიდან, მორდენიტი № 4441 — სოფ. ჩაჩუბეთიდან (თეძამის ხეობა), ლომონტიტი №№ 1339*, 1674*, 1345*, 3431 (თბილისის მიდამოებიდან) მოკლე ლითოლოგიური და-ხასიათება და აღსორდაციული თვისებები.

ნიმუშების ლითოლოგიური დახასიათება:

№ 4157 — თელშრეებრივი, მუქი, ოდნავ მოყავისფრო, მჭიდრო აგებუ-ლების, პელიტ-ალევროლითური მერგელოვანი ქანია, რომლის შედგენილობაში მონაწილეობს ვულკანური მინისა და სუსტად გამოკრისტალებული ვულკანი-ტების უწვრილესი ნაწილაკები, რომელთაც მირეული ქვთ პელიტომორფული კალციუმის კარბონატი და თიხის თმისებრივი მასები. ვულკანური მინა, რო-მელიც მთლიანად კლინიკტილოლითშია გადასული, რაოდენობრივად ქანის 45—50% შეადგენს. გარდა ჩამოვლილი კომპონენტებისა, ქანის აგებულე-ბაში მონაწილეობს სალად შენახული მინდვრის შპატისა და პიროქსენის მარ-ცვლები მაღნეულ მინერალთან ერთად.

№ 48 — მწვანე ფერის, სუსტადშრეებრივი ფუტური ქანია. მარცვლის სიმსხოს მიხედვით მეტწილად ალევრიტულია. ქანის აგებულებაში მთავა-რი მინის ნატეხებია, რომელთაც მინდვრის შპატის, პიროქსენისა და მაღნე-ული მინერალის მარცვლები უერთდებათ. მინდვრის შპატი და პიროქსენი სა-ლად შენახულია, ხოლო მინა, რომლის რაოდენობა 55—60% შეადგენს, კლა-ნიკტილოლითშია გადასული.

№ 4414 — სუსტად შრეებრივი, მეტად მჭიდრო, ოდნავ მოლურჯო, პე-ლიტ-ალევრიტული ტუფია. მის შედგენილობაში მონაწილეობს კლინიკტილო-

* ნიმუშები გაღმოცემულია საქართველოს გეოლოგიური მუზეუმის ტრესტიდან.

ლითში გადასული მინის უწვრილესი ნაწილაკები, მინდვრის შპატისა და პი- როქსენის საღი ნატეხები. ყველა ამათ საკმაო რაოდენობით უერთდება პელი- ტომორფული კარბონატი, რაც ჭიმიურ შედგენილობის CaO-ს მაღალ შემცვე- ლობაში აირეკლება. კუმიშის შემცველობის მიხედვით, (ანალიზი № 2), საშუ- ალოდ მუვე ტუფურ მასალას უპასუხებს, რაც შეეხება ცეოლითს (კლინოპტი- ლოლითს) მისი რაოდენობა აქ 40—45% შეადგენს. ყურადღებას იქცევს K₂O-ის შედარებით მაღალი შემცველობა, რაც მიკროლითურ ვულკანიტებს ხარჯზე უნდა იყოს წარმოქმნილი.

№ 4334 — თითქმის მასიური, მსხვილნატეხოვან ფერფლის ტუფია, აგებუ- ლი ვულკანური მინის შედარებით მსხვილი ნატეხებისაგან, რომელთაც მცირე რაოდენობით მინდვრის შპატი, კალციუმის კარბონატი, მაღნეული მინერალი უერთდებათ. მინის ნატეხები კლინოპტილოლით-ჰეილანდიტითაა ჩანაცვლებუ- ლი, რომლის რაოდენობა 60—65% შეადგენს.

ანალცინი შორაპნიდან — თხელშრეებრივი, მჭიდრო აგებულების, მუქი ნაცრისფერი ტუფი, რომლის მთავარი შემადგენელი მასა მინდვრის შპატის ალევრიტული ნაწილაკებისა და პელიტომორფული კალციუმის კარბონატის ნა- რევს წარმოადგენს. ცეოლითი რენტგენული მეთოდით ისაზღვრება და ანალ- ციმს უპასუხებს, რომლის რაოდენობა 40% არ აჭარბებს.

№ 4159 — საშუალომარცვლოვანი, შრეებრივი, მუქი ნაცრისფერი ტუფი, აგებული არსებითად ვულკანური მინისაგან, რომელსაც მცირე რაოდენობით უერთდება სალად შენახული მინდვრის შპატი და მაღნეული მინერალი. აღი- ნიშნება ტლორიტული მასები და აქა-იქ კარბონატიც. ვულკანური მინა, რომ- ლის რაოდენობა 75% შეადგენს, ჰეილანდიტსა და ანალციმშია გადასული.

№ 4441 — თითქმის მასიური, შედარებით მსხვილნატეხიანი, კაუმიშით გამდიდრებული, ფსამიტური ტუფი. გარეგნულად ოდნავ მომწვანო, ალაგ-ალაგ თეთრი უბნებით. ტუფის მთავარი შემადგენელი ვულკანური მინაა, რომელიც მეტ შემთხვევაში სფეროლითურ აგებულებას ამჟღავნებს. სწორედ ამგვარი მინის ხარჯზე წარმოქმნილი მორდენიტი, რომლის რაოდენობა დაახლოებით 45—50% შეადგენს. ყურადღებას იქცევს სრულიად სალად შენახული მინ- დვრის შპატი, უმეტესად ანდეზიტის რიგისა და იშვარათად პიროქსენის დაკუ- თხული მარცვლების არსებობა. საკმაო რაოდენობით შეიძინევა რკინის ქანგით გაუღენთილი ქლორიტული მასები, მაგრამ მთავარი მაინც ქანის გაკვარცებაა, რომელიც გაცეოლითების მომდევნო პროცესად ისახება.

№ 3431 — შრეებრივი, მოკვითალო ფერის, საშუალმარცვლოვანი ფერ- ფლის ტუფი, რომლის მთავარი შემადგენელია მთლიანად ლომონტიტში გადა- სული ვულკანური მინის ნატეხები. ლომონტიტის რაოდენობა 75% შეადგენს. დანარჩენი კი თიხოვან ნაწილაკებზე, მინდვრის შპატის და მაღნეულის უწვრი- ლეს მარცვლებზე და ორგანული ნივთიერების ხარჯზე მოდის. კაუმიშისა და თიხამიშის შემცველობის მიხედვით ტუფი საშუალო სიმუაგის ვულკანიტებს უპასუხებს, ხოლო CaO-ს შემცველობა კი ლომონტიტის ჭარბ რაოდენობას.

ცხრილი 1

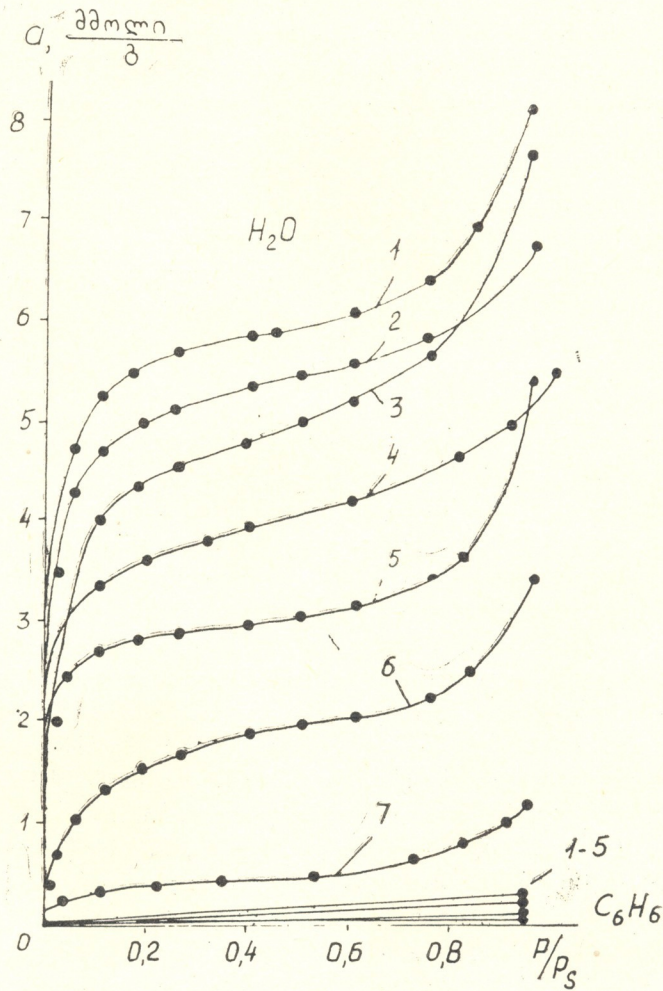
ზოგიერთი გაცეოლითებული ტუფის ქიმიური ანალიზის შედეგები

SiO ₂	TiO ₂	Al ₂ O ₃	Fe ₂ O ₃	FeO	MnO	MgO	CaO	Na ₂ O	K ₂ O	P ₂ O ₅	H ₂ O-	H ₂ O+	Si/Al
62,75	0,31	14,15	2,32	0,51	0,04	1,32	5,67	3,73	0,42	0,32	1,90	6,42	4,2
60,95	0,34	13,60	1,05	2,25	0,09	0,86	6,29	0,90	3,88	0,11	1,82	7,98	3,82

№ 1 ცხრილში მოცემულია ზოგიერთი ზემოთ აღწერილი გაცეოლითებუ- ლი ტუფის ქიმიური ანალიზის შედეგები: 1-ლომონტიტურიანი ქანი თბილისის მიღამოებიდან; 2-კლინოპტილოლითშემცველი ტუფი ატენის ხეობიდან.

ცეოლითშემცველ ქანების ადსორბციული თვესებების დასახასიაზო შეკვეთის
შესწავლილია წყლის და, ზოგიერთ ნიმუშზე, ბენზოლის ორთქლის ადსორბცია
წონითი ვაკუუმური დანაღვარის საშუალებით 293 K-ზე. საკვლევად აღებულია
ნიმუშები 2-1 მმ ზომის მარცვლების სახით. ნიმუშები ვაკუუმირებულია
623 K-ზე, ზოგ შემთხვევაში 473 K-ზე, ნარჩენი წნევის — 1.10^{-5} ტორის მილ-
წევამდე. ადსორბციული გაზომვები ჩატარებულია 293 K-ზე.

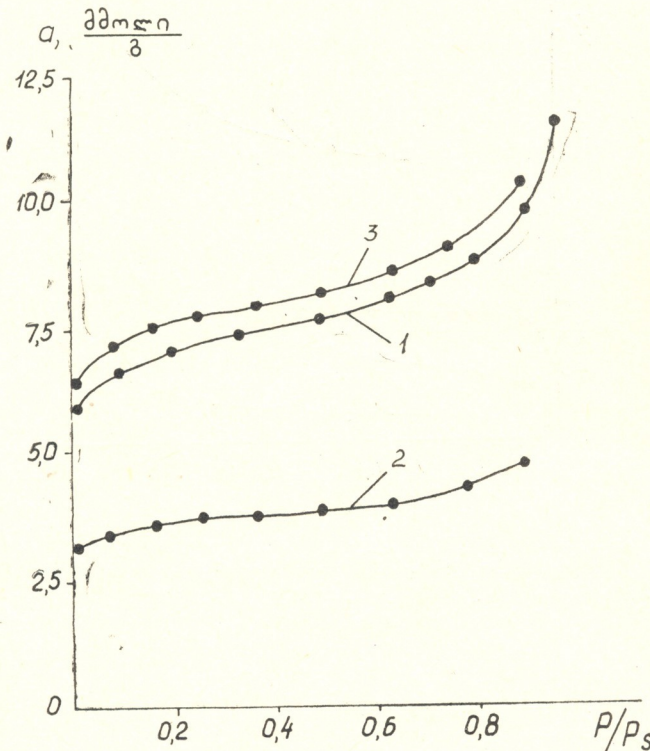
კვლევის შედეგები წარმოდგენილია იზოთერმების სახით.



ნახ. 1. წყლისა და ბენზოლის ორთქლის ადსორბციის იზოთერმები ბუნებრივ ცეოლით-შემცველ ქანებზე 293K. კლინპრილოლითები: 1 — თეთრიფიაროდან, 2 — არმაზის ხევიდან, 3 — მართაზიდან, 4 — ატენიდან, 5 — ჰილინდიტი ურაველიდან, 6 — მორდენიტი ჩაჩუბეთიდან, 7 — ანალციმი შორაპნიდან

ბუნებრივ ცეოლითებზე შესწავლილი წყლისა და ბენზოლის ორთქლის ადსორბციის ექსპერიმენტის შედეგების (ნახ. 1) ანალიზი ნათელყოფს, რომ წყლის ორთქლის ადსორბციის იზოთერმებს აქვთ მიკროფორმიანი ადსორბენტებისათვის დამახასიათებელი ფორმა. ნაჩვენებია, რომ პირველადი ფორმანი სტრუქტურის შესაბამისი ადსორბციული მოცულობა ივსება დაბალი ფარდობითი წნევების უბანში ($p/p_s = 0,10$ -მდე), ხოლო ფარდობითი წნევების გაზრდით ($p/p_s = 0,40$ -0,50-ის ზევით) ადსორბცია წარმოებს მეორად ფო-

არგან სტრუქტურაში წყლის ორთქლის კონდენსაციის ხარჯზე. ბენზოლის ორთქლის აღსორბცია ბუნებრივ ცეოლითებზე უმნიშვნელოა (ნახ. 1), რაც აღასტურებს ნიმუშების მოლეკულურ-საცრულ ბუნებას. გამოკვლეულია, რომ ახლად მიყვლეული ცეოლითებიდან კარგი აღსორბციული უნარით წყლის ორთქლის მიმართ ($p/p_s = 0,40$) ხასიათდება კლინოპტილოლითშემცველი ტუფები — თეთრიწყაროდან (5,90 მმოლ/გ) და არმაზისხევიდან (5,60 მმოლ/გ), მაგრამ ამ მხრივ ისინი ჩამორჩებან ჩვენს მიერ აღრე შესწავლილ ძეგვის (ხეკორდულს უბანი) და თეძამის საბადოს კლინოპტილოლითებს [5, 6].

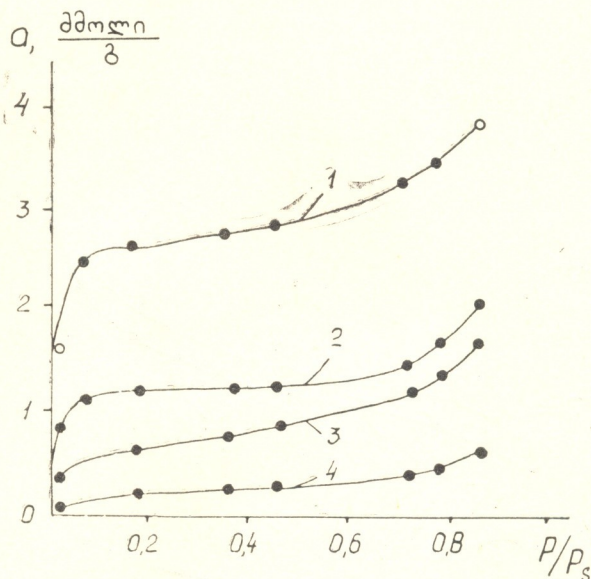


ნახ. 2. წყლის ორთქლის აღსორბციის იზოთერმები კლინოპტილოლითის ნიმუშზე ძეგვიდან 293K. ციფრები იზოთერმებზე—ნიმუშის ნომრები

აღსორბციული კვლევის შედეგები ძეგვის საბადოს სხვადასხვა უბნებიდან აღებულ ნიმუშებზე მოცემულია ნახ. 2-ზე. ნახაზის მიხედვით წყლის ორთქლის აღსორბციის იზოთერმები მცირე წნევის უბანში ხასიათდება მკვეთრი აღმავლობით, რაც საერთოდ ტიპურია ცეოლითებისათვის. მათგან კარგი აღსორბციული უნარით ხასიათდება ნიმუშები № 1 და № 3 და ისინი პრაქტიკულად იდენტურია ჩვენს მიერ აღრე გამოკვლეული ძეგვის (ხეკორდულს უბანი) კლინოპტილოლითისა [5—6]. კლინოპტილოლითიანი ტუფის ნიმუში № 2 ხასიათდება მნიშვნელოვნად დაბალი აღსორბციული უნარით № 1 და № 3 ნიმუშებთან შედარებით, რაც იმით უნდა აიხსნას, რომ ეს ნიმუში გეოლოგიურ ჭრილში სივრცობირებად დაცილებულია 1 და 3 ნიმუშისაგან და ამავე დროს კლინოპტილოლითის ნაკლები შემცველობით ხასიათდება.

შესწავლილია აგრეთვე ლომონტიტური ტუფების (თბილისის მიდამოებიდან) აღსორბციული უნარი წყლის ორთქლის მიმართ (ნახ. 3). ნიმუშები წი-

ნასწარ გამოკვლეულია თერმომდგრადობაზე 373, 473, 623 K-ის პირობებში. დალენილია, რომ ფორმების ადსორბციული მოცულობის მაქსიმუმით ხასიათდება ნიმუშები, დამუშავებული 473 K-ზე. შედეგების ანალიზით ირკვევა, რომ იზოთერმები დამახსასიათებელია მიკროფორმიანი ადსორბენტებისათვის. აღ-



ნახ. 3. წყლის ორთქლის ადსორბციის იზოთერმები ლომონტიტებზე თბილისის მიღამოებიდან 293K: 1 — №3431, 2 — №1339, 3 — №1674, 4 — № 1345

სორბციის უკეთესი უნარით ხასიათდება 75% ლომონტიტის შემცველი ნიმუში № 3431.

საქ. მეცნ. აკად. პ. მელიქიშვილის სახ.
ფიზიკური და ორგანული ქიმიის
ინსტიტუტი

შემოსულია 19.04.90

Г. В. ЦИЦИШВИЛИ, Н. И. СХИРТЛАДЗЕ, Д. Н. БАРНАБИШВИЛИ,
Ц. М. ОКРОПИРИДЗЕ, Н. И. ГОГОДЗЕ

АДСОРБИОННЫЕ СВОЙСТВА НЕКОТОРЫХ ЦЕОЛИТСОДЕРЖАЩИХ ПОРОД ГРУЗИИ

Резюме

Приведены литологическая характеристика и результаты изучения адсорбционных свойств по парам воды (293 K) некоторых вновь разведенных неолитсодержащих туфов Грузии. Установлено, что высокой адсорбционной способностью по парам воды характеризуются клиноптилолитовые туфы из новых участков месторождений Дзегви (№ 1 и № 3) и из Тетри-Цкаро (№ 4334) и Армазисхеви (№ 48).

G. V. TSITSISHVILI, N. I. SKHIRTADZE, D. N. BARNABISHVILI,
Ts. M. OKROPIRIDZE N. I. GOGODZE

ADSORPTION PROPERTIES OF SOME ZEOLITE-CONTAINING ROCKS OF GEORGIA

Summary

The lithologic characteristics and results of study of adsorption properties by water vapours (293 K) of some newly explored zeolite-containing rocks of Georgia are given. It has been established, that klinoptilolite tuffs from the new plots of Dzegvi (№ 1 and № 3), Tetri Tskaro (№ 4334) and Armaziskhevi (№ 48) deposits are characterized by high adsorption properties by water vapours.

ლიტერატურა — REFERENCES

1. Бегишвили М. Г., Кацитадзе Б. В., Харатишвили Г. В. Сб. Применение природных цеолитов в животноводстве и растениеводстве. Тбилиси: Мецниереба, 1984, 14.
2. Квашали Н. Ф., Микаутадзе З. Г., Урушадзе А. Н., Цицишвили Г. В., Андronикашвили Т. Г. Сб. Применение природных цеолитов в животноводстве. Тбилиси: Мецниереба, 1984, 191.
3. Маршания Н. И., Эркавания З. Г. Сб. Применение природных цеолитов в животноводстве. Тбилиси: Мецниереба, 1984, 101.
4. Гогодзе Н. И., Барнабишили Д. Н., Цицишвили Г. В., Мамедов И. И. Сообщ. АН ГССР, 1986, 12, 2, 140.
5. Цицишвили Г. В., Барнабишили Д. Н., Гогодзе Н. И. Сообщ. АН ГССР, 1976, 83, 3, 625.
6. Барнабишили Д. Н., Цицишвили Г. В., Авалиани К. Е., Гогодзе Н. И., Адолашвили М. Г., Коридзе З. И. Сб. Клиноптилолит. Тбилиси: Мецниереба, 1977, 148.

შავ 02.00.04

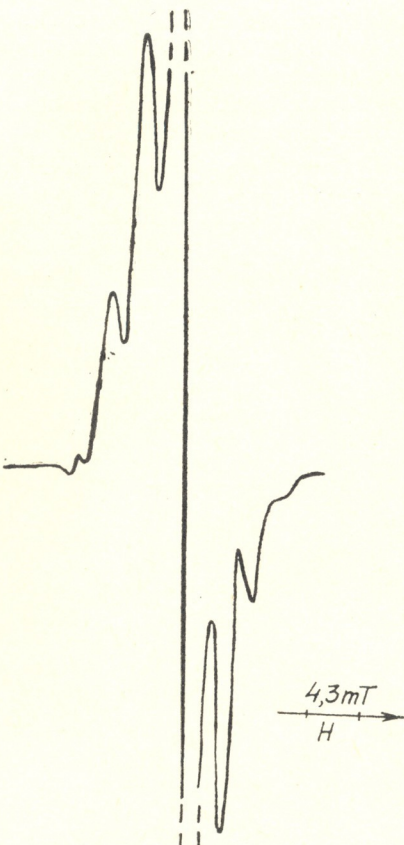
8. პატიოტაშვილი, ს. ნაცველიშვილი

მუზაფებაშასა და მისი დინორეგის დაგალითების რადიოლიტი

ბიოლოგიურად მნიშვნელოვანი ქანგბადშემცველი ორგანული ნივთიერებების რადიოლიტური გარდაქმნის შესწავლას ძალზე დიდი მნიშვნელობა აქვს რადიაციული ზემოქმედების ცოცხალ ორგანიზმებზე.

შესწავლილია მუზაფებისა და მისი დინორეგის: დიმეთილ-, დიეთილ- და დიპროპილოქსალატების რადიაციულ-ქიმიური გარდაქმნა.

N1



ნახ. 1. დასხივებული მუზაფების ეპრ სპექტრი ($D=4,3$
კგ გრე, $T=77\text{K}$)

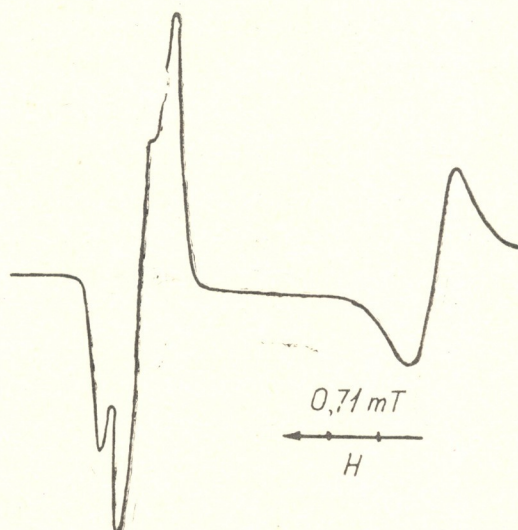
სამუშაოს მიზანი იყო მუზაფების რთულ ეთერებში დაგვეღვინა ჩანაცვლებული ალკილის ჯგუფის ჭავჭავის სიგრძის გავლენა შესაბამისი ნივთიერების დაბალტემპერატურულ (77K) რადიოლიტის პროცესზე.

გამოსხივების წყაროდ ვიყენებდით Co^{60} გ-დანადგარს. დოზის სიმძლავრე შეადგინდა 0,67 კილოგრამ/სთ.

წარმოქმნილი რადიკალური პროცესების რეგისტრირებას ვახდენდით ეპ სპექტროსკოპის მეთოდით. მათი იდენტიფიცირებისათვის გამოყენებული ყოფილობა და თერმოდამუშავების მეთოდები. ფოტოდამუშავება წარმოებდა ხილული სინათლით (ქსენონის ნათურა), ფილტრი $\text{BC}-8$. 4,3 კილოგრამი დოზით დასხივებულ მჟაუნმჟავას სპექტრი ძირითადად შედგება სამი ხაზისაგან (ფაზ. $= 2,004$). სავარაუდოა, რომ სპექტრი წარმოადგენს რამოდენიმე ტიპის რადიკალის სპექტრთა სუპერპოზიციას (ნახ. 1). პარამაგნიტური ნაწილაკების (პ. მ. ნ.) რადიაციულ-ქიმიური გამოსავალი გამოთვლილია დაგროვების მრუდის საფუძველზე და შეადგენს 0,12 $\frac{1}{100 \text{ გ}}$.

ფოტოდასხივების შედეგად სპექტრი მნიშვნელოვან ცვლილებას არ განიცდის, პრაქტიკულად არ იცვლება პ. მ. ნ.-ის რაოდენობაც.

მჟაუნმჟავას დასხივებული ნიმუშების თანმიმდევრული გათბობის შედეგად დადგინდა, რომ 100 K-მდე გათბობისას სპექტრის სახე ძირითადად იგივეა, თუმცა იცვლება კომპონენტთა ინტენსივობების შეფარდება. 300 K-მდე გათბობის შემდეგ კი რეგისტრირებულია ორი ხაზისაგან შემდგარი სპექტრი. გახლეჩა ამ ხაზებს შორის $\sim 0,57$ მტ. (ნახ. 2). პარამაგნიტური ნაწილაკები,



ნახ. 2. $T=300\text{K}$ -ზე გამთბარი დასხივებული მჟაუნმჟავას ეპ სპექტრი

რომლებიც იძლევა აღნიშნულ სპექტრს ოთახის ტემპერატურაზე (300 K), მდგრადი არიან გარკვეული დროის განმავლობაში.

აღნიშნული დუბლეტი შეიძლება შეესაბამებოდეს COOR ტიპის რადიკალს, სადაც გაუწყვილებელი ელექტრონი ლოკალიზებულია ნახშირბადის ატომზე. მსგავსი ეპ სპექტრი შეინიშნება ჭიანჭველამჟავას დასხივების დროს და იგი მიეწერება $\text{O}-\text{C}-\text{OH}$ რადიკალს [1].

λ-დასხივებული მჟაუნმჟავას ეპ სპექტრიდან ($D = 11,4$ კგ გრეი) 300 K -მდე გამთბარი ნიმუშის ეპ სპექტრის გრაფიკული გამოკლების შემდეგ რჩება სინგლეტი, რომლის სიგანე $0,92$ მილიტესლას ტოლია. ამასთან აღსანიშნავია, რომ თერმოგამოწვის შედეგად დასხივებული ნიმუშების ფერი იცვლება მუქი

ნაირნჯისფერიდან თეთრამდე. ყველივე ზემოთქმული საშუალებას გვივის ვივარაულოთ, რომ სპექტრის გამქრალი კომპონენტი პასუხისმგებელია მათი მის მოლეკულურ ანიონ-რადიკალზე.

კრისტალური დიმეთილოქსალტის გამადასხივების შედეგად შეინიშნება ეპრ სპექტრი, რომელიც აგრეთვე ძირითადად სამი ხაზისაგან შეღება. სპექტრის საერთო სიგანეა 1,14 მტ. პ.მ.ნ. დაგროვების მონაცემების საფუძველზე გამოთვლილია მისი რადიაციულ-ქიმიური გამოსავალი, რომელიც $G_R = 1,2 \cdot 1/100$ ევ ტოლია. მიღებული სპექტრი ამ შემთხვევაშიც წარმოადგენს რამდენიმე ნაწილაკის შესაბამისი ეპრ სპექტრების სუპერპოზიციას. ამ შემთხვევაშიც ნიმუშების 300 K-ზე გათბობისას რეგისტრირებულია ორი ხაზისაგან შემდგარი სპექტრი.

მიღებული შედეგები ცალსახად მიუთითებს, რომ დიმეთილოქსალტის რადიოლიზის შემთხვევაშიც ძირითადად 2 სახის პ. მ. ნ. შეინიშნება მოლეკულური ანიონ-რადიკალი და ნეიტრალური COOR ($R=CH_3$) ტიპის რადიკალი.

ინდივიდუალური დიეთილ- და დიპროპილოქსალტების γ -რადიოლიზის დროს რეგისტრირდება რთული სახის ეპრ სპექტრები. ცენტრში ორივე შემთხვევაში შეინიშნება სინგლეტი, რომლის სიგანეა 0,86 მტ. ეს სპექტრები არის განპირობებული მოლეკულური ანიონ-რადიკალების $(COOC_2H_5)_2^-$ და $(COOC_3H_7)_2^-$ წარმოქმნით.

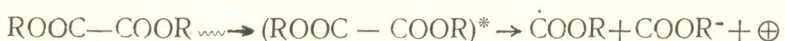
რადიკალების წარმოქმნის საწყისი რადიაციულ-ქიმიური გამოსავლების მნიშვნელობა შესაბამისად 2,25 და 7,0 1/100-ევ-ის ტოლია დიეთილოქსალტი-სა და დიპროპილოქსალტისათვის.

სინგლეტის გარდა ამ ნივთიერების დასხივებული ნიმუშის ეპრ სპექტრებში შეინიშნება დამატებითი ხაზები ველის როგორც დაბალი, ასევე მაღალი სიხშირის უბნებში. შეიძლება გამოიყოს ხუთკომბინენტიანი სპექტრი, რომლის გახლებაა 2,15 მტ. ამ სპექტრის შესატყვისი პარამაგნიტური ნაწილაკი შეიძლება იყოს ის რადიკალი, რომელიც წარმოიქმნება ერთ-ერთი ეთილის (ან პროპილის) ჯენტი ა-პროტონის მოწყვეტის შედეგად [2].

ამრიგად, შეაუნმეავასა და მისი დიეთერების დასხივების შედეგად (77 R) წარმოიქმნება ძირითადად მოლეკულური ანიონ-რადიკალების და COOR (R -ალკილის რადიკალი) ტიპის ნეიტრალური რადიკალებიც, გარდა ამისა, დიეთილ- და დიპროპილოქსალტების რადიოლიზის დროს წარმოიქმნება ა-ალკოლური რადიკალებიც.

ზემოთ მოყვანილი მონაცემების საფუძველზე შეიძლება გაკეთდეს დასკვნა, რომ მოცემული ნიმუშების γ -რადიოლიზის შედეგად მიმღინერობს როგორც იონიზაცია, ასევე ალგზნების პროცესები. ალგზნების ენერგია ლოკალური შედარებით სუსტ — C—C — ბმაზე და იწვევს მის გაწყვეტას.

COOR რადიკალის წარმოქმნის მექანიზმი შეიძლება შემდეგნაირად წარმოვიდგინოთ:



ალკილური რადიკალების წარმოქმნაც ასევე ალგზნების პროცესების მიმღინერობით აიხსნება. ანიონ-რადიკალებისა კი — იონიზაციის პროცესებით.

საქ. მეცნიერებათა აკადემიის ჩ. აგლაძის

სახ. ელექტროქიმიის ინსტიტუტი

შემოსულია 27.12.90

В. А. КАЦИТАДЗЕ, С. Е. НАЦВЛИШВИЛИ



НИЗКОТЕМПЕРАТУРНЫЙ РАДИОЛИЗ ЩАВЕЛЕВОЙ КИСЛОТЫ И ЕЕ ДИЭФИРОВ

Р е з ю м е

Установлено, что при низкотемпературном радиолизе щавелевой кислоты и ее диэфиров (диметил-, диэтил- и дипропилоксалатов) имеет место образование молекулярных анион-радикалов и нейтральных радикалов типа $(COOR)_2^-$, а при радиолизе дипропилоксалата дополнительно образуются радикалы алкильного типа.

Предложен механизм образования идентифицированных радикалов.

V. A. KATSITADZE, S. E. NATSVLISHVILI

THE LOW TEMPERATURE RADIOLYSIS OF THE OXALIC ACID AND ITS DERIVATIVES

S u m m a r y

The processes of formation and stabilization in the irradiated oxalic acid and some of its derivatives are studied.

The molecular anion-radicals and the neutral radicals of the COOR type are identified. The mechanism of the formation of radicals has been derivated.

ლიტერატურა — ЛИТЕРАТУРА — REFERENCES

1. Ершов Б. Г. ДАН СССР, 1969, 169, 6, 137.
2. Пшежецкий С. Я. РЖХ, 1981, 3Б 32.

541.183.1+549.67

V. G. TSITSISHVILI, DANG TUET FUONG, A. Yu. KRUPENNIKOVA,
N. M. DOLABERIDZE, M. V. ALELISHVILI

ZEOLITE ADSORBENT FOR PURGING INDUSTRIAL SEWAGE WATERS FROM HEAVY METALS

Natural zeolites, having considerable mechanic solidity and ionexchanging capacity, are active effective regenerating sorbents for filtration and extraction of heavy metals from sewage waters [1—4].

To find an opportunity for using clinoptilolite containing rock of Tedzami deposit in (Georgia) (CtT), it's nessessary to make a research of its mineralogical composition and physico-chemical properties.

CtT is the zeolitized tuff with clinoptilolite as a dominating mineral and residues of non-thoroughly crystallized phase genetically connected with it and non-transformed clay.

According to the data of X-ray diffractometry and thermometry method of evaluation of moistering effect [5,6], natural sample enriched with zeolite phase by 75% is obtained. The value is connected with the degree of primary cleaning and soaking off.

The experiment was held on 0,5—1,0 mm fraction, according to characteristic data on the first stage of the experiment we studied zeolite behaviour in the CtT+In nickel chlorid solution system at temperature 98—100°. Solid and liquid phases ratio I:6, the interaction time during one single reaction 3h.

The index in marking cation exchanged forms corresponds to the number of ionexchanging reactions.

The hydrogene form was obtained by treatment of CtT by In HCl solution under the conditions similar to those in ionexchange. The filtrated solid phase was washed up to negative reaction on chlor-ions.

The results of chemical analysis of natural zeolite and its derivatives (without moisture) are presented in table 1.

Table 1
Chemical composition of natural clinoptilolite and its modifications

Zeolite	Oxide, mas. %					
	Na ₂ O	K ₂ O	CaO	MgO	SiO ₂	Al ₂ O ₃ +Fe ₂ O ₃
CtT	3,04	1,16	5,14	1,20		
Ni ₃ CtT	2,41	0,67	4,92	1,0	{ 62,37	16,17
Ni ₆ CtT	2,39	0,45	3,75	1,0		
HCTT	1,80	0,67	2,10	0,68		
HNi ₁ CtT	1,59	0,56	1,86	0,52	{ 64,88	11,28
HNi ₃ CtT	1,51	0,47	1,79	0,52		
HNi ₆ CtT	1,45	0,39	1,53	0,49		

According to the data of chemical analysis formulae expressed in ratios of oxides are composed (table 2).

Table 2

Chemical composition of natural clinoptilolite and its modifications in ratios of oxides

Zeolite	Formula expression
CtT	0,31Na ₂ O·0,08K ₂ O·0,58CaO·0,19MgO·Al ₂ O ₃ ·6,56SiO ₂
Ni ₃ CtT	0,21Na ₂ O·0,04K ₂ O·0,47CaO·0,14MgO·Al ₂ O ₃ ·6,56SiO ₂
Ni ₆ CtT	0,20Na ₂ O·0,02K ₂ O·0,34CaO·0,13MgO·Al ₂ O ₃ ·6,56SiO ₂
HCTT	0,26Na ₂ O·0,06K ₂ O·0,34CaO·0,11MgO·Al ₂ O ₃ ·9,77SiO ₂
HNi ₁ CtT	0,18Na ₂ O·0,04K ₂ O·0,23CaO·0,09MgO·Al ₂ O ₃ ·9,77SiO ₂
HNi ₃ CtT	0,16Na ₂ O·0,03K ₂ O·0,21CaO·0,09MgO·Al ₂ O ₃ ·9,77SiO ₂
HNi ₆ CtT	0,14Na ₂ O·0,02K ₂ O·0,17CaO·0,08MgO·Al ₂ O ₃ ·9,77SiO ₂

To study the mobility of primary cations during the ionexchange process it is convenient to express chemical composition by relative unit cell (unit cell of mineral). It can be done because the sample was enriched with the zeolite and the latest is genetically close to the clay in the clinoptilolite containing rock.

Table 3

Relative unit of natural clinoptilolite and its modifications

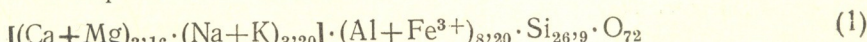
Zeolite	Ca	Mg	Na	K	Ni	Si	Al+Fe ³⁺	O	Si+Al+ +Fe ³⁺	Si:(Al +Fe ³⁺)
CtT	2,38	0,78	2,54	0,66	—	26,90	8,20	72	35,10	3,3
Ni ₃ CtT	2,01	0,58	1,81	0,33	1,10	30,29	6,20	72	36,49	4,9
Ni ₆ CtT	1,47	0,55	1,68	0,21	1,80					
HCTT	1,05	0,39	1,62	0,40	—					
HNi ₁ CtT	0,99	0,39	1,53	0,35	0,13					
HNi ₃ CtT	0,83	0,34	1,36	0,26	0,47					
HNi ₆ CtT	0,76	0,34	1,31	0,23	0,58					

Table 4

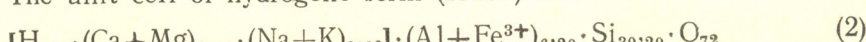
Exchange degree and nickel cation population of clinoptilolite

Zeolite	Exchange degree, %	Counterion (acc. to cation number), %
Ni ₃ CtT	24	18,9
Ni ₆ CtT	39	38,2
HNi ₁ CtT	6	3,8
HNi ₃ CtT	19	14,4
HNi ₆ CtT	24	18,0

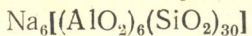
Using table 3 data it is possible to introduce the relative unit cell of natural clinoptilolite as follows:



The unit cell of hydrogen form (HCTT) are:



The idealized composition of clinoptilolite can be expressed:



The comparison of 1—3 formulae leads to the conclusion that as a result of successive enriching and acid treatment of CtT it is transformed into partially dealuminized and decationized form. So under the conditions of our experiment the monophase mineral is obtained. The mineral is classified as clinoptilolite according to both zeolite carcass and the number of cations which neutralize the negative charge of the latter.

It is shown that the degree of cation exchange increases with increasing of the number of ionexchanging reactions. The hydrogenc form of clinoptilolite has less cation mobility compared to the initial form (table 4).

Dealumination and decationation degrees in the case of transformation from CtT to HCtT reach 24 and 48% correspondingly. The difference in the values is connected with excessive cation numbers in relative CtT unit cell the composition of which does not correspond to pure clinoptilolite.

Table 5

Water evaporation adsorption on natural clinoptilolite and its modifications

Zeolite	Adsorption		
	mmol/g	cm ³ /g	cm ³ /cm ³
CtT	1,71	0,031	0,067
Ni ₃ CtT	1,31	0,024	0,052
Ni ₆ CtT	1,44	0,026	0,056
HCtT	1,16	0,021	0,045
HNi ₁ CtT	1,16	0,021	0,045
HNi ₃ CtT	1,06	0,019	0,041
HNi ₆ CtT	0,95	0,017	0,037

Accepting hydrogenc form as a monozeolite phase, cation deficiency of vacant positions is 20% and is compensated by filling the positions with 1,3 proton per unit cell (formula 3).

Adsorption capacity of samples for water evaporation at the room temperature and at $P/P_s = 0,40$ was determined. The results of table 5 show the reduction of adsorption volume as ionexchanging modification is increasing.

Comparison of adsorption volumes for CtT and HCtT confirms the fact of reduction of porous structure with the growth of silica modulus of zeolite.

The Institute of Phisical and Organic Chemistry of Georgian Academy of Sciences, Tbilisi

Received 08.07.1991

სამრეწველო ჩამონარე ჯულების მდგრადი მეთალის კაზიონებისაგან
გამოყენები ცოდნითური აღსორდავნი

რეზიუმე

სტატია ეძღვნება თეძამის (საქართველო) ადგილმდებარეობის კლინოპტილოლითშემცველი ქანების მინერალოგიური შედგენილობისა და მისი ფიზიკურ-ქიმიური თვისებების შესწავლის.

შესწავლითია გამოსავალი ცეოლითისა და მისი წყალბადური ფორმის მინმიმოცვლის უნარიანობა ნიკელის კატიონის მიმართ.

ნაჩვენებია მინერალის ელემენტარული უჯრედის შედგენილობის კანონობის ცვლილება მისი მიმდევრობითი მოდიფიკირების პროცესებში.

В. Г. ЦИЦИШВИЛИ, ДАНГ ТУЕТ ФЫОНГ, А. Ю. КРУПЕННИКОВА,
Н. М. ДОЛАБЕРИДЗЕ, М. В. АЛЕЛИШВИЛИ

ЦЕОЛИТНЫЙ АДСОРБЕНТ ДЛЯ ОЧИСТКИ ПРОМЫШЛЕННЫХ СТОЧНЫХ ВОД ОТ ТЯЖЕЛЫХ МЕТАЛЛОВ

Резюме

Статья посвящена проблеме исследования минералогического состава и физико-химических свойств клиноптилолита содержащей породы месторождения Тедзами Республики Грузия.

Показана закономерность изменения состава элементарной ячейки минерала в процессах его последовательного модифицирования.

ლიტერატურა — REFERENCES

1. Природные цеолиты. Библиография. Тбилиси: Мецниереба, 1990, 336 с.
2. Аниагиев М. Х. Исследование адсорбционных свойств природных цеолитов. Баку, 1986, 91 с.
3. Цицишвили Г. В., Андроникашвили Т. Г., Киров Г. Н., Филизова Л. Д. Природные цеолиты. М.: Химия, 1985, 223 с.
4. Челищев Н. Ф., Володин В. Ф., Крюков В. Л. Ионообменные свойства природных высококремнистых цеолитов. М.: Наука, 1988, 129 с.
5. Белицкий И. А., Горбунов А. В., Дребушак В. А. Количественные определения содержания цеолитов в горных породах. Термохимический метод. Препринт И. Новосибирск, СО АН СССР, Ин-т геолог. и геодез., 1988, 28 с.
6. Белицкий И. А., Дробот И. В., Валуева Г. П. Опыт экспрессионного определения содержания цеолитов в горных породах с использованием портативных цеолитных лабораторий ПЦЛ-1 и ПЦЛ-2. Методич. руководство. Новосибирск, СО АН СССР, Ин-т геол. и геофиз., 1979, 80 с.

ТЕХНОЛОГИЯ

УДК 549.6 : 634.0

Г. С. ВАЧНАДЗЕ, Т. Г. АНДРОНИКАШВИЛИ

К ВОЗМОЖНОСТИ ПРИМЕНЕНИЯ ПРИРОДНЫХ ЦЕОЛИТОВ В ГОРНО-ЛЕСНОМ ХОЗЯЙСТВЕ ГРУЗИИ

В этом направлении практически не ведутся научно-исследовательские изыскания, лишь имеются единичные работы [1—3]. Все эти работы условно можно подразделить на две группы: выращивание сеянцев лесных пород (кедр, ель, лиственница, облепиха) на субстратах, содержащих природные цеолиты, и на почвах, в которые введены цеолиты. Так, например, на субстрате, известном под фирменным названием Балканин-1 [1], состоящем из клиноптилолита содержащего туфа, азотных, фосфорных удобрений, вермикулита и торфа, выращенные двухлетние сеянцы гималайского кедра имеют размер 3—4-летних растений и характеризуются хорошей укорененностью черенков. Значительное (50—70%) увеличение числа однолетних сеянцев ели, лиственницы и особенно облепихи имеет место на субстратах, состоящих из цеолита или его смеси с опилками [2, 3].

Во втором случае, т. е. при внесении цеолита в почву, последний не оказывает положительного влияния на появление и сохранность всходов кедра и ели [3], однако способствует резкому сокращению засоренности делянок.

Наши исследования, связанные с использованием природных цеолитов (клиноптилолитов содержащих туфы месторождений Тедзами, Грузия) в лесных хозяйствах республики, проводились на хвойных породах — сосна черная (*Pinus nigra*), заложенных в коридорах деградированной грабанниковой дубравы порослевого происхождения 5—6-ой генерации с целью их реконструкции. Насаждения расположены на склоне северной экспозиции, примыкающей к селу Цоторети (Лисское лесничество Дидгорского опытно-показательного лесхоза Института горного лесоводства). Крутизна склона меняется от 15° до 25°. Почва коричневая лесная, суглинистая, со средним содержанием гумуса до 4% в верхнем горизонте.

В коридорах посадка вышеуказанной лесной культуры осуществлялась в посадочные ямы размером $0,25 \times 0,25 \times 0,30$ (0,50) м. Глубина ямы зависела от мощности почво-грунта. Посадку культур проводили двухлетними сеянцами сосны черной. Перед посадкой сеянцев клиноптилолитодержащий туф тщательно перемешивался с землей, выбранной из ямы, а затем смесь вносилась в посадочную яму.

Эксперимент выполнялся в шести вариантах:

- 1) цеолит размельченный, фракция 0,5—1 мм,
- 2) цеолит гранулированный, размером 2×4 мм,
- 3) цеолит размельченный, смешанный с минеральным удобрением $P_{90}K_{40}$, в кг, в расчете на га,
- 4) цеолит размельченный, смешанный с микроэлементами (Zn, Mo, Mn) в расчете 9,6 кг/га,
- 5) цеолит размельченный с 30%-ным содержанием хелатных соединений микроэлементов,
- 6) цеолит гранулированный с 30%-ным содержанием хелатных соединений микроэлементов.

Каждый вариант осуществлялся в двух модификациях, т. е. соотношение цеолита к почве в посадочных ямах соответственно составляло 1:10 и 1:20.

Размеры площади делянок равнялись 140—150 м². Повторность эксперимента трехкратная. Внесение цеолитов в посадочные ямы и посадка сеянцев осуществлялись 19 и 20 ноября 1987 года.

Полученные результаты свидетельствуют о положительном влиянии внесения цеолитов в почву на дендрометрические показатели растений (табл. 1).

Таблица 1

Влияние цеолитов, внесенных в посадочные ямы, на рост и приживаемость сеянцев черной сосны

Вариант опыта	Соотношение цеолита и почвы 1 : 10			Соотношение цеолита и почвы 1 : 20		
	прирост в высоту за 1988—90 г.г.		приживаемость %	прирост в высоту за 1988—90 г.г.		приживаемость %
	см	%		см	%	
1	16,04	118,8	73,1	15,03	112,2	72,4
2	16,11	119,3	76,1	15,01	112,0	75,5
3	17,59	130,3	80,0	16,56	123,6	76,8
4	16,57	123,7	76,0	15,00	111,9	74,3
5	16,16	119,7	78,7	15,29	114,1	77,3
6	16,56	123,6	78,8	15,48	115,5	76,5
Контроль (почва)	13,40	100,0	62,5	13,40	100,0	62,5

Как явствует из данных, приведенных в таблице, введение цеолитов в почву способствует приросту сосны в высоту на 12—20%, а приживаемости — на 10—13,6% по сравнению с контролем. Еще в большей степени это благоприятное влияние проявляется в вариантах 3, 4, 6. Наблюдается определенно выраженная тенденция улучшения вышеуказанных показателей растений с увеличением содержания цеолита в почве, т. е. при их соотношении 1:10. Менее четко подобная зависимость проявляется с увеличением размера зерен цеолита. Все это, по-видимому, связано с улучшением водно-физических свойств субстрата в посадочных ямах. Цеолиты при смешении с почвой увеличивают ее водо-ионоудерживающую способность. Так, влажность в посадочных ямах под влиянием цеолита увеличена примерно на 4—6% по сравнению с контролем (почва, не содержащая цеолит).

Экономическая эффективность применения цеолитов во многом определяется сроками их последействия, так что работы в этом направлении должны быть продолжены.

Однако, учитывая высокую микробиохимическую активность [4] и нетоксичность природных цеолитов, по-видимому, следует рекомендовать последние при лесокультурных работах на участках, предназначенных для рекреации, в особенности в условиях засушливого климата, где дополнительные затраты на восстановление лесов сравнительно быстро окупятся.

Институт горного лесоводства

им. В. В. Гулиашвили

Институт физической и органической химии

им. П. Г. Меликишвили АН Грузии

Поступило 10.11.1990

საქართველოს სამთო-სამუშაო მუნიციპალი ბუნებრივი დაობითობის
გამოყენების უსამღებლობის ჯესახები

რეზიუმე

გამოკვლევები ჩატარებულია შავი ფიჭვის კულტურაზე, რომელიც გა-
შენებულია თბილისის შემოგარენში არსებული დეგრადირებული მუხნარ-ჭა-
რცხილნარი კორომების რეკონსტრუქციისას.

ორწლიანი შავი ფიჭვის ნათესარების დარგვის წინ სარგავ ორმოებში სხვა-
დასხვა სახის ცეოლითისა და ნიადაგის ნარევი შეტანილი იყო ორ ვარიანტად,
კერძოდ, 1 : 10 და 1 : 20 შეფარდებით.

ჩატარებულმა ცდებმა გამოვლინა ცეოლითის დადებითი გავლენა კულ-
ტურების ზრდაზე და მეტადრე მათ გახარებაზე, რომელთა ნიადაგში შეტანილ
კულტურების გახარება 10—13,6 %, ხოლო საშუალო შემატება სიმაღლეში
12—20%-ით გაიზარდა საკონტროლო ვარიანტან შედარებით (ნიადაგი ცე-
ოლითების გარეშე).

ნიადაგში ცეოლითების შერევით გამოწვეული დადებითი გავლენა კულ-
ტურებზე აიხსნება ცეოლითების სპეციფიური, მიკროფორმვანი სტრუქტუ-
რის წყალობით მიღებული სუბსტრატის ფიზიკურ-მექანიკური თვისებების გა-
უმჯობესებით.

G. V. VACHNADZE, T. G. ANDRONIKASHVILI

ON THE POSSIBILITY OF APPLICATION OF NATURAL ZEOLITES IN THE HIGHLANDS FORESTRY OF GEORGIA

Summary

It is shown, that application of clynoptilolyte,—containing tuffs in the planting holes meant for the growing of black pine seedlings, favours the increase of height and of the plants taking roots, in particular, the increase of pine height makes 12—20%, and taking roots—10—13,6%, comparing with the control soil in 1988—1990.

The zeolites, enriched with macrofertilizers ($P_{90}K_{40}$) and chelate compounds of microelements (Zn, Mn, Mo), favour the increase of height respectively by 30 and 24% in comparison with the control. Taking of roots of the plants reaches 80%, while in the control soil—62,5%.

ლიტერატურა — REFERENCES

1. Димитров К. Д. Природные цеолиты (Труды 4-го Болгаро-Советского симпозиума по природным цеолитам), изд. БАН, София, 1986, 405—409.
2. Киктева Н. Т., Емелина Г. В. Природные цеолиты в народном хозяйстве. Тезисы Всесоюзного совещания (Кемерово, Новостройка, 18—19 апреля 1990). Новосибирск, 1990, 87—89.
3. Лузанов В. Г., Карпов В. А. Природные цеолиты в социальной сфере и охране окружающей среды. Новосибирск, 1990, 67—72.
4. Конусова О. Л., Перфильева В. Д. Физико-химические и медико-биологические свойства природных цеолитов. Новосибирск, 1990, изд. АН СССР, Сибирское отделение, 136—142.



УДК 621.315.592

К. Р. МЕНАБДЕ, О. Е. МОДЕБАДЗЕ, И. Б. ЧИЧИНАДЗЕ, М. В. ТАЛАКВАДЗЕ

СИНТЕЗ И ИССЛЕДОВАНИЕ СТЕКЛООБРАЗНЫХ ПОЛУПРОВОДНИКОВ НА ОСНОВЕ ОКСИДОВ ВАНАДИЯ И МОЛИБДЕНА

Оксидные стеклообразные полупроводники (ОСП) являются новым классом некристаллических полупроводниковых материалов, которые в последнее время находят широкое применение в электронной технике [1, 2, 3].

Следует отметить, что одним из недостатков ОСП является малая электрическая проводимость, что обуславливает большую величину управляющего сигнала элементов переключающих и запоминающих устройств [2, 3], изготовленных на их основе.

До последнего времени исследователям не удалось найти системы ОСП с большой электрической проводимостью (более 10^{-3} – $10^{-6}\Omega\cdot\text{см}^{-1}$).

Данную задачу можно решить путем синтеза ОСП, не содержащих основных стеклообразователей (B_2O_3 , P_2O_5 , GeO_2 и др.). При синтезе стекол, содержащих условный стеклообразователь — V_2O_5 , совместно с оксидами молибдена и модификатора CaO удалось синтезировать ОСП в системе $\text{CaO}-\text{V}_2\text{O}_4-\text{V}_2\text{O}_5-\text{MoO}_2-\text{MoO}_3$ с высокой электронной проводимостью (10^{-3} – $10^{-6}\Omega\cdot\text{см}^{-1}$) и низкими значениями порогового напряжения (1–2 В при толщине пленки ОСП порядка 0,5–1,5 мкм).

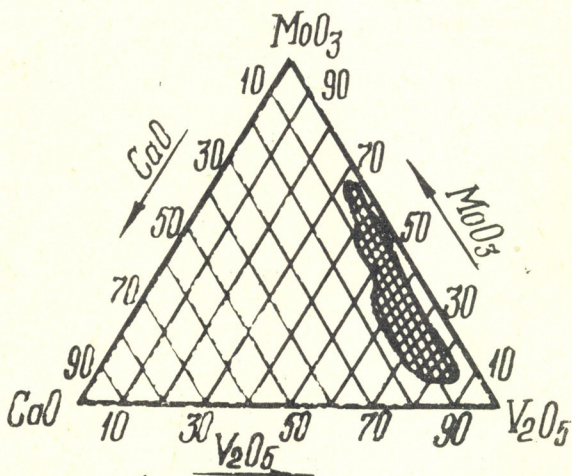


Рис. 1. Стеклообразование в системе $\text{CaO}-\text{V}_2\text{O}_5-\text{MoO}_3$

В ванадатно-молибденовой системе $\text{CaO}-\text{V}_2\text{O}_5-\text{MoO}_3$ стеклообразные соединения образуются в узкой области составов (рис. 1) при

следующем соотношении компонентов (мол. %): CaO—13-18, V₂O₅—37-45, MoO₃—41-45 [4].

Уменьшение содержания V₂O₅ ниже 36,17 мол. % обусловливает образование кристаллических соединений, т. е. система выходит из области стеклообразования. Следует отметить и то, что электропроводность данной системы легко увеличить до 10⁻² Ом.⁻¹ см⁻¹ с применением термообработки при 300—500°.

Таблица 1

Составы ванадатно-молибденового стекла

Стекол	Содержание оксидов, масс. %				
	CaO	V ₂ O ₄	V ₂ O ₅	MoO ₂	MoO ₃
1	13,32	15,1	30,07	10,3	31,21
2	10,73	10,2	32,01	15,02	32,04
3	17,76	16,4	20,37	12,17	33,3

В таблице 1 приведены составы ванадатно-молибденового стекла (ВМС).

Образцы стекол в системе CaO—V₂O₄—V₂O₅—MoO₂—MoO₃ облашают эффектом долговременной памяти при электрической записи информации и поэтому, могут быть применены для изготовления запоминающих приборов.

Синтезированные стекла характеризуются высокой однородностью и оптимальными технологическими свойствами.

Стекла варились в алюндовых тиглях емкостью 100 мл в силиковой печи, в слабо восстановительной среде при фиксированной температуре варки 1000—1100°C; продолжительность варки 45 мин.

Вследствие того, что указанное стекло образуется без основных стеклообразователей, оно характеризуется высокой проводимостью (σ) = 10⁻³ — 10⁻⁶ Ом.⁻¹ см⁻¹, что дает возможность создания на основе предлагаемого стекла электронных приборов с малой мощностью управляемого сигнала.

Температурная зависимость проводимости на постоянном токе для ВМС указанной системы описывается плавной кривой в координатах $\ln \sigma$ от T⁻¹. В области высоких температур кривая может быть аппроксимирована прямолинейным участком. С повышением содержания V₂O₅ проводимость возрастает, энергия активации ΔE , вычисленная по формуле $\sigma = \sigma_0 \exp(-\Delta E/KT)$ для высокотемпературного участка зависимости $\ln \sigma$ от T⁻¹, уменьшается (таблица 2).

Таблица 2

Зависимость проводимости (при T=300 K),
энергии активации и предэкспоненциального
множителя от состава ВМС

Стекло	(300 K) Ом ⁻¹ ·м ⁻¹	ΔE, эВ	Ом ⁻¹ ·м ⁻¹
1	7,4·10 ⁻⁵	0,467	2200
2	3,3·10 ⁻⁵	0,474	2000
3	6,0·10 ⁻⁶	0,503	1600

Кривые частотных и температурных зависимостей проводимости аналогичны кривым, полученным для других систем ОСП [5, 6]. Энергия активации

гия активации поляризационного процесса, найденная методом равных емкостей, составляет 0,38 эВ. Статическая и высокочастотная диэлектрические проницаемости для наблюдалемого поляризационного процес-са равны соответственно 20 и 8.

На основе ванадатно-молибденового ОСП были изготовлены монолитные структуры с параллельными никелевыми электродами диаметром 100 мкм и толщиной слоя 10 мкм $\ll d \ll 30$ мкм. Все структуры независимо от состава ОСП обладают эффектом переключения с памятью в диапазоне температур 90–500 К.

Таким образом, синтезированные стекла в системе $\text{CaO}—\text{V}_2\text{O}_4—\text{V}_2\text{O}_5—\text{MoO}_2—\text{MoO}_3$ характеризуются оптимальными электрофизическими свойствами и могут быть применены для изготовления запоми-нающих и переключающих устройств, применяемых в электронной технике.

Институт кибернетики АН Грузии

Поступило 09.12.89

ქ. მანაბდი, თ. მოდებაძე, ი. ჭიშინაძე, გ. თალაკვაძე

ვანაფიზიკის და მოლიცდენის თესის მინისტრი
ნახევარგამტარების სინიორი და გამოკვლევა

რ ე ზ ი უ მ ე

აღწერილია სამკომპონენტიან სისტემაში $\text{CaO}—\text{V}_2\text{O}_5—\text{MoO}_3$ მინისური მდგომარეობის წარმოქმნა. შესწავლილია ამ სისტემაში შემავალი მინების ზო-გერთი ელექტრული და ფიზიკურ-ქიმიური თვისება.

სინთეზირებული მინები ხასიათდება ერთგვაროვნებით, ოპტიმალური ტექ-ნოლოგიური თვისებებით, მაღალი ელექტროგამტარობით და ღაბალი ზღურ-ბლური ძაბვის მნიშვნელობებით.

მოცემული მინების გამოყენება შეიძლება რადიაციულად მედეგი ღამ-მასოვრებელი მოწყობილობების დასამზადებლად.

K. P. MENABDE, O. E. MODEBADZE, I. B. CHICHINADZE,
M. V. TALAKVADZE

THE SYNTHESIS AND INVESTIGATION OF GLASS-LIKE SEMICONDUCTORS ON THE BASIS OF VANADIUM AND MOLIBDEN OXIDES

Summary

The formation of glass-like state in the system $\text{CaO}—\text{V}_2\text{O}_5—\text{MoO}_3$ is described; some electrical and physicochemical properties of glasses of the given system have been studied.

The synthesized glasses have the properties of high homogeneity, opti-mal technological characteristics, high electronic conductivity and low value of threshold voltage.

On the basis of the considered glasses it is possible to make radia-tion resistant memory.

1. Модебадзе О. Е. Оксидные стеклообразные материалы для электронных приборов. Тбилиси: Мецниереба, 1984, с. 34.
 2. Модебадзе О. Е. Автореф. докт. дисс., Ленинград, 1989.
 3. Калыгина В. М., Косинцев В. И., Гаман В. И., Модебадзе О. Е. Изв. ВУЗ-ов СССР. Физика, 1981, № 7, с. 123.
 4. Модебадзе О. Е., Чичинадзе И. Б., Нахуцришвили Т. К. А. с. № 1252873. СОЗс 3/04, № 41 от 31.06.85.
 5. Калыгина В. М., Косинцев В. И., Гаман В. И., Евстигнеев С. М., Модебадзе О. Е., Николаев А. Н. Изв. ВУЗ-ов СССР, Физика, 1981, № 3, с. 35.
 6. Калыгина В. М., Гаман В. И., Богомолова Л. Д., Модебадзе О. Е. Изв. ВУЗ-ов СССР. Физика, 1983, № 6, с. 31.
-

КРАТКИЕ СООБЩЕНИЯ

УДК 632.96.028

Р. В. ТОРЯНИКОВА, Р. Х. ДЖИЯНБАЕВА, В. П. ШОБАК

**КОЛИЧЕСТВЕННОЕ ОПРЕДЕЛЕНИЕ КОТОРАНА В
ПРИСУТСТВИИ БАЗАГРАНА И ЯЛАНЫ МЕТОДОМ
ВЫСОКОЭФФЕКТИВНОЙ ЖИДКОСТНОЙ ХРОМАТОГРАФИИ**

Нами изучена возможность количественного определения которана по разработанной нами методике высокоэффективной жидкостной хроматографии ВЭЖХ [1] в присутствии базаграна (3 изопропилбензо-2,1,3-тиадиазином-4-диоксид-2,2) и яланы (*N*-гексаметилен-S-этил-

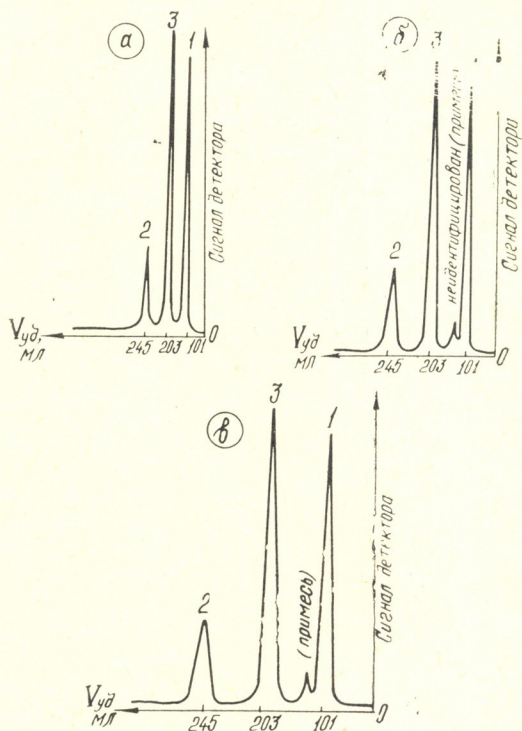


Рис. 1. Разрешение пиков базаграна, которана и яланы. 1 — базагран, 2 — ялан, 3 — которан. Подвижная фаза ацетонитрил — вода (65:35) при скорости элюента: а) 100 мл/мин., б) 50 мл/мин., в) 30 мл/мин

карбамат), используемых в качестве гербицидов. Это среднетоксичные препараты. Для крыс ЛД 1100 мг/кг. Допустимые концентрации (ДОК) в рисе 0,2 мг/кг, в воде 0,07 мк/кг.

В работе использовали микроколоночный хроматограф «Милликром» с ультрафиолетовым детектором.

Полученные экспериментальные результаты показали, что на сорбенте Силасорб С-18, выбранном нами для определения которана, происходит разделение смеси гербицидов которана, ялана, базаграна (рис. 1). При этом в качестве элюента использовали смесь ацетонитрил-вода (70:30), скорость элюирования 50 мл/мин.

Максимальная чувствительность детектирования достигается при длине волны, отвечающей максимуму поглощения исследуемого соединения. В УФ-области базагран, которан и ялан в водно-ацетонитрильном растворе максимально поглощают при 230 нм, 150 нм, 220 нм соответственно.

Оптимальная длина волны для хроматографического разделения которана, ялана, базаграна при совместном присутствии определена нами экспериментально. Наиболее полное разделение происходит при длине волны 236 нм (рис. 2).

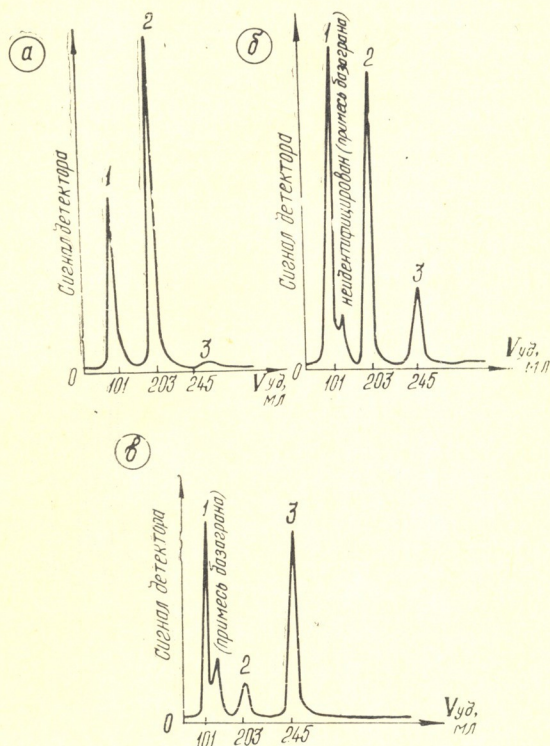


Рис. 2. Хроматограмма смеси базаграна (1), которана (2), ялана (3), снятая при длинах волн: 250 (а), 236 (б), 220 (в) нм.
Состав элюента (65:35)

Количественное определение проводили построением градуировочного графика в координатах С—Н (высота пика). По полученным данным проводили расчет уравнения градуировочного графика и определение линейного динамического диапазона детектирования.

Линейный динамический диапазон детектирования которана 20—80 нг, для ялана — 20—80 нг, с погрешностью 12,5%, для базаграна 20—80 нг с погрешностью 8,6%. Была определена ошибка ввода пробы, которая не превышает 1,2%.



၁၃၈၀၂၆၂

შემუშავებულია კოტორანის განსაზღვრის მეთოდიკა ბაზაგრანისა და იალანის თანაბიძისას მაღალეფექტური თხევადი ქრომატოგრაფიის მეთოდით. შესწავლილია მისი ქრომატოგრაფიულების პირობები „მილექრომის“ მარკის ქრომატოგრაფზე ულტრაიისფერი დეტექტორით. დადგენილია რომ, ტალღის ოპტიმალური სიგრძეა შესაბამისად 150 ნმ; 220 ნმ; 230 ნმ. გამოყენებულია მეტალის სვეტები ($I=64$ მმ, $d=2$ მმ), რომლებიც შევსებულია სორბენტ-„სილასორბით“ — C-18. ელუენტის აცეტონიტრილი-წყლის პროცენტული შედენილობაა 65 : 35, ელუენტის სიჩქარე — 50 მლ/წთ. კოტორანის დეტექტორების ხაზოვანი დიაპაზონი შეაღებენ 20-80 ნგ.

ჩატარებულია შუა აზის მდინარეების ბუნებრივი წყლებისა და ბამბის კელების ნიაღავის სინჯების ანალიზი.

R. V. TORYANIKOVA, R. H. JIYANBAEVA, V. P. SHOBAK

QUANTITATIVE ASSESSMENT OF COTORAN IN THE PRESENCE OF BASAGRANE AND YALAN USING HELCH METHOD

Summary

A methodology has been developed for quantitative assessment of cotoran, yalan and basagrane using highly efficient liquid chromatography method (HELCH). The conditions of chromatography have been studied on the „Millichrom“ chromatographer with UV detector. The wavelengths of 150 nm, 220 nm and 230 nm are the optimal ones. Metal columns ($l=64$ mm, $d=2$ mm) with sorbent „Solasorb—S - 18“ are used. The composition of the eluent is „acetonitrile-water“, the percent ratio being 65:35. The eluent discharge is 50 ml/min. The linear range of cotoran detection is 20—80 ng. The samples of natural water from Central Asian rivers and soil of cotton fields have been analysed.

ლიტერატურა — ЛИТЕРАТУРА — REFERENCES

1. Стыскин Е. Л., Ициксон Л. Б., Брауде Е. В. Практическая высоко-
эффективная жидкостная хроматография. М.: Химия, 1986.

УДК 547.972:547.466

Т. Г. САГАРЕИШВИЛИ, М. Д. АЛАНИЯ

КОМПОНЕНТЫ GALEGA ORIENTALIS

Исследовались по-отдельности цветки, листья, стебли галеги восточной *Gelega orientalis* Lam. (сем. Fabaceae), собранные в окрестностях г. Тбилиси.

Воздушно-сухие измельченные цветки экстрагировали 80%-ным метанолом, экстракт упаривали до водного остатка, очищали хлороформом, и флавоноиды извлекали этилацетатом. Сумму малополярных флавоноидов, переходящих в этилацетат, хроматографировали на колонке с полиамидным сорбентом, применяя в качестве элюента водный этанол. Из фракций, полученных с 50%-ным и 80%-ным этанолом, выделили вещества I и II соответственно.

Из водной фракции, оставшейся после извлечения этилацетатом, выпадали белые игольчатые кристаллы, которые отделяли и перекристаллизовывали. Получили вещество III. Маточный раствор хроматографировали на колонке с полиамидным сорбентом в вышеуказанных условиях. При этом изолировали еще одно индивидуальное вещество IV.

Вещества I, II и IV оказались флавоноидами, а — III — аминокислотой.

Вещество I — т. пл. 182 — 184°, $[\alpha]_D^{20} = 194,5^\circ$ (с 0,8; метанол); $\lambda_{\text{max}}^{\text{C}_2\text{H}_5\text{OH}}$, нм: 340, 265; при кислотном гидролизе дает кемпферол (т. пл. 273—275°) и L-рамнозу. Место присоединения сахарного остатка к агликону определяли УФ-спектроскопией с ионизирующими и комплексообразующими реагентами [1] и по данным ПМР-спектра [2]. Полученные результаты позволили идентифицировать вещество I как кемпферол-3-O-*a*-L-рамнозид или афзелин [3].

Вещество II с т. пл. 273 — 275°, $\lambda_{\text{max}}^{\text{C}_2\text{H}_5\text{OH}}$, нм: 365, 265, оказалось кемпферолом [4].

Вещество III — т. пл. 109° (с разл.), $[\alpha]_D^{20} = 5,4^\circ$ (с 2,0; H₂O). В УФ-спектре в области 220—320 нм селективное поглощение не наблюдается, дает реакции, специфичные для аминокислот [5], и оно охарактеризовано как L-аспарагин (амид моноаминодикарбоновой кислоты) [6].

Вещество IV — т. пл. >300°, в УФ-спектре в среде CH₃OH — HCl имеет λ_{max} , нм: 280, 535. Оно отождествлено с 3,5,7,3¹,4¹ — пентаоксиантоцианидином или цианидином [7].

Структуру выделенных веществ установили на основании физико-химических свойств, данных УФ-, ИК-, ПМР-спектров и сравнения с достоверными образцами.

Из листьев данного растения изолированы афзелин, кемпферол и L-аспарагин, а из стеблей — лишь L-аспарагин; флавоноиды в них представлены в незначительном количестве.

Все соединения из *Galega orientalis* выделены впервые.

Институт фармакохимии
им. И. Г. Кутателадзе АН Грузии

Поступило 15.03.91

თ. საგარეშვილი, მ. ალანია

GALEGA ORIENTALIS-ის პარამეტრები

რეზიუმე

გამოკვლეულია ქ. თბილისის მიდამოებში შეგროვებული ხბოჭუბლის *Galega orientalis* Lam. (ოჯ. Fabaceae) ყვავილები, ფოთლები და ღეროება-ცალ-ცალქე. *G. orientalis*-ის ყვავილებიდან იზოლირებულია: ფლავონოიდები-აფზელინი, კემფეროლი, ციანიდინი და ამინომჟავა *L*-ასპარაგინი; ფოთლებიდან: აფზელინი, კემფეროლი და *L*-ასპარაგინი, ხოლო ღეროებიდან მხოლოდ *L*-ასპარაგინი.

T. G. SAGAREISHVILI, M. D. ALANIA

COMPOUNDS FROM *GALEGA ORIENTALIS*

Summary

Bluten, leaves and stems from *Galega orientalis* (family Fabaceae) collected in the suburbs of Tbilisi have been studied.

The flavonoids—afselin, kempferol, cianidin and aminoacid L-asparagin have been isolated from bluten *G. orientalis*. Afselin, kempferol and L-asparagin were isolated from the leaves, while from the stems — only L-asparagin.

ლიტერატურა — REFERENCES

1. Jurd L. Spectral Proportion of Flanovoid Compounds (in T. A. Geissman). The Chemistry of Flavonoid Compounds. Oxford: Pergamon press, 1962. p. 107.
2. Запесочная Г. К. Химия природ. соедин., 1982, 695.
3. Старовойтова В. И., Запесочная Г. Г. Химия природ. соедин., 1980, 125.
4. Шалашвили К. Г. Автореф. дисс. канд. биол. наук, Тбилиси, 1986.
5. Хайс И. М., Мацек К. Хроматография на бумаге. М., 1962, 411.
6. Хейльброн Н., Бэнбери Г. М. Словарь органических соединений. М., 1949, 193.
7. Дурмишидзе С. В., Шалашвили А. Г., Мжаванадзе В. В. Флавоноиды и оксикоричные кислоты некоторых представителей дикорастущей флоры Грузии. Тбилиси, Мецниереба, 1981, 48.

რედაქციის მისამართი:

380060, თბილისი-60, კუტუზოვის ქ. 19, ოთახი 18
ტელ. 37-86-78

Адрес редакции:

380060, Тбилиси 60, Кутузова 19, комната 18
тел. 37-86-78

Корректор Б. Григашвили

Сдано в набор 25.12.91. Подписано в печать 01.04.92

Формат 70×108¹/₁₆. Вумага № 1. Высокая печать.

7,0 усл.-печ. л., 7,53 кр.-отт. 6 уч.-изд. л.

Тираж 1470 экз.

Заказ 2604

Цена 2 р. 50 коп.

გამომცემლობა „მეცნიერება“, თბილისი, 380060, კუტუზოვის ქ., 19
Издательство «Мецниереба», Тбилиси, 380060, ул. Кутузова, 19

საჭართველოს მეცნ. აკადემიის სტამბა, თბილისი, 380060, კუტუზოვის ქ. 19
Типография АН Грузии, Тбилиси, 380060, ул. Кутузова, 19

К СВЕДЕНИЮ АВТОРОВ

1. В журнале «Известия АН Грузии» серия химическая публикуются статьи в основном на грузинском и русском языках, в которых содержатся результаты исследований теоретического и экспериментального характера по ведущим направлениям современной химии и технологии, а также обзорные статьи.

Периодически публикуется хроника о конференциях, совещаниях, семинарах и других научно-организационных мероприятиях, проводимых в республике.

2. Объем статьи, включая таблицы, рисунки (3 рисунка приравниваются к одной странице), подписи к рисункам, список использованной литературы, резюме на грузинском, русском и английском языках, не должен превышать 12 страниц машинописного текста, отпечатанного через два интервала. С левой стороны оставляются поля шириной 3 см.

Резюме, список использованной литературы, таблицы и подписи к рисункам исполняются на отдельных листах.

3. Объем кратких сообщений не должен превышать 4 страницы машинописного текста. Сообщения могут быть иллюстрированы 1—2 рисунками.

4. Статьи (краткие сообщения) представляются в двух экземплярах с направлением учреждения, решением Ученого совета (кафедры, отдела, лаборатории) об их публикации, с заключением экспертной комиссии.

В начале статьи (слева вверху) пишется индекс УДК, справа вверху указывается раздел журнала, в котором должна быть опубликована статья, затем следуют инициалы и фамилии авторов, заглавие и текст статьи. В конце текста с левой стороны указывается полное название учреждения, в котором выполнена работа. Статья должна быть подписана всеми авторами с указанием на отдельном листе их адресов и телефонов.

5. Изложению экспериментального материала должно предшествовать краткое введение, излагающее цель работы. Далее должно быть приведено описание, обсуждение полученных результатов и заключение. Таблицы, приведенные в тексте, следует озаглавить.

6. Формулы и буквенные обозначения должны быть вписаны тушью. Особое внимание следует обратить на изображение индексов и показателей степеней. Во избежание ошибок следует делать ясное различие между прописными и строчными буквами латинского и греческого алфавита.

7. Рисунки должны быть исполнены на белой бумаге или на кальке тушью. На обороте каждого рисунка карандашом пишутся фамилии авторов, заглавие статьи. Рисунки и таблицы должны быть пронумерованы и представлены в двух экземплярах.

8. Цитируемая литература приводится на отдельной странице. Все ссылки даются в написании оригинала. Иностранные фамилии в статье даются в транскрипции основного текста.

Цитируемая литература приводится в следующем порядке:

а) для журнальных статей: фамилии и инициалы авторов, название журнала, год, том, номер (серия), страница;

б) для книг: фамилии и инициалы авторов, название книги, место издания, издательство, год, том и страница.

Ссылки на неопубликованные работы (кроме диссертаций) не допускаются. Использованная литература должна быть расположена в порядке последовательности цитирования.

9. Обозначение и сокращение физических величин должны соответствовать Международной системе единиц.

10. Рукописи, не отвечающие настоящим правилам, редакцией не принимаются.

11. В журнале статьи публикуются в порядке поступления в редакцию. В случае возвращения автору статьи для доработки, датой представления считается день получения редакцией окончательного текста. В одном номере журнала может быть опубликована одна статья автора и одно краткое сообщение.

12. Редакция согласовывает с автором одну корректуру статьи, в которой исправлению подлежат только ошибки типографии, никакие дополнения или изменения первоначального текста не допускаются.

Редакция бесплатно выдает авторам 12 отдельных оттисков статьи.

Цена 2 руб. 50 к.

б 5/49

Индекс 76203
Санкт-Петербург
Санкт-Петербургский
журнал

2.001